



ใบรับรองวิทยานิพนธ์

บัณฑิตวิทยาลัย มหาวิทยาลัยเกษตรศาสตร์

วิศวกรรมศาสตร์มหาบัณฑิต (วิศวกรรมเคมี)

บริษัทฯ

วิศวกรรมเคมี

สาขา

วิศวกรรมเคมี

ภาควิชา

เรื่อง สมรรถนะการแตกตัวของโพลิพropพิลีนในปฏิกรณ์ฟลูอิเดซ์เบด

Performance of Polypropylene Cracking in a Fluidized Bed Reactor

นามผู้วิจัย นางสาวกัทวรรณ กล่อมกุม

ได้พิจารณาเห็นชอบโดย

ประธานกรรมการ

(รองศาสตราจารย์สุนันท์ ลิมตรากูล, D.Sc.)

กรรมการ

(รองศาสตราจารย์เกตุไชย วัฒนธรรม, Ph.D.)

กรรมการ

(ผู้ช่วยศาสตราจารย์สัญญา สิริวิทยาปกรณ์, Ph.D.)

หัวหน้าภาควิชา

(รองศาสตราจารย์พึงพา พรมวตี, D.Sc.)

บัณฑิตวิทยาลัย มหาวิทยาลัยเกษตรศาสตร์รับรองแล้ว

(รองศาสตราจารย์กัญจนा ชีระกุล, D.Agr.)

คณบดีบัณฑิตวิทยาลัย

วันที่ เดือน พ.ศ.

วิทยานิพนธ์

เรื่อง

สมรรถนะการแตกตัวของโพลิpropylene ในปฏิกรณ์ฟลูอิไดซ์เบด

Performance of Polypropylene Cracking in a Fluidized Bed Reactor

โดย

นางสาวกัทรวรรณ กล่อมคุ้ม

เสนอ

บัณฑิตวิทยาลัย มหาวิทยาลัยเกษตรศาสตร์

เพื่อความสมบูรณ์แห่งปริญญาวิศวกรรมศาสตรมหาบัณฑิต (วิศวกรรมเคมี)

พ.ศ. 2552

กัพวรรณ กล่อมคุ้ม 2552: สมรรถนะการแตกตัวของพอลิพropolีne ในปฏิกรณ์ฟลูอิไดซ์เบด ปริญญาวิศวกรรมศาสตรมหาบัณฑิต (วิศวกรรมเคมี) สาขาวิศวกรรมเคมี ภาควิชา วิศวกรรมเคมี ประธานกรรมการที่ปรึกษา: รองศาสตราจารย์สุนันท์ ลิ้มตะรุณ, D.Sc. 119 หน้า

ในการแตกตัวพอลิพropolีne ด้วยความร้อนในบรรยากาศของไนโตรเจนเพื่อให้ได้ผลิตภัณฑ์เป็นน้ำมันปิโตรเลียมในเครื่องปฏิกรณ์ชนิดฟลูอิไดซ์เบด สภาพการเดินเครื่องที่เหมาะสมมีผลต่อสมรรถนะการทำงาน ผลกระทบของพบว่าสภาวะที่มีผลต่อการแตกตัวของพอลิพropolีne คือ อัตราการป้อนพลาสติก อุณหภูมิในปฏิกรณ์ และอัตราการไหหของไนโตรเจน การศึกษานี้มีการป้อนเม็ดพลาสติกพอลิพropolีne ขนาดเส้นผ่านศูนย์กลาง 5 มม. โดยทำการป้อนและหยุดเป็นจังหวะอย่างต่อเนื่อง โดยในแต่ละรอบการป้อนมีปริมาณ 50 กรัม สภาวะอุณหภูมิที่บริเวณทำปฏิกรณ์แตกตัวพอลิพropolีne ที่เหมาะสม เป็น 450°C ที่บริเวณเหนือบริเวณที่เกิดปฏิกรณ์อุณหภูมิจะลดลงเป็น 267, 275 และ 282°C เมื่ออัตราการป้อนของไนโตรเจนเป็น 1, 1.3 และ 1.5 เท่าของอัตราเร็วฟลูอิไดซ์ต่ำสุดของเม็ดพลาสติกตามลำดับเพื่อมิให้เกิดการแตกตัวของไออกไซด์คาร์บอน ส่วนบริเวณใกล้ทางออกปฏิกรณ์อุณหภูมิเพิ่มขึ้นเป็น 300, 450 และ 450°C ตามลำดับ เพื่อมิให้ไออกไซด์คาร์บอนที่มีโมเลกุลสูงเกิดการอุดตัน ผลปรากฏว่าเมื่อต้องการรักษาอุณหภูมิในปฏิกรณ์ให้เหมาะสมอัตราการป้อนพลาสติกเฉลี่ยคราวเป็น 10.0, 16.7 และ 25.0 กรัมต่อนาที และได้ปริมาณผลิตภัณฑ์ของเหลวร้อยละ 40.37, 44.39 และ 47.99 เมื่ออัตราการป้อนของไนโตรเจนเป็น 1, 1.3 และ 1.5 เท่าของอัตราเร็วฟลูอิไดซ์ต่ำสุดของเม็ดพลาสติกตามลำดับ การเพิ่มความเร็วกำช้ำทำให้ได้ผลิตภัณฑ์ของเหลวมากขึ้นเนื่องจากการขยายตัวเบดเพิ่มขึ้น และเวลาในการแตกโมเลกุลน้อยลง ดังนั้นจึงลดการแตกตัวที่มากเกินไป ทำให้ได้ผลิตภัณฑ์ของเหลวมากขึ้น

Pattarawan Klomkom 2009: Performance of Polypropylene Cracking in a Fluidized Bed Reactor. Master of Engineering (Chemical Engineering), Major Field: Chemical Engineering, Department of Chemical Engineering. Thesis Advisor: Assistant Professor Sunun Limtrakul, D.Sc. 119 pages.

Operating conditions are essential for thermal cracking of polypropylene in a fluidized bed reactor under nitrogen atmosphere to obtain liquid fuels. The results show that the polypropylene feed rate, temperature, and nitrogen flow rate in the reactor have the effects on thermal cracking. The polypropylene pellets of 5 mm in diameter, with 50 grams of pellets were fed in a pause cycle. Appropriate reactor temperature was 450°C in the main cracking zone of polypropylene pellet at the bottom of the reactor. The temperatures were decreased to 267, 275, 282°C above the main reaction zone and were increased to 300, 450, 450°C in the exit zone of the reactor for the systems operated with the nitrogen feed rates of 1, 1.3 and 1.5 times of the minimum fluidization velocity of plastic pellet, respectively. In order to maintain proper temperature, plastic can be fed with the flow rates of 10, 16.7, 25 g/min and the obtained liquid fuel yields were 40.37, 44.39, 47.99% for the systems operated with the nitrogen feed rates of 1, 1.3 and 1.5 times of the minimum fluidization velocity of plastic pellet, respectively. Increasing of gas velocity creates more fluidized bed expansion and reduces the cracking time. Thus the over cracking is reduced and gives more liquid yield..

Student's signature

Thesis Advisor's signature

/ /

กิตติกรรมประกาศ

โครงการวิศวกรรมเคมีเรื่อง สมรรถนะการแยกตัวของพอลิพรอพิลีนในปฏิกรณ์ฟลูอิไดซ์เบดไฟโรไอลซีสเป็นส่วนหนึ่งของการศึกษาตามหลักสูตรปริญญาวิศวกรรมศาสตร์มหาบัณฑิต ภาควิชาชีววิศวกรรมเคมี มหาวิทยาลัยเกษตรศาสตร์ การดำเนินงานของโครงการนี้สามารถดำเนินไปได้ด้วยดี ทางคณะผู้จัดทำได้รับขอบคุณทุกท่านที่ให้ความอนุเคราะห์ในด้านต่าง ๆ ดังนี้

รศ.ดร.สุนันท์ ลิมตรากูล อาจารย์ผู้ให้คำปรึกษาและคำแนะนำต่างๆ เกี่ยวกับการดำเนินโครงการทั้งทางด้านทฤษฎี และทางด้านปฏิบัติ

รศ.ดร.เทอดไทย วัฒนธรรม และคณะกรรมการคุณสอบที่ได้ slate เวลาอันมีค่ามากนั่งฟังการรายงาน พร้อมด้วยคำติชมต่าง ๆ ล้วนแต่มีประโยชน์ทั้งสิ้น

นายปริญญา คงพรหม นิสิตปริญญาเอก นายชัยนุรักษ์ พุ่มอิน นิสิตปริญญาโท ที่ให้คำแนะนำต่าง ๆ เกี่ยวกับการทำการทดลอง

ทางผู้จัดทำได้รับขอบคุณเป็นอย่างสูง ณ โอกาสนี้ด้วย

ก้าวบรรณ กล่อ้มคุ้ม

พฤษภาคม 2552

สารบัญ

| | หน้า |
|----------------------------|------|
| สารบัญ | (1) |
| สารบัญตาราง | (2) |
| สารบัญภาพ | (6) |
| คำอธิบายสัญลักษณ์และคำย่อ | (10) |
| คำนำ | 1 |
| วัตถุประสงค์ | 3 |
| การตรวจเอกสาร | 5 |
| อุปกรณ์และวิธีการ | 31 |
| อุปกรณ์ | 31 |
| วิธีการทดลอง | 31 |
| ผลการทดลอง | 41 |
| สรุปผลการทดลอง | 70 |
| เอกสารและสิ่งอ้างอิง | 72 |
| ภาคผนวก | 75 |
| ประวัติการศึกษาและการทำงาน | 119 |

สารบัญตาราง

| ตารางที่ | หน้า |
|---|------|
| 1 กลไกการแตกตัวของพอลิเมอร์และปริมาณมอนомерที่ได้ ผลิตภัณฑ์ที่ได้จากการแตกตัวพลาสติกชนิดต่าง ๆ ด้วยความร้อน | 12 |
| 2 องค์ประกอบของผลิตภัณฑ์ที่เกิดจากการแตกตัวด้วยความร้อน Polypropylene (PP) ใน Fixed bed reactor ที่อุณหภูมิ 425 °ช | 13 |
| 3 ข้อมูลชุดเดียว ชุดทดลองแล้ว และสถานะที่อุณหภูมิ 25 °ช | 16 |
| 4 ร้อยละของผลได้ของผลิตภัณฑ์จากการกระบวนการแตกตัว LDPE ด้วย ความร้อนใน ปฏิกรณ์ฟลูอิಡซ์เบดที่อุณหภูมิ 500-700 °ช (wt.%) | 18 |
| 5 สภาวะการทดลอง | 26 |
| 6 อุณหภูมิตามความสูงของปฏิกรณ์ในสภาวะเบคนิ่ง เมื่อทำการป้อนพอลิพรอพิลีน สลับการหยุดเป็นจังหวะ | 40 |
| 7 การตั้งอุณหภูมิตามความสูงของปฏิกรณ์ในสภาวะฟลูอิడซ์เบด (ความเร็ว ก้าช 1.3 เท่าของอัตราเร็วต่ำสุดของเม็ดพลาสติก) เมื่อทำการป้อนพอลิพรอพิลีนสลับการ หยุดเป็นจังหวะ | 52 |
| 8 การตั้งอุณหภูมิตามความสูงของปฏิกรณ์ในสภาวะฟลูอิಡซ์เบด (ความเร็ว ก้าช 1.3 เท่าของอัตราเร็วต่ำสุดของเม็ดพลาสติก) เมื่อทำการป้อนพอลิพรอพิลีนสลับการ หยุดเป็นจังหวะ | 59 |
| ตารางผนวกที่ | |
| 1 อุณหภูมิ และอัตราการ ใหหลอมเมื่อทำการป้อนพลาสติกแบบป้อนและหยุดเป็นจังหวะ ต่อเนื่อง 50 กรัมในสภาวะเบคนิ่ง ตั้งอุณหภูมิที่ 450 °ช ตลอดความสูง | 76 |
| 2 อุณหภูมิ และอัตราการ ใหหลอมเมื่อทำการป้อนพลาสติกแบบป้อนและหยุดเป็นจังหวะ ต่อเนื่อง 50 กรัมในสภาวะเบคนิ่ง <u>2</u> ตั้งอุณหภูมิที่จุดเหนือแผ่นกระจายก้าช 10 ซม. เป็น 450 °ช เหนือชิ้นไป เป็น 430 °ช | 81 |
| 3 อุณหภูมิ และอัตราการ ใหหลอมเมื่อทำการป้อนพลาสติกแบบป้อนและหยุดเป็นจังหวะ ต่อเนื่อง 50 กรัมในสภาวะเบคนิ่ง <u>3</u> อุณหภูมิที่จุดเหนือแผ่นกระจายก้าช 10 ซม. เป็น 450 °ช จุดที่เหนือ 50 ซม. ตั้งที่ 430 °ช จุดเหนือ 100 ซม. และ 150 ซม. ตั้งไว้ที่ 400 °ช | 86 |

สารบัญตาราง (ต่อ)

| ตารางผนวกที่ | หน้า |
|---|------|
| 4 อุณหภูมิ และอัตราการ ไหลดเมื่อทำการป้อนพลาสติกแบบป้อนและหยุดเป็นจังหวะต่อเนื่อง 50 กรัมในสภาพะเบด ตั้งอุณหภูมิที่จุดเหนือแผ่นกระจายก้าช 10 ซม. เป็น 450°C จุดที่เหนือ 50 ซม. ตั้งที่ 430°C จุดเหนือ 100 ซม. ซม. ตั้งที่ 150°C จุดเหนือ 150 ซม. ตั้งไว้ที่ 300°C | 91 |
| 5 อุณหภูมิ และอัตราการ ไหลดเมื่อทำการป้อนพลาสติกแบบป้อนและหยุดเป็นจังหวะต่อเนื่อง 50 กรัมในสภาพะฟลูอิไดซ์เบด เมื่อป้อน ใน โทรเจน 9.40 กิโลกรัม/ชั่วโมง (1.3 เท่าของอัตราเร็วฟลูอิไดซ์ต่ำสุดของเม็ดพลาสติก) ตั้งอุณหภูมิที่ 450°C ตลอดความสูง | 96 |
| 6 อุณหภูมิ และอัตราการ ไหลดเมื่อทำการป้อนพลาสติกแบบป้อนและหยุดเป็นจังหวะต่อเนื่อง 50 กรัมในสภาพะฟลูอิไดซ์เบด เมื่อป้อน ใน โทรเจน 9.40 กิโลกรัม/ชั่วโมง (1.3 เท่าของอัตราเร็วฟลูอิไดซ์ต่ำสุดของเม็ดพลาสติก) อุณหภูมิเหนือแผ่นกระจายก้าช 10 50 100 150 ซม. เป็น $450, 450 150$ และ 450°C | 99 |
| 7 อุณหภูมิ และอัตราการ ไหลดเมื่อทำการป้อนพลาสติกแบบหยุดเป็นจังหวะต่อเนื่อง 50 กรัมในสภาพะฟลูอิไดซ์เบด เมื่อป้อน ใน โทรเจน 10.85 กิโลกรัม/ชั่วโมง (1.5 เท่าของอัตราเร็วต่ำสุดเพื่อเกิดฟลูอิไดซ์ของเม็ดพลาสติก) ตั้งอุณหภูมิที่ 450°C ตลอดความสูง | 102 |
| 8 อุณหภูมิ และอัตราการ ไหลดเมื่อทำการป้อนพลาสติกแบบหยุดเป็นจังหวะต่อเนื่อง 50 กรัมในสภาพะฟลูอิไดซ์เบด เมื่อป้อน ใน โทรเจน 10.85 กิโลกรัม/ชั่วโมง (1.5 เท่าของอัตราเร็วต่ำสุดเพื่อเกิดฟลูอิไดซ์ของเม็ดพลาสติก) อุณหภูมิเหนือแผ่นกระจายก้าช 10 50 100 150 ซม. เป็น $450, 450 150$ และ 450°C | 104 |
| 9 Orifice flow meter calibration data before gas flow in condenser 1 | 106 |
| 10 Orifice flow meter calibration data before and after gas flow in condenser 2 and 3 | 106 |
| 11 Screw feeder calibration data | 107 |
| 12 ผลิตภัณฑ์ที่ได้ในสภาพะเบด นิ่ง | 109 |
| 13 เปอร์เซ็นต์โดยน้ำหนักผลิตภัณฑ์ที่ได้ในสภาพะเบด นิ่ง | 109 |

สารบัญตาราง (ต่อ)

| ตารางพนวกที่ | หน้า |
|--|------|
| 14 ผลิตภัณฑ์ที่ได้ในช่วงฟลูอิಡซ์เบด ป้อนก๊าซในไตรเจน 9.40 กิโลกรัม/ชั่วโมง (1.3 อัตราเร็วฟลูอิడซ์เร็วต่ำสุดของเม็ดพลาสติก) | 110 |
| 15 เปอร์เซ็นต์โดยน้ำหนักผลิตภัณฑ์ที่ได้ในช่วงฟลูอิಡซ์เบด ป้อนก๊าซในไตรเจน 9.40 กิโลกรัม/ชั่วโมง (1.3 อัตราเร็วฟลูอิడซ์ต่ำสุดของเม็ดพลาสติก) | 110 |
| 16 ผลิตภัณฑ์ที่ได้ในช่วงฟลูอิಡซ์เบด ป้อนก๊าซในไตรเจน 10.85 กิโลกรัม/ชั่วโมง (1.5 อัตราเร็วฟลูอิಡซ์ต่ำสุดของเม็ดพลาสติก) | 111 |
| 17 เปอร์เซ็นต์โดยน้ำหนักผลิตภัณฑ์ที่ได้ในช่วงฟลูอิಡซ์เบด ป้อนก๊าซในไตรเจน 10.85 กิโลกรัม/ชั่วโมง (1.5 อัตราเร็วต่ำฟลูอิಡซ์สุดของเม็ดพลาสติก) | 111 |
| 18 องค์ประกอบผลิตภัณฑ์ที่ได้ในสภาวะเบคนิ่ง เมื่อตั้งอุณหภูมิที่ 450 °ช ตลอด ความสูง | 112 |
| 19 องค์ประกอบผลิตภัณฑ์ที่ได้ในสภาวะเบคนิ่ง ตั้งอุณหภูมิจุดเหนือแผ่นกระจาย ก๊าซ 10 ซม. เป็น 450 °ช จุดที่เหนือขึ้นไปตั้งที่ 430 °ช | 112 |
| 20 องค์ประกอบผลิตภัณฑ์ที่ได้ในสภาวะเบคนิ่ง ตั้งอุณหภูมิจุดเหนือแผ่นกระจาย ก๊าซ 10 ซม. เป็น 450 °ช จุดที่เหนือ 50 ซม. ตั้งที่ 430 °ช จุดเหนือ 100 ซม. และ 150 ซม. ตั้งไว้ที่ 400 °ช | 113 |
| 21 องค์ประกอบผลิตภัณฑ์ที่ได้ในสภาวะเบคนิ่ง ตั้งอุณหภูมิจุดเหนือแผ่นกระจาย ก๊าซ 10 ซม. เป็น 450 °ช จุดเหนือ 50 ซม. ตั้งไว้ที่ 430 °ช จุดเหนือ 100 ซม. ตั้งที่ 150 °ช จุดเหนือ 150 ซม. ตั้งไว้ที่ 300 °ช | 113 |
| 22 องค์ประกอบผลิตภัณฑ์ที่ได้ในช่วงฟลูอิಡซ์เบด (9.40 กิโลกรัม/ชั่วโมง) ตั้ง อุณหภูมิที่ 450 °ช ตลอดปฏิกรณ์ | 114 |
| 23 องค์ประกอบผลิตภัณฑ์ที่ได้ในช่วงฟลูอิಡซ์เบด (9.40 กิโลกรัม/ชั่วโมง) อุณหภูมิ เหนือแผ่นกระจายก๊าซ 10 50 100 150 ซม. เป็น 450, 450 150 และ 450 °ช | 114 |
| 24 องค์ประกอบผลิตภัณฑ์ที่ได้ในช่วงฟลูอิಡซ์เบด (10.85 กิโลกรัม/ชั่วโมง) ตั้ง อุณหภูมิที่ 450 °ช ตลอดปฏิกรณ์ | 115 |

สารบัญตาราง (ต่อ)

| ตารางผนวกที่ | หน้า |
|--|------|
| 25 องค์ประกอบผลิตภัณฑ์ที่ได้ในช่วงฟลูอิಡซ์เบด (10.85 กิโลกรัม/ชั่วโมง) อุณหภูมิเหนือแผ่นกระจายกําช 10 50 100 150 ชม. เป็น 450, 450 150 และ 450°ซ | 115 |

สารบัญภาพ

| ภาพที่ | หน้า |
|---|------|
| 1 พรอพิลีน โนโนเมอร์และพรอพิลีนโพลิเมอร์ | 5 |
| 2 ไอโซแทกติก (isotactic), ซินดิไอโซแทกติก (syndiotactic) และ อะแทกติก (atactic) | 6 |
| 3 ผลิตภัณฑ์ที่ได้จากการแตกตัวของพลาสติกด้วยความร้อนที่อุณหภูมิต่าง ๆ | 14 |
| 4 ข้อมูลจากเครื่อง Gas chromatograms ที่ใช้วิเคราะห์ผลิตภัณฑ์ที่เกิดจากการทำไฟโรไอลซิส พอลิพรอพิลีน | 15 |
| 5 เปอร์เซ็นต์โดยมวลขององค์ประกอบของผลิตภัณฑ์ซึ่งแบ่งตามจำนวนcarbon อะตอม ที่เกิดจากการทำไฟโรไอลซิสพอลิพรอพิลีนที่อุณหภูมิต่าง ๆ | 17 |
| 6 ช่วงของอุณหภูมิที่ใช้ในการกลั่นแยกลำดับส่วน เพื่อให้ได้ผลิตภัณฑ์ในแต่ละช่วง ของ จำนวนcarbon อะตอม | 19 |
| 7 เครื่องปฏิกรณ์แบบกึ่งเฉพาะจุดที่ใช้ศึกษาจนพลศาสตร์ของปฏิกิริยาการแตกโมเลกุลของพลาสติกพอลิพรอพิลีน โดยใช้ความร้อนในท่ออบอากาศ | 24 |
| 8 สัดส่วนของผลิตภัณฑ์ที่เกิดขึ้นจากการแตกโมเลกุลของพลาสติกพอลิพรอพิลีน โดย ใช้ความร้อนในท่ออบอากาศ ในปฏิกรณ์แบบกึ่งเฉพาะจุด | 24 |
| 9 ปฏิกรณ์ฟลูอิಡเซลเบดที่ใช้ในการแตกตัวพลาสติกด้วยความร้อน | 25 |
| 10 การหายไปของน้ำหนักพลาสติกที่อัตราการให้ความร้อน 10 องศาเซลเซียส ต่อนาที | 27 |
| 11 น้ำหนักที่หายไป การหลอกความร้อน และอัตราการหายไปของน้ำหนักของ การแตก โมเลกุลพอลิพรอพิลีน (อัตราการเพิ่มอุณหภูมิ 5 องศาเซลเซียสต่อนาที) | 28 |
| 12 การแตก โมเลกุลด้วยความร้อนที่อุณหภูมิเพิ่มน้ำหนักของพอลิพรอพิลีนที่ใช้แล้วที่ อัตราการให้ความร้อนต่าง ๆ | 29 |
| 13 ระบบไฟโรไอลซิส | 33 |
| 14 องค์ประกอบอธิฟิก | 36 |
| 15 เครื่องกลั่นน้ำมันปีโตรเลียม (Distillation Unit) | 38 |
| 16 การหายไปของน้ำหนักพอลิพรอพิลีนที่เกิดการแตกโมเลกุล โดยเครื่อง simultaneous DSC-TGA เมื่ออุณหภูมิเพิ่มน้ำหนักให้บรรยายกาศในโตรเจน | 41 |

สารบัญภาพ (ต่อ)

| ภาพที่ | หน้า |
|--|------|
| 17 ความสัมพันธ์อุณหภูมิกับความสูงเมื่อควบคุมอุณหภูมิ (ก) ณ จุดเริ่มต้น (ข) เพื่อ จุด ควบคุม อุณหภูมิและเตาให้ความร้อน | 43 |
| 18 อุณหภูมิที่ใช้ในการแตกตัวของพอลิพรอพิลีนในเครื่องปฏิกรณ์แบบกะ | 44 |
| 19 อุณหภูมิที่เปลี่ยนไปเมื่อใส่พอลิพรอพิลีน (ก) 50, (ข) 100, (ค) 200 และ (ง) 500 กรัมตามลำดับ | 45 |
| 20 อุณหภูมิที่เปลี่ยนแปลงกับเวลาเมื่อใช้อัตราการไหลในโตรเจน (ก) 0.26 กิโลกรัม/ ชั่วโมง (ข) 0.34 กิโลกรัม/ชั่วโมง (ค) 3.64 กิโลกรัม/ชั่วโมง ป้อนพลาสติก 100 กรัม 47 | |
| 21 อุณหภูมิที่เปลี่ยนไปกับเวลาเมื่อใช้อัตราการไหลของไนโตรเจน (ก) 7.26 กิโลกรัม/ชั่วโมง(ข) 11.66 กิโลกรัม/ชั่วโมง ป้อนพลาสติก 500 กรัม | 49 |
| 22 อุณหภูมิกับเวลาต่อการแตกตัวของพลาสติกเมื่อทำการป้อนพลาสติกเป็นจังหวะ แบบต่อเนื่อง (ก) 200 กรัม (ข) 100 กรัม (ค) 50 กรัม ความเร็วก้าชเป็น 7.23 กิโลกรัม/ชั่วโมง (1 Umf) อุณหภูมิตลอดปฏิกรณ์เป็น 500°ช | 51 |
| 23 อุณหภูมิกับเวลาต่อการแตกตัวของพลาสติกเมื่อทำการควบคุมอุณหภูมิที่จุด แตกต่างกันซึ่งได้ทำการควบคุมอุณหภูมิไว้ดังนี้ (ก) อุณหภูมิเป็น 450°ช ตลอด ความสูง (ข) อุณหภูมิเหนือแผ่นกระจายก้าช 10 50 100 150 เป็น 450 430 430 430°ช (ค) อุณหภูมิเหนือกระจายก้าช 10 50 100 150 เป็น 450 430 400 400°ช (ง) อุณหภูมิเหนือกระจายก้าช 10 50 100 150 เป็น 450 430 150 300°ช ป้อนพลาสติก 50 กรัม/รอบ ความเร็วก้าช 7.24 กิโลกรัม/ชั่วโมง (1 Umf)) | 54 |
| 24 ค่าเฉลี่ยของอุณหภูมิ ตามความสูงของปฏิกรณ์พร้อมอุณหภูมิที่ตั้งไว้ในสภาวะ เบคนิ่ง เมื่อทำการควบคุมอุณหภูมิไว้ 4 เสี้ยว ไขป้อนพลาสติก 50 กรัม/รอบ ความเร็วก้าช 7.24 กิโลกรัม/ชั่วโมง (1 Umf) | 55 |
| 25 ผลิตภัณฑ์ที่ได้จากการแตกตัวของพลาสติกเมื่อทำการควบคุมอุณหภูมิแตกต่างกัน ในสภาวะเบคนิ่ง (1 Umf) เมื่อป้อนพลาสติก 10 กรัม/นาที | 56 |

สารบัญภาพ (ต่อ)

| ภาพที่ | หน้า |
|---|------|
| 26 ร้อยละของผลิตภัณฑ์ที่ได้จากพลาสติกป้อนเมื่อทำการควบคุมอุณหภูมิแตกต่างกัน ในสภาพเบดนิ่งในสภาพเบดนิ่ง (1 Umf) เมื่อป้อนพลาสติก 10 กรัม/นาที | 57 |
| 27 องค์ประกอบผลิตภัณฑ์ของเหลวที่ได้จากหน่วยความแน่น ในสภาพเบดนิ่ง (1 Umf) เมื่อป้อนพลาสติก 10 กรัม/นาที | 58 |
| 28 ร้อยละของค์ประกอบผลิตภัณฑ์ที่ได้จากหน่วยความแน่น ในสภาพเบดนิ่ง (1 Umf) เมื่อป้อนพลาสติก 10 กรัม/นาที | 58 |
| 29 การแตกตัวของพลาสติก ณ เวลาต่างๆ เมื่อควบคุมอุณหภูมิต่างกันโดยป้อนในไตรเจน 9.40 กิโลกรัม/ชั่วโมง ซึ่งได้ทำการควบคุมอุณหภูมิไว้ดังนี้ (ก) อุณหภูมิติดความสูงเป็น 450°C (ข) อุณหภูมิที่ 10, 50, 100 และ 150 ช.m. เป็น 450, 450, 150 และ 450°C ตามลำดับ ป้อนพลาสติก 50 กรัม/รอบ ในอัตรา 9.40 กิโลกรัม/นาที (1.3 Umf) | 60 |
| 30 ค่าเฉลี่ยของอุณหภูมิ ตามความสูงของปฏิกรณ์ฟลูอิไดซ์พร้อมอุณหภูมิที่ตั้งไว้เมื่อป้อนในไตรเจน 9.40 กิโลกรัม/ชั่วโมง (1.3 Umf) และป้อนพลาสติก 50 กรัมต่อรอบสลับการหยุดเป็นจังหวะต่อเนื่องกัน จำนวน 40 รอบ เมื่อทำการควบคุมอุณหภูมิไว้ 2 เงื่อนไข ตามตารางที่ 8 | 61 |
| 31 ผลิตภัณฑ์ก๊าซและของเหลวที่ได้จากหน่วยความแน่น จากปฏิกรณ์ฟลูอิไดซ์เบด (ความเร็วก๊าซเป็น 1.3 เท่าของอัตราเร็วต่ำสุดเพื่อกีดฟลูอิไดซ์ของเม็ดพลาสติก) อัตราการป้อนพลาสติก 16.7 กรัม/นาที | 62 |
| 32 ร้อยละของผลิตภัณฑ์ที่ได้จากพลาสติกป้อนเมื่อทำการควบคุมอุณหภูมิแตกต่างกัน ในช่วงฟลูอิไดซ์เบด (ความเร็วก๊าซเป็น 1.3 เท่าของอัตราเร็วต่ำสุดเพื่อกีดฟลูอิไดซ์ของเม็ดพลาสติก) | 63 |
| 33 องค์ประกอบผลิตภัณฑ์ของเหลวที่ได้จากหน่วยความแน่น ในสภาพฟลูอิไดซ์เบด (ความเร็วก๊าซเป็น 1.3 เท่าของอัตราเร็วต่ำสุดเพื่อกีดฟลูอิไดซ์ของเม็ดพลาสติก) ซึ่งปริมาณรวมของของเหลวในการทดลองที่ 1 น้อยกว่าในการทดลองที่ 2 | 64 |

สารบัญภาพ (ต่อ)

| ภาพที่ | หน้า |
|--|------|
| 34 ร้อยละองค์ประกอบผลิตภัณฑ์ของเหลวที่ได้จากหน่วยความแน่น ในสภาวะฟลูอิไดซ์เบด (ความเร็วก๊าซเป็น 1.3 เท่าของอัตราเร็วต่ำสุดเพื่อเกิดฟลูอิไดซ์ของเม็ดพลาสติก) | 65 |
| 35 อุณหภูมิที่เวลาการแตกตัวต่างๆ ของพลาสติก โดยป้อนในโตรเจน 10.85 กิโลกรัม/ชั่วโมง (ก) อุณหภูมิตามความสูง เป็น 450°C (ข) อุณหภูมิเห็นอ่อนแปร่น กระหายก๊าซ $10\ 50\ 100\ 150\ \text{ชม.}$ เป็น $450,\ 450\ 150$ และ 450°C | 66 |
| 36 ค่าเนลลีของอุณหภูมิ ตามความสูงของปฏิกรณ์ฟลูอิไดซ์พร้อมอุณหภูมิที่ตั้งไว้เมื่อป้อนในโตรเจน 10.85 กิโลกรัม/ชั่วโมง และป้อนพลาสติกสลับการหยุดเป็นจังหวะต่อเนื่องกัน 40 รอบ โดยทำการควบคุมอุณหภูมิไว้ 2°C เยื่อนไปตามตารางที่ 8 | 67 |
| 37 ผลิตภัณฑ์ก๊าซและของเหลวที่ได้จากหน่วยความแน่น ในสภาวะฟลูอิไดซ์เบด (ความเร็วก๊าซเป็น 1.5 เท่าของอัตราของเร็วต่ำสุดเพื่อเกิดฟลูอิไดซ์ของเม็ดพลาสติก) อัตราการป้อนพลาสติก 25กรัม/นาที | 68 |
| 38 ร้อยละผลิตภัณฑ์ก๊าซและของเหลวที่ได้จากหน่วยความแน่น ในสภาวะฟลูอิไดซ์เบด (ความเร็วก๊าซเป็น 1.5 เท่าของอัตราเร็วต่ำสุดเพื่อเกิดฟลูอิไดซ์ของเม็ดพลาสติก) | 68 |
| 39 องค์ประกอบผลิตภัณฑ์ของเหลวที่ได้จากหน่วยความแน่น ในสภาวะฟลูอิไดซ์เบด (1.5 เท่าอัตราเร็วต่ำสุดเพื่อเกิดฟลูอิไดซ์ของพลาสติก) | 69 |
| 40 ร้อยละองค์ประกอบผลิตภัณฑ์ของเหลวที่ได้จากหน่วยความแน่น ในสภาวะฟลูอิไดซ์เบด (1.5 เท่าอัตราเร็วต่ำสุดเพื่อเกิดฟลูอิไดซ์ของพลาสติก) | 69 |

ภาพผนวกที่

| | |
|--|-----|
| 1 แผนภาพเครื่องมือที่ใช้แตกไมเมกุลโพลิพรอพิลีน | 116 |
| 2 รูปเครื่องมือที่ใช้แตกไมเมกุลโพลิพรอพิลีน | 117 |
| 3 เม็ดทรายขนาด $150 - 300\ \text{ไมครอน}$ | 118 |
| 4 เม็ดพลาสติกที่ใช้ในการแตกไมเมกุลให้กล้ายเป็นน้ำมันปีโตรเลียม | 118 |
| 5 ผลิตภัณฑ์น้ำมันที่ได้จากการแตกไมเมกุลของโพลิพรอพิลีน | 118 |

(10)

คำอธิบายสัญลักษณ์และคำย่อ

C_d = discharge coefficient

c_p = ความจุความร้อนจำเพาะของสาร (kJ/kgK)

D_i = พื้นที่หน้าตัดของห้องก่อนเข้าอิฐิก (m^2)

D_o = พื้นที่หน้าตัดของรูเล็ก (m^2)

D_p = เส้นผ่านศูนย์กลางของอนุภาคของแข็ง (Particle size)

Φ_s = ภาวะทรงกลม (Sphericity)

ρ_p = ความหนาแน่นของอนุภาคของแข็ง (Density of particle)

ρ = ความหนาแน่นของไอล (Density of fluid)

ε_M = เศษส่วนของว่างที่ต่ำที่สุดสำหรับการเกิดฟลูอิไดเซชัน (Minimum porosity for Fluidization) โดยทั่วไปสำหรับอนุภาคทรงกลมจะมีค่าประมาณ 0.40 - 0.45

q = อัตราการไอลที่เหมาะสมของก๊าซ (m^3/s)

P_1 = ความดันขาเข้า (N/m^2)

P_2 = ความดันขาออก (N/m^2)

Q = ปริมาณความร้อน (J)

\dot{m} = อัตราการไอลของไอน์โตรเจนในปฏิกรณ์ (kg/s)

ΔT = อุณหภูมิที่แตกต่างของไอน์โตรเจนที่เข้าและออกจากปฏิกรณ์ ($^{\circ}C$)

สมรรถนะการแตกตัวของพอลิพรอพิลีนในปฏิกิริยาไคซ์เบด

Performance of Polypropylene Cracking in a Fluidized Bed Reactor

คำนำ

ในปัจจุบันนี้ทั่วโลกมีผลิตภัณฑ์ที่ผลิตมาจากพลาสติกเป็นจำนวนมากทั้งในครัวเรือนและในอุตสาหกรรม จึงเกิดปัญหาของพลาสติก และพลาสติกที่เหลือใช้ออกสู่สิ่งแวดล้อมเป็นจำนวนมาก และเนื่องจากพลาสติกเหล่านี้ย่อยสลายได้ยากจึงมีปัญหาในการกำจัด โดยการกำจัดพลาสติกที่เหลือใช้เหล่านี้มีหลายวิธี เช่น การนำกลับไปใช้ใหม่ให้เป็นพลาสติกคุณภาพดีนำไปใช้เป็นเชื้อเพลิงพลังงาน ส่วนที่เหลืออาจนำไปเผาหรือฝังกลบ ซึ่งการนำไปเผาหรือฝังกลบจะเกิดผลกระทบกับสิ่งแวดล้อมได้ ดังนั้นในปัจจุบันเพื่อเป็นการลดปัญหาสิ่งแวดล้อมจึงเน้นการนำเศษพลาสติกเหล่านี้มาใช้ประโยชน์โดยมีการนำกลับมาใช้ใหม่

การนำพลาสติกกลับมาใช้ใหม่ในปัจจุบันนิยม จะใช้วิธีการเปลี่ยนพลาสติกให้เป็นน้ำมันปิโตรเลียม ซึ่งวิธีที่ได้รับความสนใจและได้มีการค้นคว้าทดลองอย่างแพร่หลาย เพราะเป็นการลดขยะจากพลาสติกและยังช่วยเพิ่มคุณค่าของผลิตภัณฑ์ และยังก่อให้เกิดคุณค่าทางเศรษฐกิจและสิ่งแวดล้อมอีกด้วย กระบวนการใช้เศษพลาสติกให้เปลี่ยนเป็นน้ำมันปิโตรเลียม ใช้วิธีการทำให้พลาสติกแตกตัวจากไฮโดรคาร์บอนไมเลกุลใหญ่ กลายเป็นไฮโดรคาร์บอนที่มีไมเลกุลเล็กลง การทำให้พลาสติกแตกตัวนี้จะใช้กระบวนการ การแตกตัวด้วยความร้อนในท่อขึ้นอากาศ (pyrolysis)

กระบวนการแตกตัวพลาสติกโดยการแตกตัวด้วยความร้อน (pyrolysis) เป็นกระบวนการหนึ่งที่ใช้ความร้อนเปลี่ยนเศษพลาสติกให้กลายเป็นองค์ประกอบของน้ำมันปิโตรเลียม โดยการใช้ความร้อนที่อุณหภูมิสูง ($> 700^{\circ}\text{C}$) ในท่อขึ้นอากาศทำให้พลาสติกแตกตัวจากไฮโดรคาร์บอนไมเลกุลใหญ่กลายเป็นองค์ประกอบย่อยชนิดต่างๆ ซึ่งองค์ประกอบนี้สามารถนำมาทำเป็นเชื้อเพลิงแทนน้ำมัน หรือใช้เป็นสารป้อนในการผลิตพลาสติกคุณภาพสูงได้ องค์ประกอบที่ได้จากการแตกตัวด้วยความร้อนสามารถเปลี่ยนแปลงเป็น ก๊าซ ($C_1 - C_4$) ของเหลว ($C_5 - C_{17}$) และกากของแข็ง (C_{18} ขึ้นไป) ปฏิกิริยาการแตกตัวพลาสติกเป็นปฏิกิริยาที่ใช้อุณหภูมิสูงและเกิดขึ้นเร็ว (Mohammad and Abul, 2003) และถ้าใช้เวลาในการแตกตัวของพลาสติกนานหรือสั้น

เกินไป จะทำให้ได้ผลิตภัณฑ์ที่ไม่ต้องการ ดังนั้นในการเลือกซึ่งของผลิตภัณฑ์ให้ได้ตามที่เราต้องการอุณหภูมิและเวลาจึงเป็นตัวแปรที่สำคัญในการออกแบบปฏิกรณ์

ในงานวิจัยส่วนใหญ่ ระบบที่ใช้ในการแตกตัวของพลาสติกมักเป็นระบบขนาดเล็กที่เป็นชนิดถังกว้าง หรือแบบแพ็คเบด (packed bed) (Williams and Slaney, 2007) อย่างไรก็ตามภาพปฏิกรณ์ขนาดใหญ่ เช่น พลูอิโคเซบด เพื่อเพิ่มปริมาณการผลิตและสามารถควบคุมอุณหภูมิและเวลาในการเกิดปฏิกรณ์ได้ดีขึ้น เนื่องจากการเดินเครื่องต่างจากเครื่องเล็กในเนื่อง ไขของอุณหภูมิและเวลาในการทำปฏิกรณ์

ปฏิกรณ์ชนิดพลูอิโคเซบด เป็นปฏิกรณ์ที่เหมาะสมสำหรับการทำให้พลาสติกแตกตัวด้วยความร้อน และมีความสามารถในการถ่ายเทความร้อนได้ดี สามารถควบคุมเวลาในการทำปฏิกรณ์ได้ (Kaminsky *et al.*, 2003) แต่ในทางปฏิบัติแล้วปฏิกรณ์ชนิดนี้มีการสัมผัสน้อยย่างซับซ้อนระหว่างแก๊สและอนุภาคในเชิงการถ่ายเทความร้อนและมวล ดังนั้นสภาวะการเดินเครื่องจะมีอิทธิพลต่อสมรรถนะของปฏิกรณ์โดยตรง

ดังนั้นในงานวิจัยนี้จึงได้ทำการการหาสภาวะการให้ความร้อนเพื่อให้ได้อุณหภูมิที่เหมาะสมต่อการแตกตัวของพลาสติก และหาสภาวะที่เหมาะสมในการทำงานของเครื่องปฏิกรณ์ชนิดพลูอิโคเซบด เพราะปัจจัยเหล่านี้มีผลต่อสมรรถนะการทำงานของระบบ และผลิตภัณฑ์ที่ออกมาก

วัตถุประสงค์

- ศึกษาการแตกตัวของโมเลกุล โดยใช้ความร้อนของพอลิพรอพิลีน เพื่อให้ได้น้ำมันเชื้อเพลิง
- ศึกษาสมรรถนะการเกิดปฏิกิริยาการแตกตัวของพอลิพรอพิลีน ในปฏิกรณ์ชนิดฟลูอิไดซ์เบด
- ศึกษาการให้ความร้อนและอุณหภูมิภายในปฏิกรณ์ชนิดฟลูอิไดซ์เบดที่มีผลต่อสมรรถนะของปฏิกรณ์

ขอบเขตการวิจัย

- ศึกษาการแตกตัวของพอลิพรอพิลีนด้วยความร้อน
- ศึกษาการแตกตัวของพลาสติกในปฏิกรณ์ชนิดฟลูอิไดซ์เบดพร้อมทั้งเปรียบเทียบกับการเดินเครื่องแบบเบดนิ่ง
- ศึกษาการแตกตัวของพลาสติกโดยมีการให้ความร้อนควบคู่ไปกับสภาพะของปฏิกิริยา
- การแตกตัวของพลาสติกเน้นให้ได้ผลิตภัณฑ์หลักคือน้ำมันเชื้อเพลิง
- การให้ความร้อนโดยใช้เตาไฟฟ้า

ประโยชน์ที่ได้รับ

1. ผลที่ได้นำไปใช้ในการปรับปรุงการเดินเครื่องให้ได้ผลิตภัณฑ์ที่ต้องการเพิ่มขึ้น
2. เป็นแนวทางในการศึกษาพลาสติกชนิดอื่นต่อไป
3. ได้ข้อมูลในการออกแบบระบบเผาไหม้เชื้อเพลิงเพื่อให้ได้ความร้อนป้อนเข้ากับระบบ
4. ข้อมูลสามารถนำไปออกแบบและเดินเครื่องเพื่อการขยายขนาดในอนาคต

การตรวจเอกสาร

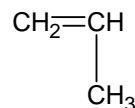
จากการศึกษาที่ผ่านมาปฏิกรณ์ฟลูอิไดซ์เบดที่ใช้กันแพร่หลายในอุตสาหกรรมชนิดต่างๆ เช่น ใช้เป็นปฏิกรณ์เคมี ปฏิกรณ์แยก ปฏิกรณ์ผสม หรือปฏิกรณ์อบแห้ง เป็นต้น ปฏิกรณ์ฟลูอิไดซ์เบด เป็นปฏิกรณ์ที่มีความเหมาะสมและมีข้อได้เปรียบสำหรับการแตกตัวพลาสติก เนื่องจากมีข้อดี ที่ใช้งานได้กับระบบที่ต้องการให้มีการถ่ายเทความร้อนและถ่ายเทmvลดี กิจการสัมผัสดีระหว่าง ก้าชกับของแข็ง ระยะเวลาในการสัมผัสนั้น ปฏิกรณ์ฟลูอิไดซ์เบดจึงมีการใช้งานอย่างแพร่หลาย

กระบวนการแตกตัวของขยะพลาสติกไปเป็นน้ำมันปิโตรเลียม เป็นกระบวนการที่ได้รับ ความสนใจ โดยมีการศึกษาและพัฒนามาอย่างต่อเนื่อง (Huang, 1998) พบว่าผลิตภัณฑ์ที่ได้จากการ แตกตัวมีแก๊ส ของเหลวและของแข็ง โดยคุณภาพของผลิตภัณฑ์ขึ้นอยู่กับชนิดของพลาสติก อุณหภูมิ ชนิดของตัวเร่งปฏิกริยา ชนิดของเครื่องปฏิกรณ์และเวลาที่ใช้ในการทำปฏิกริยา

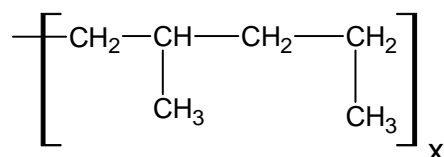
1. พอลิpropylene (Polypropylene, PP)

พอลิpropylene จัดเป็นพลาสติกประเภทเทอร์โมพลาสติก (Thermo plastic) โดยพลาสติก ประเภทเทอร์โมพลาสติก คือ พลาสติกที่สามารถกลับมาขึ้นรูปใหม่ได้ด้วยความร้อน (The Dow Chemical Company, 1995)

Propylene Monomer



Polypropylene Polymer

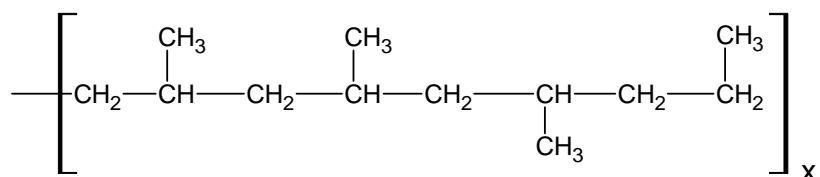


ภาพที่ 1 พรอพิลีน โน โนเมอร์ และพรอพิลีนพอลิเมอร์

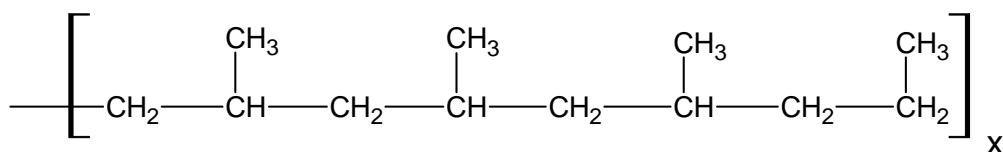
ที่มา: The Dow Chemical Company (1995)

โดยในปี ค.ศ.1954 มีการผลิตพอลิพรอพิลีนขึ้นเป็นครั้งแรกโดยบริษัทนาททา (Natta) โดยใช้ตัวเร่งปฏิกิริยาซีเกโลร์-นาททา ที่ประกอบด้วยไทเทเนียมไตรคลอไรด์ ($TiCl_3$) กับออกูมิเนียมไคลอทิลคลอไรด์ ($Al(C_2H_5)_2Cl$) จากนั้นทำการพอลิเมอไรซ์พรอพิลีนที่อุณหภูมิ $70-80^{\circ}C$ และความดัน 100 บรรยากาศ ได้พอลิพรอพิลีนดังแสดงในภาพที่ 1 ซึ่งประกอบด้วยโกรงสร้าง (Richardson and Lokengard, 1997) ที่เป็นไอโซแทรกติก (Isotactic), ซินดิไอแทรกติก (Syndiotactic) และอะแท็กติก (Atactic) ดังแสดงในภาพที่ 2

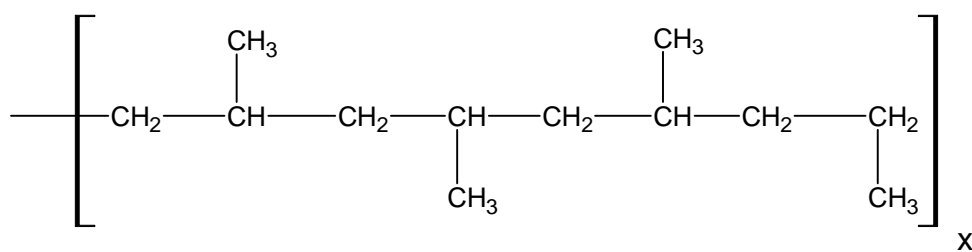
Atactic Polypropylene



Isotactic Polypropylene



Syndiotactic Polypropylene



ภาพที่ 2 ไอโซแทกติก (isotactic) ซินดิไอโซแทกติก (syndiotactic) และ อะแทกติก (atactic)

ที่ ๑๐: The Dow Chemical Company (1995)

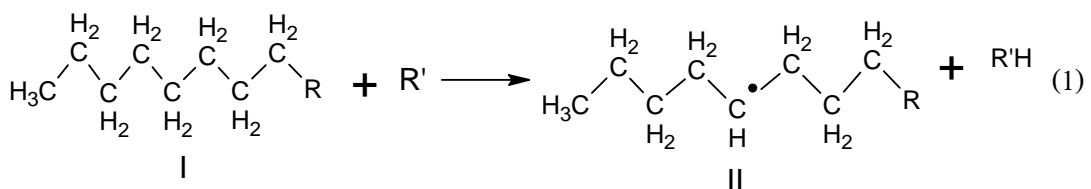
ข้อดีของพอลิพรอพิลีนคือ เป็นพลาสติกประเภทที่เบา จุดหลอมเหลวสูง มีความเหนียว สามารถทนต่อแรงกระแทกได้ดี ซึ่งพอลิพรอพิลีนส่วนใหญ่ถูกนำไปใช้ในอุตสาหกรรมผลิตชิ้นส่วนรถยนต์ โทรศัพท์มือถือ ภาชนะเครื่องครัว ถุงพลาสติก เป็นต้น ส่วนข้อเสียคือ สามารถดัดแปลงได้ง่าย เกิดพันธะยาก และสามารถละลายได้

2. ปฏิกริยาการแตกโมเลกุล

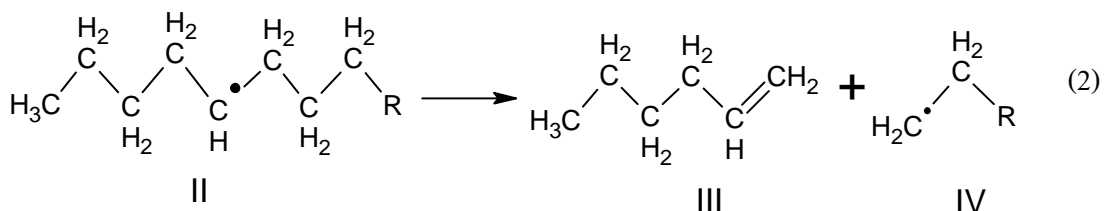
การแตกโมเลกุล (Degradation หรือ Cracking) คือกระบวนการที่สารประกอบไฮโดรคาร์บอนโมเลกุลใหญ่แตกตัวเป็นโมเลกุลเล็ก ๆ หลายโมเลกุลโดยใช้ความร้อนหรือตัวเร่งปฏิกิริยา กลไกการเกิดการแตกสลายของสารประกอบไฮโดรคาร์บอน แบ่งออกได้เป็น 3 รูปแบบใหญ่ ๆ คือ (Venuto, 1979)

2.1 กลไกการแตกโไมเลกุลที่เกิดอนุมูลโดยใช้ความร้อน

การเกิดการแตกสลายแบบนี้ เกิดผ่านกลไกแบบลูกโซ่ของอนุมูลอิสระ (Free radical chain mechanism) หรือกลไกของ Rice-Kossiakoff ซึ่งกลไกแบบนี้อาจเกิดร่วมกับ การแตกโมเลกุลโดยใช้ตัวเร่งปฏิกิริยา ในกรณีที่ทำปฏิกิริยาที่อุณหภูมิสูงสำหรับกลไกในการแตกโมเลกุล ใช้ความร้อนของสารประกอบไฮโดรคาร์บอนโมเลกุลให้ญั่น จะเริ่มด้วยขั้นเริ่มต้น (Initiation) หรือการกระตุ้น (Activation) ของสารตั้งต้น ดังแสดงในสมการที่ (1) พาราฟิน (I) จะถูกกระตุ้นให้เกิดปฏิกิริยาโดยเกิดการดึงไฮโดรเจนออก ทำให้เกิดเป็นอนุมูลอิสระ (II) โดย $R\cdot$ ในสมการ อาจเป็นอะตอนไฮโดรเจน อนุมูลเมทธิล และอื่นๆที่ถูกกระตุ้นให้เกิดการแตกพันธะแบบสมมาตรโดยใช้ความร้อน



หลังจากนั้น อนุมูล (II) สามารถเกิดเป็น β -scission แล้วกลายเป็น ไอโซเลฟิน (III) และ อนุมูลที่มีมวลโมเลกุลลดลง (IV) ดังสมการที่ (2) และถ้ามีการแบ่งขั้นของผลิตภัณฑ์ที่จะเกิดขึ้น ผลิตภัณฑ์ที่มีความเสถียรกว่าจะถูกสร้างขึ้น นอกจากนี้ อนุมูล (II) และ อนุมูล (IV) อาจเกิดการ แบ่งขั้นกันดึงไฮโดรเจน ซึ่งจะเป็นการลื้นสุดของอนุมูลในปฏิกิริยา



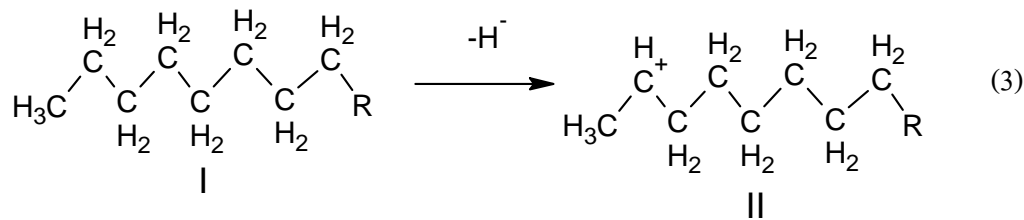
หลังจากปฏิกริยาการแตกสลายโดยใช้ความร้อนสีน้ำเงิน อนุมูลทั้งหมดจะกลายเป็นผลิตภัณฑ์ซึ่งผลิตภัณฑ์หลักจะเป็น C_1 , C_2 และแอลฟาราโนเลฟิน นอกจากนี้ยังพบว่า ผลิตภัณฑ์ที่ได้จากการแตกสลายโดยใช้ความร้อน ส่วนใหญ่จะไม่เกิดผ่านการจัดเรียงตัวใหม่ของสารตั้งต้น หรืออนุมูลขั้นกลาง

2.2 การแตกไมเดกูลชนิดที่เกิดอนุมูลบนผิวของแข็ง

จากการศึกษาพบว่า อัตราการเกิดปฏิกริยาจะเพิ่มขึ้น เมื่อทำปฏิกริยานชิลิกาเจล ซึ่งจัดเป็นของแข็งที่ไม่ว่องไว หรือบนถ่านกัมมันต์ ซึ่งเป็นตัวเร่งปฏิกริยาที่ไม่มีความเป็นกรด รวมทั้งปฏิกริยาที่เกิดเมื่อมีซีโอลอิลด์ที่ถูกแยกเปลี่ยนไปอยู่ในโลหะอัลคาไล ผลิตภัณฑ์ที่เกิดขึ้นจะมีความแตกต่างจากการแตกย่อย โดยใช้ความร้อนเพียงเล็กน้อย แต่อัตราการเกิดปฏิกริยาจะเพิ่มสูงขึ้นเนื่องจากผิวของวัสดุมีส่วนช่วยในการสร้างอนุมูลอิสระ เพื่อให้เกิดปฏิกริยาต่อไป อย่างไรก็ตาม กลไกการเกิดปฏิกริยาแบบนี้ จะเกิดผ่านอนุมูลเช่นเดียวกับการแตกย่อยโดยใช้ความร้อน

2.3 กลไกชนิดที่เกิดการโบนีเยมิออกอนโดยการเร่งปฏิกริยาด้วยกรด

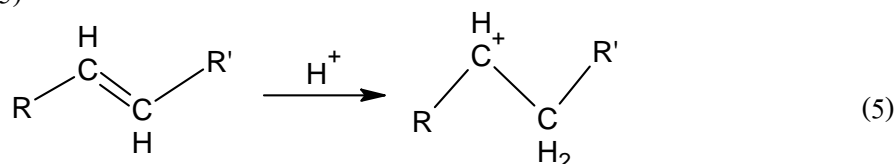
การทำปฏิกริยาการแตกสลายบนวัสดุที่มีความเป็นกรดชนิดต่าง ๆ เช่น ชิลิกา-อะลูมินา และซีโอลอิลด์ อัตราการเกิดปฏิกริยาจะเพิ่มสูงมากอย่างเห็นได้ชัด และผลิตภัณฑ์ที่ได้มีความแตกต่างจากการแตกสลายโดยใช้ความร้อนอย่างชัดเจน การแตกสลายโดยใช้ตัวเร่งปฏิกริยา จะเกิดผ่านสารขั้นกลางที่เป็นคาร์บอนเนติคบอร์นิเตชัน และการแตกพันธะอย่างมีความจำเพาะมากกว่าที่จะเกิดแบบสุ่มเหมือนการแตกสลายโดยใช้ความร้อนสำหรับกลไกในการเกิดการแตกสลายโดยใช้ตัวเร่งปฏิกริยา นอกจากจะเกิด β -scission เช่นเดียวกับการแตกสลายโดยใช้ความร้อนแล้วยังมีปฏิกริยาแบบอื่นเกิดขึ้นด้วย เช่น ไอโซเมอโรไซซันของพาราฟินและโซเลฟิน แทรนส์แอลกิเลชัน (Transalkylation) การส่งผ่านไฮโดรเจน (Hydrogen transfer) รวมทั้งปฏิกริยาที่ก่อให้เกิดการรวมตัวของผลิตภัณฑ์ ได้แก่ โพลิเมอโรไซซันการควบแน่นและการเกิดโค๊กขั้นตอนแรกในการเกิดการแตกสลายโดยใช้ตัวเร่งปฏิกริยา คือ การทำให้เกิดคาร์บอนเนติคบอร์นิเตชัน (II) จากสารตั้งต้น (I) โดยปฏิกริยาที่แรงกว่าการดึงไฮโดรเจนออก ดังสมการ (3)



สำหรับในปฏิกิริยาที่มีซีโอลิต์ในภาพกรด หรือวัสดุอะมิโนซิลิกेट เป็นตัวเร่งปฏิกิริยาสมการที่ (3) อาจเป็นได้ดังสมการ (4) โดยที่ A^+ ในสมการแทนตำแหน่งที่เป็นกรดลิวอิส (Lewisacid) บนพื้นผิวของตัวเร่งปฏิกิริยาคลุมนี้



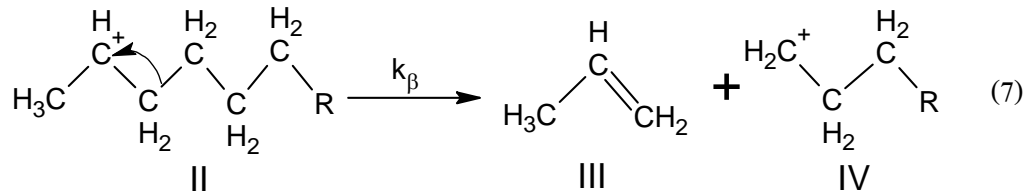
นอกจากการเกิดการ์โบเนียม ไอออนจะเกิดได้จากตัวแทนงที่เป็นกรดลิวอิสแล้ว ยังสามารถเกิดได้จากตัวแทนงที่เป็นกรดเบรนสเตท (Bronsted) บนพื้นผิวของซีโอลิต และวัสดุอะมิโนซิลิกอนในรูปกรดอีกด้วย โดยโปรดอนจากตัวแทนงที่เป็นกรดเบรนสเตท จะโปรดเนตไปที่พันธะคู่ของสารตั้งต้นถึงแม่ในกรณีที่สารตั้งต้น ไม่มีพันธะคู่อยู่ในโมเลกุล การเกิดการ์โบเนียม ไอออนแบบนี้ก็ยังอาจเกิดขึ้นได้ ดังที่รายงานไว้โดย Ishihara และคณะ ซึ่งศึกษาปฏิกิริยาการแตกสลายของโพลิพรอพิลีน ว่าสารที่มีพันธะคู่ที่เป็นต้นกำเนิดของสาร์โบเนียม ไอออนในปฏิกิริยาที่ศึกษา คือ ไอโอลีฟินขนาดเล็กที่เป็นสารปนเปื้อนอยู่ในสารตั้งต้น ซึ่งเกิดจากการออกซิเดชันของโพลีเมอร์เมื่อสัมผัสกับอากาศและความร้อน การเกิดการ์โบเนียม โดยตัวแทนงที่เป็นกรดเบรนสเตท แสดงดังสมการที่ (5)



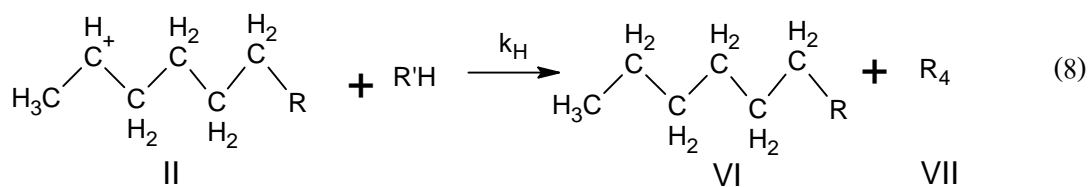
นอกจากนี้ มีการตั้งสมมติฐานว่าการบอนีym ไอ้อนอาจเกิดได้จากการดึงไฮไครเดร์ ไอ้อนออกจากรากตั้งต้นโดยการทำปฏิกิริยา กับ โปรดอนจากตำแหน่งที่เป็นกรดเบรินส์เตฟ พื้นผิวของตัวเร่งปฏิกิริยา ดังแสดงในสมการที่ (6)



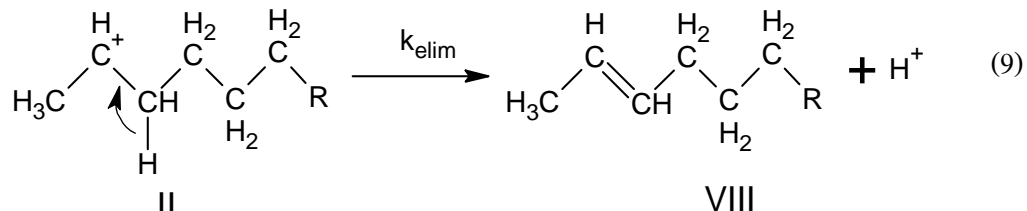
จากสมการที่ (3) คาร์บอนเนียมไอกอน (II) ที่เกิดขึ้น สามารถเกิดปฏิกิริยาต่อไปได้หลายเส้นทาง ได้แก่ เกิด β -scission ดังแสดงในสมการที่ (7) ซึ่งทำให้ได้ออเลฟิน (III) และไอกอนบางที่มีขนาดเล็กลง (IV)



ปฏิกิริยาที่อาจเกิดได้อีกปฏิกิริยาหนึ่ง คือ การส่งผ่านไฮโดรเจนซึ่งทำให้ไฮดர์ไดออกอนถูกดึงออกจากโมเลกุลที่เป็นกลางทางประจุ ทำให้เกิดการโอบเนียมไฮอ่อน (IV) และ โมเลกุลที่เป็นกลางทางประจุ (VII) ตัวใหม่ ดังสมการที่ (8)



สมการนี้ที่ (8) อาจเรียกได้ว่า เป็นปฏิกิริยาลูกโซ่ (Propagation) โดยการส่งผ่านระหว่างสารตัวต้น ในขณะที่สมการที่ (9) จัดว่าเป็นปฏิกิริยาสิ้นสุด (Termination reaction)



ปฏิกิริยาขึ้นนี้ คือการที่การโอบเนียมไฮอ่อนที่อยู่บริเวณพื้นผิวของตัวเร่งปฏิกิริยาลูกกล่องออกมานะ และได้ตำแหน่งที่เป็นกรดเบรนสเตทกลับมาอีกครั้ง ซึ่งก็คือ ปฏิกิริยาขึ้นกลับของขึ้นที่ทำให้เกิดการโอบเนียมไฮอ่อนตามสมการที่ (5) นั่นเองหลังจากสิ้นสุดปฏิกิริยาขึ้นนี้ ปฏิกิริยาแตกสลายจะเกิดอย่างสมบูรณ์และสิ้นสุดปฏิกิริยา

3. การแตกตัวพลาสติกเป็นน้ำมันปิโตรเลียมด้วยกระบวนการแตกตัวด้วยความร้อน

กระบวนการแตกตัวด้วยความร้อน (Pyrolysis) เป็นการทำให้เศษพลาสติกซึ่งเป็นไฮโดรคาร์บอนไม่เกลี่ยกลุ่มใหญ่แตกตัวเด็กลงด้วยความร้อนสูงในที่อับอากาศจนกลายเป็นน้ำมันปิโตรเลียม โดยพอลิเมอร์แต่ละชนิดมีกลไกการแตกตัวที่แตกต่างกัน ซึ่งสามารถแบ่งออกได้เป็น 4 ประเภท (Buekens and Huang, 1998) คือ

3.1 การตัดโซ่ส่วนปลาย (End-Chian Scission) หรือกระบวนการ Depolymerization โพลิเมอร์เกิดการแตกตัวที่ปลาย คือ ไมโนนเมอร์จะหลุดออกจากโซ่โพลิเมอร์ โดยเริ่มหลุดจากตอนปลายของโซ่ออกมาทีละตัว ดังนั้นผลิตภัณฑ์ที่ได้ส่วนใหญ่จะเป็นไมโนนเมอร์

3.2 การตัดโซ่แบบสุ่ม (Random-Chian Scission) โซ่โพลิเมอร์ขาดออกจากกลางไม่เป็นระยะเมื่อยังคงจะเกิดที่โซ่ที่เป็นจุดอ่อน ทำให้แตกตัวได้โซ่ที่มีความยาวแตกต่างกัน

3.3 การต่อสายโซ่ (Chain-Linking) การกำจัดกลุ่มด้านข้างของโซ่โพลิเมอร์

3.4 การต่อแบบเชื่อมโยง (Cross-Linking) เกิดการเชื่อมโยงของโซ่โพลิเมอร์ซึ่งเกิดกับโพลิเมอร์ประเภท Thermosetting เมื่อได้รับความร้อน

สำหรับ Polyethylene และ Polypropylene ซึ่งเป็นพลาสติกหลักที่พบในระบบพลาสติกมีกลไกการแตกตัวแบบ Random-Chain และได้ปริมาณมอนomerน้อยมาก ดังแสดงในตารางที่ 1

ตารางที่ 1 กลไกการแตกตัวของพอลิเมอร์และปริมาณอนอเมอร์ที่ได้

| พอลิเมอร์ | กลไกการแตกตัว | มอนอเมอร์ที่ได้ (%) โดยน้ำหนัก) |
|--------------------------|-------------------------------------|---------------------------------|
| Poly(methyl metacrylate) | End-chain scission | 91-98 |
| Polytetrafluoroethylene | End-chain scission | 95 |
| Polymetacrylonitrile | End-chain scission | 90 |
| Polyethylstyrene | End-chain scission | 82-94 |
| Polystyrene | End-chain and random-chain scission | 42-45 |
| Polyisobutene | End-chain and random-chain scission | 18-25 |
| Polyethylene | Random-chain scission | 0.03 |
| Polypropylene | Random-chain scission | 0-17 |
| Polybutadiene | Random-chain scission | 1 |
| Poly(vinyl chloride) | Chain-stripping | 0-0.07 |
| Poly(vinyl fluoride) | Chain-stripping | 0 |

ที่มา: Buekens and Huang (1998)

4. พลิตภัณฑ์ที่ได้จากการแตกตัวพลาสติกด้วยความร้อน

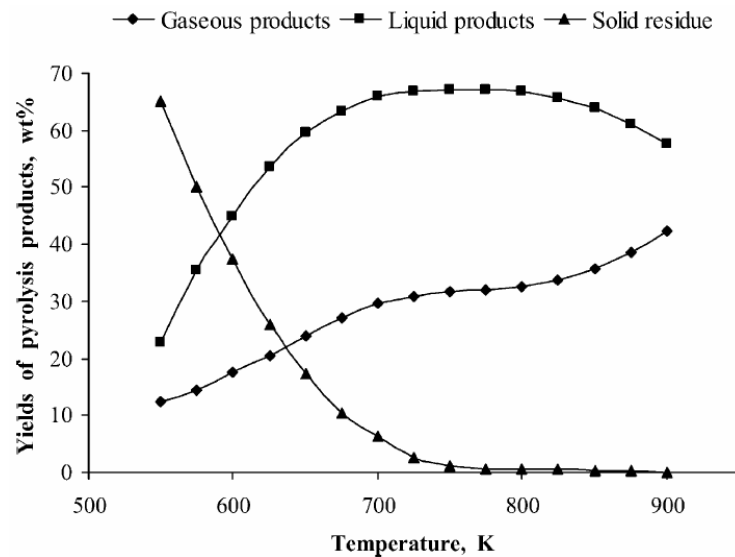
พลิตภัณฑ์ที่ได้จากการแตกตัวพลาสติกด้วยความร้อนแบ่งออกเป็น 3 ประเภท คือ แก๊ส น้ำมัน และของแข็ง ซึ่งพลาสติกแต่ละชนิดก็จะมีการแตกตัวเป็นผลิตภัณฑ์ที่มีสัดส่วนต่างๆ แตกต่างกันออกไป ดังตารางที่ 2

ตารางที่ 2 ผลิตภัณฑ์ที่ได้จากการแตกตัวพลาสติกชนิดต่าง ๆ ด้วยความร้อน

| ชนิดของพลาสติก | อุณหภูมิ (°C) | ผลิตภัณฑ์ (% โดยน้ำหนัก) | | | |
|------------------------------------|------------------|--------------------------|--------|---------|--------------|
| | | แก๊ส | น้ำมัน | ของแข็ง | อื่น ๆ |
| Polyethylene (PE) | 760 | 55.8 | 42.4 | 1.8 | - |
| Polypropylene (PP) | 740 | 49.6 | 48.8 | 1.6 | - |
| Polystyrene (PS) | 580 | 9.9 | 24.6 | 0.6 | 64.9 Styrene |
| Poly(methyl metacrylate) (PMMA) | 450 | 1.25 | 1.4 | 0.15 | 97.2 MMA |
| Poly(vinyl chloride) (PVC) | 740 | 6.8 | 28.1 | 8.8 | 56.3 HCl |

ที่มา: Kaminsky (2004)

นอกจากนี้ยังพบว่าปริมาณของผลิตภัณฑ์แก๊ส น้ำมัน และของแข็งที่ได้จากการแตกตัวของพลาสติกด้วยความร้อนขึ้นอยู่กับอุณหภูมิที่ใช้ในการแตกตัวด้วย ดังแสดงในภาพที่ 3 ซึ่งจะเห็นได้ว่าเมื่ออุณหภูมิสูงขึ้นจาก 500-900 K ผลิตภัณฑ์ที่เป็นแก๊สจะมีปริมาณเพิ่มขึ้น ส่วนผลิตภัณฑ์ที่เป็นน้ำมันจะมีปริมาณเพิ่มขึ้นในช่วงที่อุณหภูมิสูงขึ้นจาก 500-750 K หลังจากนั้นเมื่ออุณหภูมิสูงขึ้นจาก 750-900 K ผลิตภัณฑ์ที่เป็นน้ำมันจะมีปริมาณลดลง และสำหรับผลิตภัณฑ์ที่เป็นของแข็งจะมีปริมาณลดลงเมื่ออุณหภูมิสูงขึ้นและหมดไปในที่สุด



ภาพที่ 3 ผลิตภัณฑ์ที่ได้จากการแตกตัวของพลาสติกด้วยความร้อนที่อุณหภูมิต่างๆ
ที่มา: Demirbas (2004)

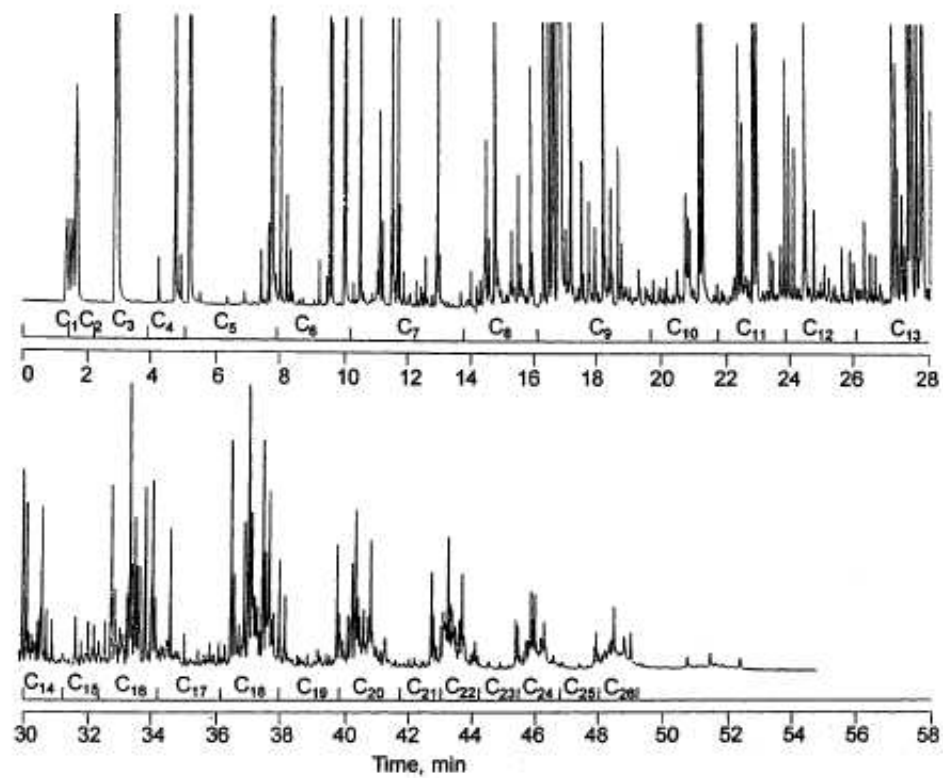
จากการวิเคราะห์ผลิตภัณฑ์ต่างๆ ที่ได้จากการแตกตัวของพลาสติกด้วยความร้อน โดย Paul and Elizabeth, 1999 พบว่า

ผลิตภัณฑ์แก๊ส มักประกอบไปด้วยสารประกอบไฮโดรคาร์บอน ที่มีจำนวนcarbon 1-4 อะตอม ได้แก่ มีเทน อีเทน เอทธิลีน พรอเพน พรอพิลีน บิวเทน และบิวทีน

ผลิตภัณฑ์น้ำมันเหลว มักประกอบไปด้วยสารประกอบไฮโดรคาร์บอน ที่มีจำนวน carbenon 5-12 อะตอม ได้แก่ เบนซิน โทกูอิน ไซลีน พลูออริน ไตรเมทิlobenzin และฟีแนนทรีน

การของแข็ง ประกอบด้วยสารประกอบไฮโดรคาร์บอน ที่มีจำนวนcarbon 18 อะตอมขึ้นไป ได้แก่ ถ่านcarbenon เป็นส่วนใหญ่

นอกจากนี้ยังมีงานศึกษาที่ทำการจำแนกของผลิตภัณฑ์ที่เกิดจากการแตกตัวด้วยความร้อน Polypropylene (PP) ใน Fixed bed reactor ที่อุณหภูมิ 425 °C ซึ่งมีอัตราการเกิดเป็นผลิตภัณฑ์สูงที่สุด (Maximum volatile product evolution temperature) ได้ข้อมูลแสดงในภาพที่ 4 ซึ่งสรุปผลในตารางที่ 3 (Levent และ Rainer, 2001)



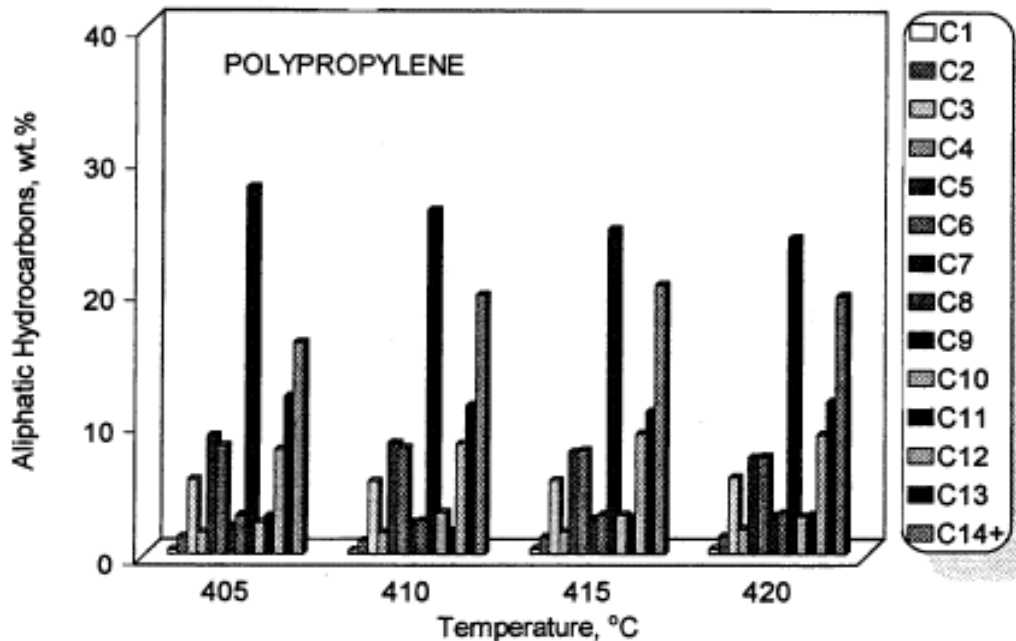
ภาพที่ 4 ข้อมูลจากเครื่อง Gas chromatograms ที่ใช้วิเคราะห์ผลิตภัณฑ์ที่เกิดจากการทำไฟโรไอลซิส พอลิพropilene

ที่มา: Levent and Rainer (2001)

ตารางที่ 3 องค์ประกอบของผลิตภัณฑ์ที่เกิดจากการแตกตัวด้วยความร้อน Polypropylene (PP) ใน Fixed bed reactor ที่อุณหภูมิ 425 °C

| C-Number | Organic compounds |
|----------|--|
| 1 | Methne |
| 2 | Ethane, Ethane |
| 3 | 1-Propene,Propane |
| 4 | Isobutane, 1-Butene, 1,3-Butadiene,Butane Cis-2-Butene |
| 5 | Neopentane, 1,4-Pentadiene, 2-Methyl butane, 1-Pentene, 2-Methyl-1,3-butadiene, Pentane, 2-Methyl-2-btane |
| 6 | 3,3-Dimethyl-1-butene, 1,3-Pentadiene, 4-Methyl-1-Pentene, 2-Methyl pentene, 2-Methyl-1-pentene, 1-Hexene, Hexane |
| 7 | 2,3-Dimethyl-2-butene, 2,4-Hexadiene, 2,4-Dimethyl-1-petene, 2,4-Dimethyl-2-pentene, 3,4-Dimethyl-2-pentene, 3-Methyl hexene, 3,4-Dimethyl-2-pentene, 2,4-Dimethyl-1,3-pentadiene, 1-Heptene |
| 8 | 4-Methyl heptane, 3-Methyl heptane, 2,3-Dimethyl-2-hexene |
| 9 | 4,4,5-Trimethyl-2-hexene, 2-Methyl-4-octene, 2,6-Dimethyl-2,4heptadiene, 2,4-Dimethyl-1-heptene, 2-Methyl-1-octene, 3,3,5-Trimethyl-1,4-hexadiene |
| 10 | 2,7-Dimethyl-1-octene, 2,2-Dimethyl-3-octene |
| 11 | 2,6-Dimethyl nonane |
| 12 | 2,4,6-Trimethyl-1-nonene |

ที่มา: Levent and Rainer (2001)



ภาพที่ 5 เปอร์เซ็นต์โดยมวลขององค์ประกอบของผลิตภัณฑ์ซึ่งแบ่งตามจำนวนคาร์บอนอะตอม ที่เกิดจากการทำไฟฟ้าไอลิชिपอลิพอปลีนที่อุณหภูมิต่าง ๆ

ที่มา: Levent and Rainer (2001)

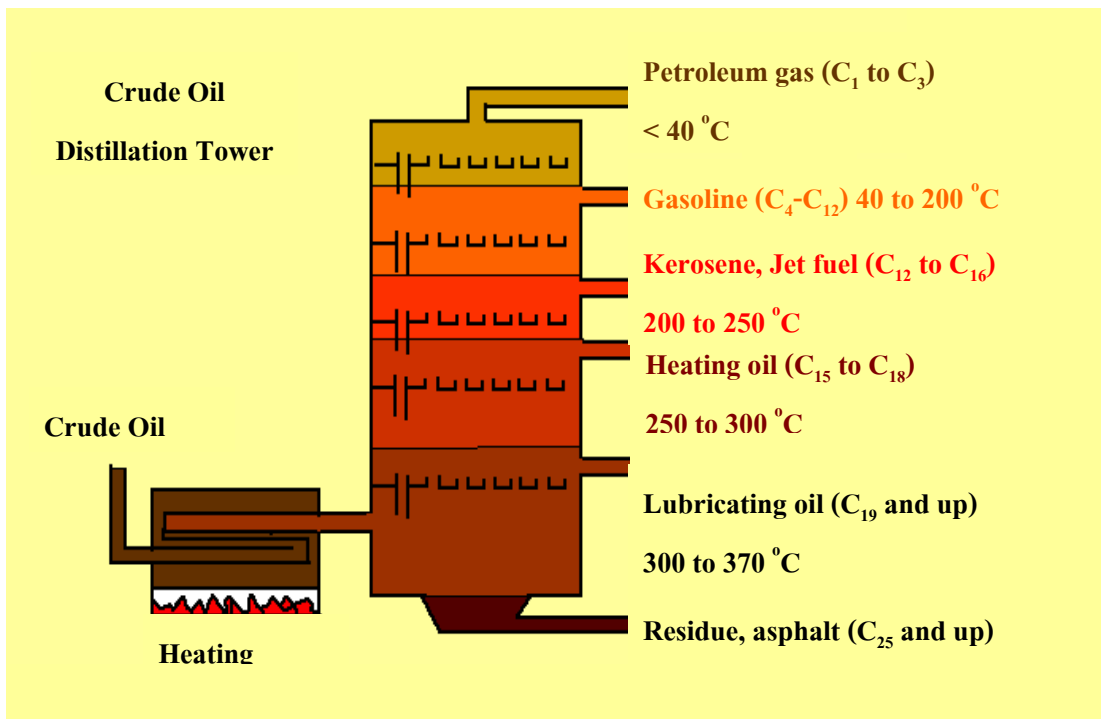
จากภาพที่ 5 แสดงให้เห็นว่าผลิตภัณฑ์ที่เกิดขึ้นมี C₉ เป็นองค์ประกอบในปริมาณมากที่สุด (Major compounds) ซึ่งได้แก่ 2-methyl-4-octene, 2-methyl-2-octene, 2,6-dimethyl-2,4-heptadiene, 2,4-dimethyl-1-heptene, 2-methyl-1-octene

จากการศึกษาเพิ่มเติมพบว่าในการนำผลิตภัณฑ์ของเหลวและแก๊สที่ได้ไปใช้ประโยชน์อาจใช้การกลั่นลำดับส่วน โดยอาศัยความแตกต่างของจุดเดือดมาช่วยในการแยกสารแต่ละชนิดออกจากกัน ตามมาตรฐาน ASTM D 86 Distillation methods (ชัยนรรักษ์, 2548) ซึ่งข้อมูลของจุดเดือดของสารต่าง ๆ และช่วงของอุณหภูมิที่ใช้ในการกลั่นแยกลำดับส่วนเพื่อให้ได้ผลิตภัณฑ์ในแต่ละช่วง แสดงดังตารางที่ 4 และภาพที่ 6 ตามลำดับ

ตารางที่ 4 ข้อมูลจุดเดือด จุดหลอมเหลว และสถานะที่อุณหภูมิ 25°C

| Name | Molecular Formula | Melting Point ($^{\circ}\text{C}$) | Boiling Point ($^{\circ}\text{C}$) | State at 25°C |
|-------------|------------------------------|--------------------------------------|--------------------------------------|-------------------------------|
| methane | CH_4 | -183 | -164 | gas |
| ethane | C_2H_6 | -183 | -89 | gas |
| propane | C_3H_8 | -190 | -42 | gas |
| butane | C_4H_{10} | -138 | -0.5 | gas |
| pentane | C_5H_{12} | -130 | 36 | liquid |
| hexane | C_6H_{14} | -95 | 69 | liquid |
| heptane | C_7H_{16} | -91 | 98 | liquid |
| octane | C_8H_{18} | -57 | 125 | liquid |
| nonane | C_9H_{20} | -51 | 151 | liquid |
| decane | $\text{C}_{10}\text{H}_{22}$ | -30 | 174 | liquid |
| undecane | $\text{C}_{11}\text{H}_{24}$ | -25 | 196 | liquid |
| dodecane | $\text{C}_{12}\text{H}_{26}$ | -10 | 216 | liquid |
| hexadecane | $\text{C}_{16}\text{H}_{34}$ | 18.5 | 287.5 | liquid |
| heptadecane | $\text{C}_{17}\text{H}_{36}$ | 24 | 300 | liquid |

ที่มา: <http://www.elmhurst.edu/~chm/vchembook/501hcboilingpts.html>



ภาพที่ 6 ช่วงของอุณหภูมิที่ใช้ในการกลั่นแยกลำดับส่วน เพื่อให้ได้ผลิตภัณฑ์ในแต่ละช่วงของจำนวนการรับอนุญาต

ที่มา: <http://www.elmhurst.edu/~chm/vchembook/501hcboilingpts.html>

5. เชื้อเพลิงเหลว

เชื้อเพลิงเหลว เป็นเชื้อเพลิงที่นิยมใช้มากในโรงงานอุตสาหกรรม และยานพาหนะ เพราะสะดวกในการใช้ ให้ความร้อนทางเชื้อเพลิงสูง เชื้อเพลิงเหลวที่ใช้ส่วนใหญ่จะได้จากผลิตภัณฑ์การกลั่นน้ำมันปิโตรเลียม เช่น น้ำมันเบนซินหรือน้ำมันก๊าซโซลิน น้ำมันเชื้อเพลิง เครื่องบิน ไอพ่น น้ำมันก๊าด น้ำมันดีเซล และ น้ำมันเตา เป็นต้น (ปฐมทัย, 2537 และ ประเสริฐ, 2544)

5.1 น้ำมันเบนซิน (Gasoline fuels)

น้ำมันเบนซินหรือน้ำมันก๊าซโซลิน เป็นน้ำมันที่ได้จากการปรุงแต่งคุณภาพของผลิตภัณฑ์ที่ได้จากการกลั่นน้ำมันโดยตรง ซึ่งมีช่วงจุดเดือดอยู่ระหว่าง 38-214 °C และมีความหนาแน่นอยู่ในช่วง 0.70 - 0.75 กิโลกรัมต่อลิตร หลังจากนั้นจะทดสอบเพิ่มคุณภาพเพื่อให้เหมาะสม

กับการใช้งานและได้คุณภาพตามข้อกำหนด เช่น สารเพิ่มค่าออกเทน สารเคมีสำหรับป้องกันสนิมรวมทั้งสารเคมีที่ช่วยทำความสะอาดเครื่องยนต์

5.1.1 ค่าออกเทนในน้ำมันเบนซิน

ค่าออกเทนเป็นการวัดคุณภาพการติดไฟของน้ำมันเบนซิน หรือวัดปริมาณความต้านทานการน็อกของเครื่องยนต์ โดยกำหนดให้ Isooctane มีค่าออกเทน เท่ากับ 100 และให้ Normal heptane มีค่าเท่ากับ 0 ในทำการกำหนดอัตราออกเทนของน้ำมันเบนซินชนิดใด ๆ ทำได้โดยการเปรียบเทียบการเผาไหม้ของน้ำมันเบนซินนั้น ๆ กับของผสมที่มี Normal heptane กับ Isooctane เช่นน้ำมันเบนซินชนิดหนึ่งมีค่าอัตราออกเทน 85 หมายความว่าเมื่อมีการเผาไหม้น้ำมันเบนซินนั้น จะมีผลในการเผาไหม้เหมือนส่วนผสมของน้ำมันเบนซิน 15 เปอร์เซ็นต์ กับไอโซออกเทน 85 เปอร์เซ็นต์ น้ำมันเบนซินที่มีค่าอัตราออกเทนสูงหมายความว่าจะใช้กับเครื่องยนต์ที่มีอัตราการอัดสูง

5.2 น้ำมันก๊าด (Kerosene fuels)

น้ำมันก๊าดเป็นน้ำมันเชื้อเพลิงชนิดหนึ่งที่ได้จากการกลั่นปิโตรเลียม การทำอุตสาหกรรมปิโตรเลียมในสมัยก่อนนั้น พลิตภัณฑ์หลักของการกลั่นน้ำมันก็คือ น้ำมันก๊าด เพราะคนส่วนใหญ่นิยมใช้น้ำมันก๊าดไปจุดตะเกียงให้แสงสว่างมากกว่าในปัจจุบัน ในปัจจุบันน้ำมันก๊าดได้นำไปใช้ประโภชนอย่างอื่นอีกมากมาย เช่น ตู้เย็นน้ำมันก๊าด นำไปเป็นส่วนผสมในยาฆ่าแมลง สีน้ำมันน้ำมันชักเจา ส่วนผสมสำหรับน้ำยาทำความสะอาด และอุตสาหกรรมเคมีิก ทางด้านเกษตรได้นำไปใช้กับรถไถ รถแทรกเตอร์ นอกจากนั้นใช้เป็นเชื้อเพลิงในการบ่มใบยาสูบ และอบพืชผลอีกด้วย ที่สำคัญน้ำมันก๊าดถูกนำไปใช้เป็นเชื้อเพลิงสำหรับเครื่องบินในพัด เครื่องบินไฮพ์

จะเห็นได้ว่าคุณสมบัติของน้ำมันก๊าคนั้นขึ้นอยู่กับว่าจะนำไปใช้ประโภชน์ในด้านใด ซึ่งน้ำมันก๊าดที่ดีจะต้องให้ค่าความร้อนสูง ให้แสงสว่างมาก และมีจุดกวนสูง โดยทั่วไปแล้วจะมีช่วงจุดเดือดประมาณ $151-216^{\circ}\text{C}$ ซึ่งมีทั้ง พาราฟิน แफทีน และอะโรมาติกผสมอยู่ในอัตราส่วนต่าง ๆ กัน แล้วแต่ที่มาของน้ำมันดิบ

5.3 น้ำมันเชื้อเพลิงเครื่องบิน (Aviation fuels)

น้ำมันเชื้อเพลิงที่ใช้กับเครื่องบินแบ่งออกตามลักษณะของเครื่องยนต์เป็น 2 ประเภทใหญ่ ๆ คือ

5.3.1 น้ำมันเบนซินเครื่องบินในพัด (Aviation gasoline)

เครื่องยนต์ที่ใช้กับเครื่องบินในพัดมีระบบการทำงานคล้ายกับเครื่องยนต์เบนซิน แต่มีแรงม้าสูงและได้รับการออกแบบให้ทำงานได้ในสภาพที่อุณหภูมิเปลี่ยนแปลงในช่วงกว้าง ซึ่งรวมถึงในระดับสูงที่มีอากาศเย็นจางด้วย ดังนั้นน้ำมันเชื้อเพลิงที่นำมาใช้กับเครื่องในพัดแม้จะมีองค์ประกอบเหมือนกับน้ำมันเบนซินที่ใช้กับรถยนต์ แต่ต้องมีความสะอาดบริสุทธิ์เป็นพิเศษ มีค่าออกเทนสูงกว่า มีจุดไฟต่ำ เพื่อให้เหมาะสมกับการใช้ในสภาพที่ความดันและอุณหภูมิเปลี่ยนแปลงในช่วงกว้างมาก มีช่วงจุดเดือดต่ำกว่าน้ำมันเบนซินทั่วไป โดยอยู่ในช่วง 30-170 °C แต่ในปัจจุบันมีการใช้น้ำมันชนิดนี้น้อย

5.3.2 น้ำมันเชื้อเพลิงสำหรับเครื่องบิน ไอพ่น (Aviation turbine fuel)

เครื่องยนต์ไอพ่นได้รับความนิยมอย่างสูง เพราะมีแรงขับดันมาก บินได้เร็ว มีประสิทธิภาพดี ประหยัด เพราะใช้เชื้อเพลิงราคากลางๆ และหาง่าย ในสมัยแรก ๆ ได้ใช้น้ำมันก้าดที่มีจำหน่ายทั่วไปเป็นน้ำมันเชื้อเพลิง เนื่องจากน้ำมันก้าดมีคุณสมบัติในการระเหยตัวต่ำ อันเป็นคุณสมบัติสำคัญของเชื้อเพลิงสำหรับเครื่องบิน ไอพ่น หรือที่เรียกว่าเครื่องบินเจ็ต ในปัจจุบัน เครื่องบิน ไอพ่นของสายการบินพาณิชย์ส่วนใหญ่ยังนิยมใช้เชื้อเพลิงที่มีช่วงจุดเดือด เช่นเดียวกับน้ำมันก้าด แต่จะต้องมีความสะอาด บริสุทธิ์ และมีคุณสมบัติบางอย่างดีกว่าน้ำมันก้าดทั่วไป ส่วนเครื่องบิน ไอพ่นที่ใช้ในทางทหารนั้น ต้องใช้เชื้อเพลิงที่มีคุณสมบัติต่างกันออกไปเพื่อให้เหมาะสม กับการใช้งาน เพราะเครื่องบินต้องการความเร็วสูง จึงต้องการกำลังขับดันมากน้ำมันเชื้อเพลิง สำหรับเครื่องบิน ไอพ่นที่ใช้ในทางทหารนั้นเป็นเชื้อเพลิงผสมระหว่างน้ำมันก้าด กับ แวนพชา

5.4 น้ำมันดีเซล (Diesel fuels)

น้ำมันดีเซล เป็นผลิตภัณฑ์ชนิดหนึ่งที่ได้จากการกลั่นน้ำมันดิบ จัดว่าเป็นน้ำมันที่มีองค์ประกอบมากที่สุด และมีช่วงจุดเดือดกว้างและสูงกว่าน้ำมันเบนซิน เนื่องจากเครื่องยนต์ดีเซล เป็นเครื่องยนต์ที่มีมูลฐานการทำงานแตกต่างจากเครื่องยนต์เบนซิน การจุดระเบิดของเครื่องยนต์ดีเซลใช้ความร้อนที่เกิดจากการอัดอย่างมากภายในระบบอุกสูบ แล้วฉีดเชื้อเพลิงเข้าไปเพื่อทำการเผาไหม้ ไม่ใช่เป็นการจุดระเบิดจากหัวเทียนเหมือนในเครื่องยนต์เบนซิน เครื่องยนต์ดีเซลในสมัยแรก ๆ นั้นมีขนาดใหญ่โตมาก เพราะต้องการให้ทนกับความร้อนและแรงอัดสูง ๆ ได้ เครื่องยนต์ดีเซลสมัยก่อนก็นำมาใช้เป็นเครื่องต้นกำลัง เช่น ใช้เป็นต้นกำลังในการผลิตกระแสไฟฟ้า โรงงานอุตสาหกรรม และใช้ในเรือ ต่อมาได้มีการพัฒนาสร้างเครื่องยนต์ใหม่มีขนาดเล็กลงแต่มีประสิทธิภาพสูง ดังนั้นจึงต้องมีการปรับปรุงคุณภาพของน้ำมันดีเซลให้เหมาะสมกับเครื่องยนต์ที่ใช้กับงานนั้น ๆ

5.5 น้ำมันเตา (Residual fuels)

น้ำมันเตาจัดว่าเป็นเชื้อเพลิงที่สำคัญที่สุดในอุตสาหกรรม เพราะราคาถูก ใช้ง่าย ให้ความร้อนสูงและไม่มีเชื้อเพลิงสำรอง เนื่องจากน้ำมันเตาเป็นเชื้อเพลิงสำหรับเตาหม้อน้ำและเตาเผา หรือเตาหลอมในโรงงานอุตสาหกรรม เครื่องกำเนิดไฟฟ้าขนาดใหญ่ เครื่องยนต์เรือเดินทางขนาดใหญ่และอื่นๆ ทั้งนี้เนื่องจากน้ำมันเตามีราคาถูกกว่าน้ำมันเชื้อเพลิงอย่างอื่น และให้ความร้อนทางเชื้อเพลิงได้ดี ด้วย น้ำมันเตาจะได้จากส่วนที่หนักที่สุดของการกลั่นน้ำมันดิบเพื่อแยกเป็นเชื้อเพลิง ส่วนนี้จะไม่ระเหยเป็นไอและเหลืออยู่กันหลอกลั่น

น้ำมันเตาที่ใช้มีอยู่หลายชนิด ทั้งนี้ขึ้นอยู่กับความขั้นใสของน้ำมันเตา โดยทั่วไปน้ำมันเตาที่มีคุณภาพสูงจะมีความขั้นใสต่ำกว่า การแบ่งประเภทของน้ำมันเตาแบ่งได้ 3 ประเภท คือน้ำมันเตาชนิดใส ส่วนมากใช้ในการเผาไหม้ให้ความร้อนกับหม้อน้ำขนาดเล็กทั่วไป เพื่อใช้ในการผลิตไอน้ำแล้วนำไปใช้งานต่าง ๆ น้ำมันเตาชนิดปานกลาง ส่วนมากจะใช้เผาให้ความร้อนแก่หม้อน้ำเตาเผาขนาดกลาง หรือขนาดเล็กที่มีอุปกรณ์อุ่นน้ำมัน และ น้ำมันเตาขัน จะนำไปใช้กับเตาเผาขนาดใหญ่ โรงงานอุตสาหกรรม แต่น้ำมันเตาที่ใช้ในเรือเดินสมุทร จะขึ้นมากกว่านี้ ซึ่งสมกันระหว่างน้ำมันดีเซลกับน้ำมันเตา

6. ตัวแปรที่มีอิทธิพลต่อกระบวนการแตกโมเลกุลตัวด้วยความร้อน

กระบวนการแตกโมเลกุลตัวพลาสติกด้วยความร้อนจะทำให้เกิดผลิตภัณฑ์ในปริมาณมาก หรือน้อย สัดส่วนขององค์ประกอบเป็นอย่างไรขึ้นอยู่กับ อุณหภูมิที่ใช้ในการ ไฟโรไอลซิส วิธีการ ให้ความร้อน อัตราการให้ความร้อน เวลาที่สัมผัสปฏิกิริยา ชนิดของเครื่องอุปกรณ์ต่างๆ การเตรียม วัสดุปื้น การใช้สารเร่งปฏิกิริยา ความดัน หรือสารเคมีที่เติมเข้าไปเพื่อประโยชน์อื่นๆ อย่างอื่นอาทิ เป็นตัวทำให้เกิดรีดักชัน ได้แก่ ไฮโดรเจน และคาร์บอนอนออกไซด์ (ไฟคาด , 2543)

7. เครื่องปฏิกรณ์ (Reactor)

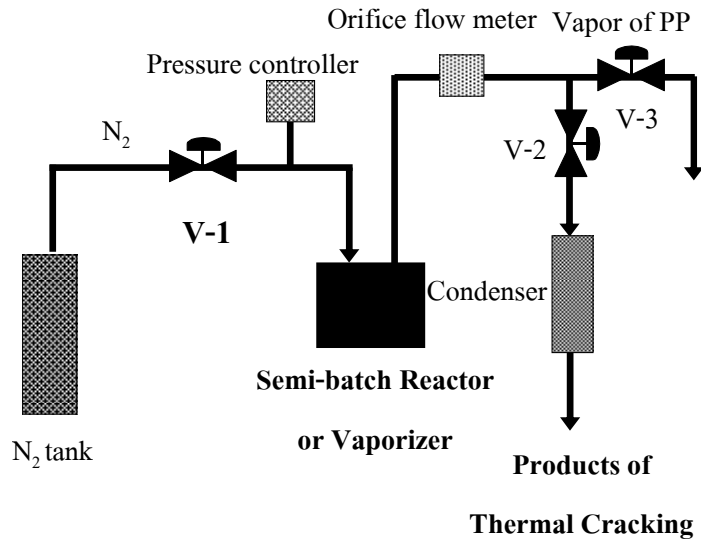
7.1 เครื่องปฏิกรณ์แบบเฉพาะจุด (Batch reactor)

สารตั้งต้นถูกป้อนเข้าสู่ถังปฏิกรณ์พร้อมกัน และทำปฏิกิริยา กัน โดยองค์ประกอบทั้งหมดในถังที่เวลาใด ๆ จะเหมือนกัน หมายความว่าที่มีขนาดเล็ก ใช้ในการผลิตผลิตภัณฑ์ที่มีราคาแพง เช่น ในอุตสาหกรรมยา ข้อดีของเครื่องปฏิกรณ์แบบเฉพาะจุดคือ ให้ Conversion ของปฏิกิริยาสูง แต่มีข้อเสียคือ ค่าใช้จ่ายในการผลิตสูง และไม่เหมาะสมกับการผลิตในปริมาณมาก ๆ (Levenspiel, 1999)

7.2 เครื่องปฏิกรณ์แบบกึ่งเฉพาะจุด (Semibatch reactor)

เริ่มแรกสารตั้งต้นถูกป้อนเข้าสู่ถังปฏิกรณ์พร้อมกันและทำปฏิกิริยา กัน เช่นเดียวกับ เครื่องปฏิกรณ์แบบเฉพาะจุด แต่เครื่องปฏิกรณ์ประเภทนี้จะมีการป้อนสารตั้งต้นเพิ่มเข้าไปหรือมีการเติมสารผลิตภัณฑ์บางส่วนออกในระหว่างการทำงาน ข้อดีของเครื่องปฏิกรณ์แบบนี้คือ สามารถควบคุมอุณหภูมิได้ดีกว่าเครื่องปฏิกรณ์แบบเฉพาะจุด (Levenspiel, 1999)

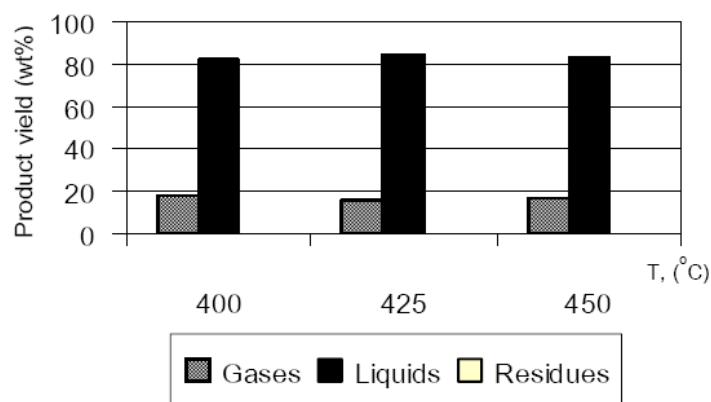
จากภาพที่ 7 จากการศึกษาการแตกโมเลกุลของพลาสติกพอลิpropilin โดยใช้ความร้อนในที่อันอากาศ



ภาพที่ 7 เครื่องปฏิกรณ์แบบกึ่งเฉพาะจุดที่ใช้ศักยภาพของผลิตภัณฑ์ของปฏิกิริยาการแตกโมเลกุลของพลาสติกพอลิพรอพิลีนโดยใช้ความร้อนในที่อับอากาศ

ที่มา: ชัยนรักษ์ (2548)

โดยการนำพอลิพรอพิลีนมาทำการสลายตัวในปฏิกรณ์แบบกึ่งเฉพาะจุดที่มีขนาด 1.0 dm^3 ที่ความดันบรรยายกาศ ในช่วงอุณหภูมิ $400 - 450^\circ\text{C}$ โดยการทดลองในแต่ละครั้งใช้พอลิพรอพิลีนจำนวน 50 g จากผลการทดลองพบว่า จะได้ผลิตภัณฑ์ที่เป็นของเหลวมากถึง $81-85 \text{ wt\%}$ ดังภาพที่ 8



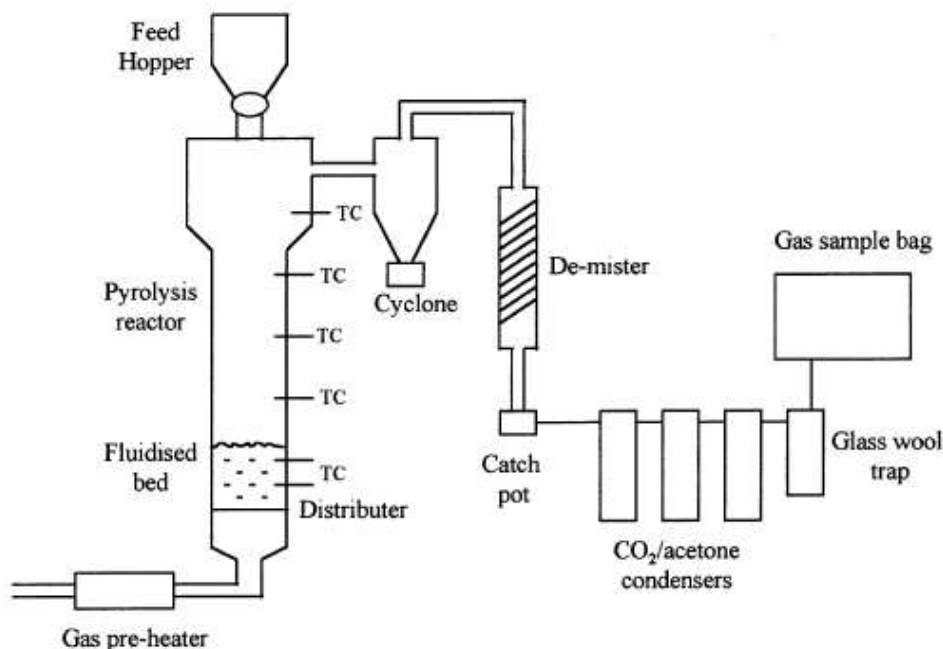
ภาพที่ 8 สัดส่วนของผลิตภัณฑ์ที่เกิดขึ้นจากการแตกโมเลกุลของพลาสติกพอลิพรอพิลีนโดยใช้ความร้อนในที่อับอากาศ ในปฏิกรณ์แบบกึ่งเฉพาะจุด (หมายเหตุ: Residues Product มีปริมาณน้อยมาก)

ที่มา: ชัยนรักษ์ (2548)

7.3 ปฏิกรณ์แบบฟลูอิไดซ์เบด (Fluidized bed reactor)

จากการศึกษาที่ผ่านมา (Grace et al, 1997) พบว่าปฏิกรณ์ฟลูอิไดซ์เบดเป็นปฏิกรณ์ที่ช่วยให้เกิดการถ่ายเทความร้อนและการถ่ายเทมวลได้ดี เกิดการสัมผัสน้ำแข็งได้เร็วห่วงแก๊สกับอนุภาค มีระยะเวลาการสัมผัส (Residence time) สั้น ใช้งานได้ดีกับระบบที่ต้องใช้ความร้อนสูง

ภาพที่ 9 และตารางที่ 5 เป็นศึกษาการแตกตัวพลาสติกประเภท Polyethylene ชนิดความหนาแน่นต่ำ (Low Density Polyethylene, LDPE) ด้วยความร้อนในปฏิกรณ์ฟลูอิไดซ์เบด ซึ่งมีขนาดเส้นผ่านศูนย์กลาง 10 cm สูง 70 cm เพื่อผลิตเป็นสารป้อนในอุตสาหกรรมปีโตรเคมีซึ่งสามารถนำกลับไปผลิตพลาสติกหรือกลั่นเป็นน้ำมันเชื้อเพลิง โดยภายในปฏิกรณ์บรรจุทรายขนาด 250 ไมครอน เม็ดพลาสติกที่ใช้มีขนาดของเส้นผ่านศูนย์กลางประมาณ 2-3 mm ใช้แก๊สไนโตรเจนเป็นตัวแลกเปลี่ยนความร้อน ส่วนอุณหภูมิที่ใช้ในการแตกตัวอยู่ระหว่าง 500-700 °C และจากผลการทดลองพบว่าผลิตภัณฑ์แก๊สที่ได้จะมีปริมาณเพิ่มขึ้นเมื่ออุณหภูมิสูงขึ้น



ภาพที่ 9 ปฏิกรณ์ฟลูอิไดซ์เบดที่ใช้ในการแตกตัวพลาสติกด้วยความร้อน

ที่มา: Paul (1999)

ตารางที่ 5 ร้อยละของผลได้ของผลิตภัณฑ์จากการบวนการแตกตัว LDPE ด้วยความร้อนในปฎิกรณ์ฟลูอิไดซ์เบดที่อุณหภูมิ 500-700 °ช (wt.%)

| Product | Temperature (°ช) | | | | |
|---------|------------------|------|------|------|------|
| | 500 | 550 | 600 | 650 | 700 |
| Gas | 10.8 | 21.4 | 24.2 | 40.1 | 71.4 |
| Oil | 43.9 | 43.2 | 51.0 | 47.8 | 24.6 |
| Wax | 45.3 | 35.4 | 24.8 | 12.1 | 4.0 |
| Oil+Wax | 89.2 | 78.6 | 75.8 | 59.9 | 28.6 |

ที่มา: Paul T. Williams (1999)

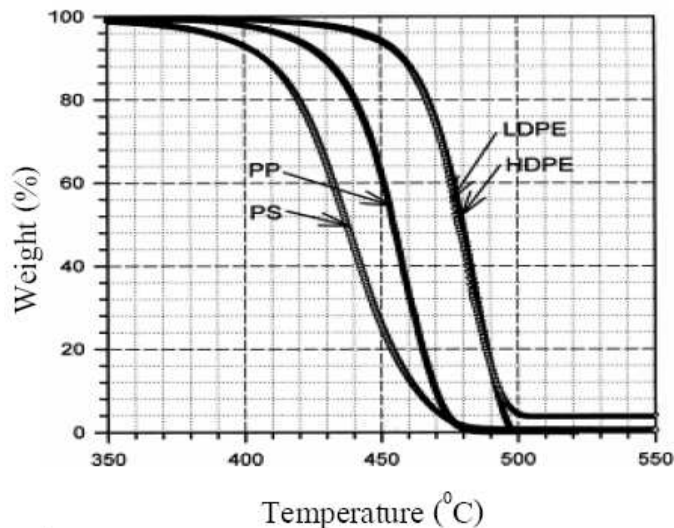
8. การวิเคราะห์แบบเทอร์โมกราวิเมทริก

การวิเคราะห์แบบเทอร์โมกราวิเมทริก (Thermogravimetric analysis, TGA) (Campbell and wite, 1989) มาจากของสารตัวอย่างจะถูกวิเคราะห์อย่างต่อเนื่องขณะที่อุณหภูมิเพิ่มขึ้นด้วยอัตราคงที่ นำหนักของสารตัวอย่างที่หายไปเกิดจากสารที่ระเหยได้ที่อยู่ในพอลิเมอร์ถูกไล่ออกไป และที่อุณหภูมิสูงเมื่อการแตกตัวของพอลิเมอร์ทำให้เกิดผลภัณฑ์ที่ระเหยได้ การออกแบบเครื่องมือนั้นต้องการความละเอียดสูง ไม่เพียง เพราะว่า นำหนักของสารที่หายไปในปริมาณที่น้อยมาก ยังต้องการความแม่นยำในการวัด เนื่องจากต้องการหลีกเลี่ยงการพาความร้อน (convective force) ที่เกิดขึ้นภายในภาชนะที่ร้อน และเนื่องจากการเปลี่ยนแปลงความหนาแน่นของแก๊สที่ล้อมรอบอีกด้วย ซึ่งมีความสำคัญที่จะมั่นใจว่าสารที่ระเหยไปนั้นจะไม่ควบแน่นกลับไปบนเครื่องชั่งอีก

เครื่องนี้สามารถทำการวัดได้ทั้งการวิเคราะห์แบบเทอร์โมกราวิเมทริก และเทอร์มอโลดิฟเพอเรเติขล (Differential thermal analysis, DTA) ในเวลาเดียวกัน โดยให้ข้อมูลที่ครอบคลุมในการทดสอบเพียงครั้งเดียว นอกเหนือไปจากนี้ยังสามารถใช้ร่วมกับเครื่องมืออื่นๆ เช่น การใช้การวิเคราะห์แบบเทอร์โมกราวิเมทริก ร่วมกับแมสสเปกโตรสโคป

8.1 การวิเคราะห์การแตกโมเลกุลพลาสติกโดยใช้เทคนิคเทอร์โมกราวิเมทริก

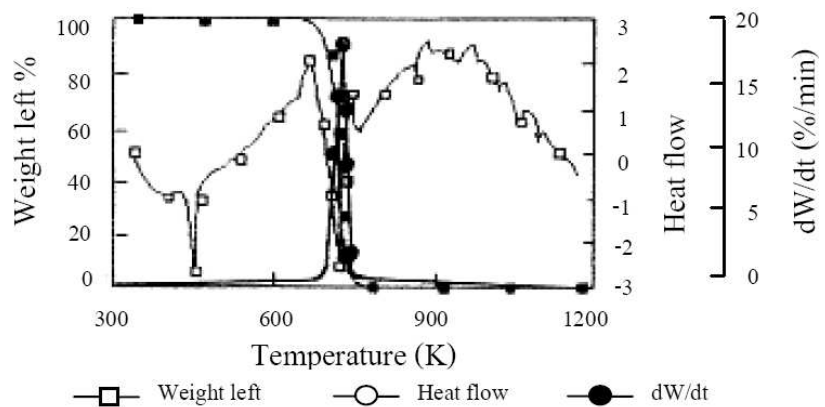
การวิเคราะห์แบบเทอร์โมกราวิเมทริก ถูกใช้อีกครั้งหนึ่งในการศึกษาการแตกโมเลกุลโดยใช้ความร้อนของพลาสติก และจากการแตกโมเลกุลโดยใช้ความร้อนซึ่งใช้การวิเคราะห์ปริมาณความร้อนในช่วงอุณหภูมิ 350 ถึง 500 $^{\circ}\text{C}$ (Lee et al., 2002) ดังแสดงในภาพที่ 10 พบว่าบนน้ำหนักที่หายไป (50%) ของพลาสติกชนิดต่าง ๆ ซึ่งพอลิสไตรีนเกิดที่ประมาณ 440 $^{\circ}\text{C}$ พอลิพรอพิลีนเกิดที่ประมาณ 455 $^{\circ}\text{C}$ ส่วนพอลิเอธิลีนความหนาแน่นสูง และพอลิเอธิลีนความหนาแน่นต่ำเกิดที่ประมาณ 480 $^{\circ}\text{C}$ แสดงว่าอุณหภูมิการแตกโมเลกุลของพลาสติกชนิดต่าง ๆ เรียงตามลำดับได้ดังนี้ $\text{PS} < \text{PP} < \text{LDPE}$ และ HDPE



ภาพที่ 10 การหายไปของน้ำหนักพลาสติกที่อัตราการให้ความร้อน 10 $^{\circ}\text{C}$ ต่อนาที

ที่มา: Lee et al. (2002)

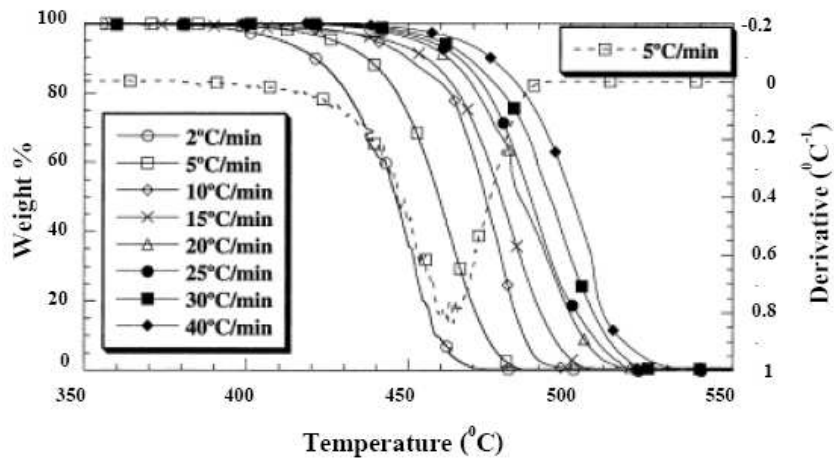
การศึกษาจนพลาสติกของการแตกโมเลกุลด้วยความร้อนของพอลิพรอพิลีนโดยใช้การวิเคราะห์แบบเทอร์โมกราวิเมทริก พบว่าการแตกโมเลกุลของพอลิพรอพิลีนจะเกิดขึ้นในขั้นตอนเดียวกับจากน้ำหนักที่หายไปของสาร ส่วน 2 พีคที่เกิดขึ้นในเส้นกราฟของการไหลของความร้อน (Heat flow) ซึ่งเกี่ยวข้องกับปฏิกิริยาดูดความร้อน พีคแรกจะแสดงถึงจุดหลอมเหลวของพอลิพรอพิลีน ส่วนพีคที่สองจะแสดงถึงปฏิกิริยาการแตกโมเลกุลขณะที่เส้นกราฟแสดงอัตราการหายไปของน้ำหนักจะแสดงอุณหภูมิที่เริ่มเกิดปฏิกิริยาและสิ้นสุดปฏิกิริยาร่วมถึงอัตราการเกิดปฏิกิริยาสูงสุดอีกด้วย ดังแสดงในภาพที่ 11 (Gersten et al., 2000)



ภาพที่ 11 น้ำหนักที่หายไป การไฟลของความร้อน และอัตราการหายไปของน้ำหนักของการแตกโมเลกุลพอลิพรอพิลีน (อัตราการเพิ่มอุณหภูมิ 5 เคลวินต่อนาที)

ที่มา: Gersten *et al* (2000)

น้ำหนักของพอลิพรอพิลีนที่เหลือเกือบจะคงที่ที่อุณหภูมิต่ำกว่า 613-644 เคลวิน (อุณหภูมิจิงบี้น้อยกว่าอัตราการให้ความร้อน) และที่อุณหภูมิสูงกว่าอุณหภูมนี้น้ำหนักจะเริ่มลดลง และลดลงอย่างรวดเร็วที่อุณหภูมิสูงกว่า 673 เคลวิน จนถึงอุณหภูมิ 753-768 เคลวิน (ช่วงอุณหภูมนี้ยังเป็นฟังก์ชันของอัตราการให้ความร้อนอิกด้วย) น้ำหนักที่เหลืออยู่ที่ 773 เคลวินประมาณ 0.2 เปอร์เซนต์ ถ้าอัตราการให้ความร้อนเพิ่มขึ้น เส้นกราฟจะขยับไปทางด้านขวา ด้วยอุณหภูมิการแตกโมเลกุลสูงที่สุด (T_m) และอัตราการเปลี่ยนแปลงน้ำหนักสูงสุดเพิ่มขึ้น ต่อมาได้มีการทดสอบพฤติกรรมการหายไปของน้ำหนักของพอลิพรอพิลีนที่ใช้แล้วที่อัตราการให้ความร้อนต่างๆ (Navarro *et al.*, 2003) ซึ่งผลการทดลองได้ถูกนำเสนอในภาพของเปอร์เซนต์น้ำหนักที่หายไป เช่นเดียวกันกับอัตราการเปลี่ยนแปลงที่เป็นฟังก์ชันของอุณหภูมิ เป็นที่คาดว่าเส้นกราฟการแตกโมเลกุลมีแนวโน้มเพิ่มขึ้นไปที่อุณหภูมิสูงกว่า และที่อัตราการให้ความร้อนที่สูงกว่า แม้ว่ารูปร่างของกราฟค่อนข้างจะคล้ายกัน และการที่ไม่มีภาคของแข็งที่เหลือตอนสิ้นสุดกระบวนการทดลองแสดงว่าการแตกโมเลกุลโดยใช้ความร้อนของพอลิพรอพิลีนที่ใช้แล้วจะเกิดปฏิกิริยาขั้นตอนเดียว ซึ่งเห็นได้จากพีคที่มีอยู่พีคเดียว ดังแสดงในภาพที่ 12



ภาพที่ 12 การแตกโไมเลกุลด้วยความร้อนที่อุณหภูมิเพิ่มขึ้นของพอลิพรอพิลีนที่ใช้แล้วที่อัตราการให้ความร้อนต่าง ๆ

ที่มา: Navarro *et al.* (2003)

9. ฟลูอิไดเซชัน (Fluidization)

เป็นกระบวนการที่มีของไหล่ไหล่เข้าทางด้านล่างของคอลัมน์หรือท่อที่มีชั้นของอนุภาคหรือเม็ดของแป้งบรรจุอยู่ เพื่อทำให้ออนุภาคของแป้งเคลื่อนที่แบบอิสระ(Warren, 2001)

9.1 ความเร็วต่ำสุดของการทำให้เกิดฟลูอิไดเซชัน (Minimum Fluidization Velocity \bar{V}_{0M})

การหาความเร็วต่ำสุดที่ทำให้ออนุภาคเริ่มเกิดฟลูอิไดเซชัน หาโดยใช้หลักการที่ว่าความดันลด (Pressure drop) ที่เกิดขึ้นระหว่างชั้นของแป้ง (Bed) มีค่าเท่ากับ น้ำหนักของ Bed ต่อพื้นที่หน้าตัดของคอลัมน์ จะได้สมการทั่วไปเพื่อคำนวนหา \bar{V}_{0M} ดังนี้

$$\frac{150\mu\bar{V}_{0M}}{\Phi_s^2 D_p^2} \frac{(1-\varepsilon_M)}{\varepsilon_M^3} + \frac{1.75\rho\bar{V}_{0M}^2}{\Phi_s D_p} \frac{1}{\varepsilon_M^3} = g(\rho_p - \rho) \quad (10)$$

สมการนี้อาจครุปเป็นสมการสำหรับใช้ในกรณีพิเศษต่าง ๆ ดังนี้

1. กรณีที่อนุภาคมีขนาดเล็ก ซึ่ง $Re_p < 1.0$ การไหลจะเป็นแบบราบเรียบ (Laminar flow)

$$\bar{V}_{0M} \approx \frac{g(\rho_p - \rho)}{150\mu} \frac{\varepsilon_M^3}{1 - \varepsilon_M} \Phi_s^2 D_p^2 \quad (11)$$

2. กรณีที่อนุภาคมีขนาดใหญ่ ซึ่ง $Re_p > 10^3$

$$\bar{V}_{0M} \approx \left[\frac{\Phi_s D_p g (\rho_p - \rho) \varepsilon_M^3}{1.75 \rho} \right]^{1/2} \quad (12)$$

Φ_s = ภาวะทรงกลม (Sphericity) มีค่าเท่ากับ 1 สำหรับทรงกลม

D_p = เส้นผ่านศูนย์กลางของอนุภาคของแข็ง (Particle size)

ρ_p = ความหนาแน่นของอนุภาคของแข็ง (Density of particle)

ρ = ความหนาแน่นของ流體 (Density of fluid)

ε_M = เศษส่วนช่องว่างที่ต่ำที่สุดสำหรับการเกิดฟลูอิไดเซชัน (Minimum porosity for Fluidization)

โดยทั่วไปสำหรับอนุภาคทรงกลมจะมีค่าประมาณ 0.40 - 0.45

อุปกรณ์และวิธีการ

อุปกรณ์

1. ปฏิกิริยาน้ำฟลูอิไดซ์เบด
2. อุปกรณ์วัดอัตราการไหลของก๊าซ
3. อุปกรณ์วัดอุณหภูมิ
4. ชุดทำความสะอาดร้อน
5. ชุดควบคุมแม่นผลิตภัณฑ์
6. ชุดเก็บผลิตภัณฑ์
7. ปฏิกิริยานแบบกึ่งเคมีทาง化
8. เครื่อง simultaneous DSC-TGA analyzer
9. เครื่องกลั่นน้ำมันปิโตรเลียม

สารเคมี

1. เม็ดพลาสติกชนิดโพลิพอลีน บริษัท ทีพีไอ พอลีน จำกัด (มหาชน)
2. แก๊สไนโตรเจน (N_2) IND. บริษัท ไทยอินดัสเตรียลแก๊ส จำกัด (มหาชน)

วิธีการทดลอง

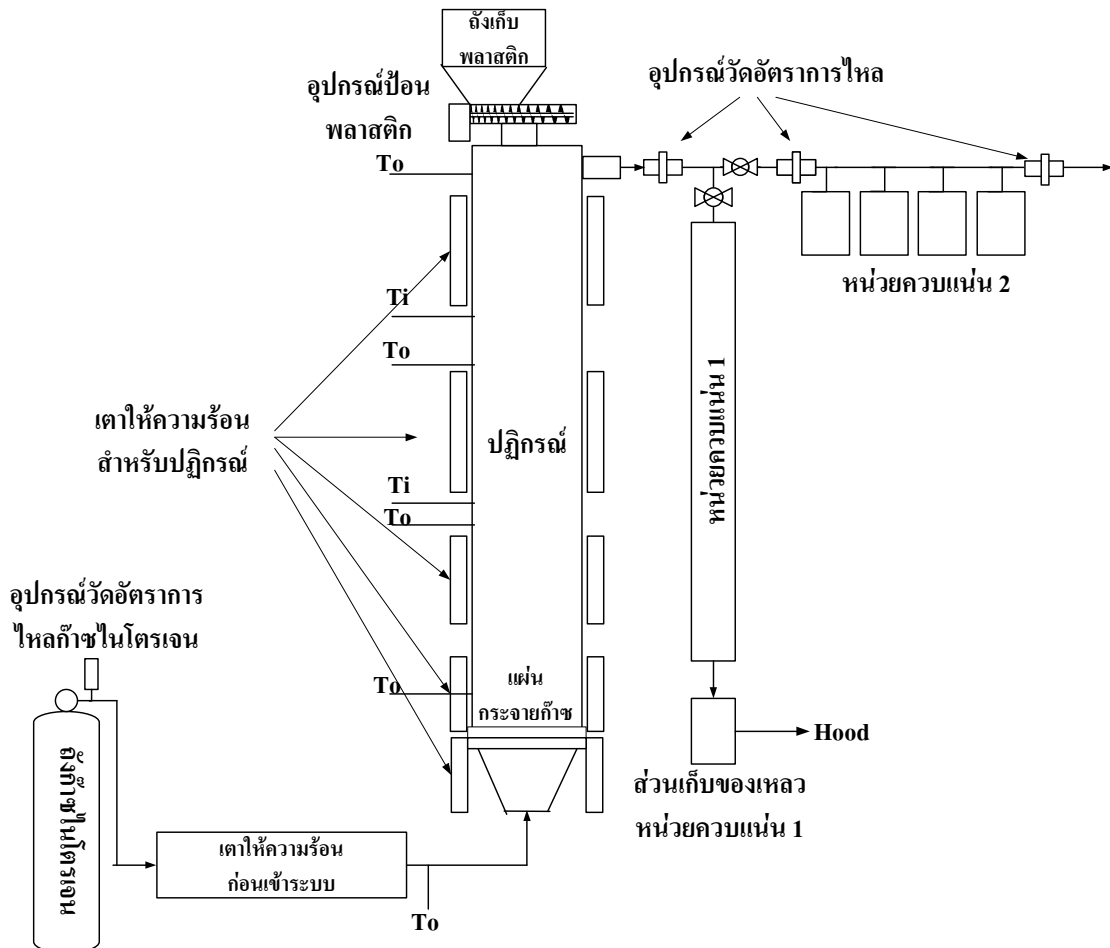
1. ระบบที่ใช้ในกระบวนการไฟโรไลซิส

ระบบการแตกสลายพลาสติกที่ใช้ในงานวิจัยนี้แสดงดังภาพที่ 13 ซึ่งประกอบไปด้วย ปฏิกิริยาน้ำฟลูอิไดซ์เบด โดยมีการป้อนไนโตรเจนจากถังก๊าซเข้าสู่หน่วยให้ความร้อนก่อนเข้าระบบ (Preheater) ซึ่งจากการออกแบบจะทำให้ก๊าซป้อนที่มีอุณหภูมิห้องร้อนขึ้นได้ถึง 600°C ก๊าซที่ป้อนเข้าจะผ่านไปยังแผ่นกระจาดก๊าซเพื่อเข้าสู่ฟลูอิไดซ์เบด รอบๆ ฟลูอิไดซ์เบดจะมีเตาให้ความร้อนจำนวน 5 ตัวประบูอยู่ เพื่อทำให้ก๊าซภายในปฏิกิริยาร้อน บริเวณหน้าอปฎิกิริยานจะมีสกรูป้อนพลาสติก บริเวณระหว่างสกรูป้อนพลาสติกและปฏิกิริยานจะมีนาหล่อเย็นเพื่อป้องกันไม่ให้ความร้อนจากด้านบนของปฏิกิริยานไปทำให้พลาสติกในสกรูป้อนหลอมเหลวติดกับตัวสกรู ก๊าซร้อนที่

ออกแบบปั๊กรณ์ มีการวัดอัตราการไหลซึ่งติดตั้งอุปกรณ์วัดอัตราการไหล ไว้ 3 ตำแหน่งด้วยกันคือ ตำแหน่งที่ก้าชร้อนออกแบบปั๊กรณ์ก่อนเข้าหน่วยความแน่นที่ 1 และตำแหน่งที่ก้าชร้อนเข้าหน่วยความแน่นที่ 2 และตำแหน่งที่ก้าชออกแบบหน่วยความแน่นเดิม

1.1 เครื่องปั๊กรณ์ที่ใช้ในกระบวนการไฟโรไอลซิส

เครื่องปั๊กรณ์ที่ใช้ในกระบวนการไฟโรไอลซิสเพื่อใช้ในการแยกสลายด้วยความร้อนทำหน้าที่ให้ความร้อนกับพอลิพรอพิลีน ภายใต้สภาวะปราศจากอากาศเพื่อให้โครงสร้างของพอลิพรอพิลีนแตกสลายกลายเป็นสารไฮโดรคาร์บอนที่มีโมเลกุลสั้นลงและมักอยู่ในรูปของไอไฮโดรคาร์บอน อุปกรณ์นี้มีลักษณะเป็นทรงกระบอกทำด้วยเหล็กกล้าไร้สนิม 306 ขนาดเส้นผ่าศูนย์กลาง 6.72 เซนติเมตร และมีความสูง 150 เซนติเมตร ด้านล่างของปั๊กรณ์มีแผ่นกระจายก้าชเพื่อป้องก้าชเข้าสู่ปั๊กรณ์ในปั๊กรณ์จะบรรจุด้วยทราย 2 ขนาดเดียวแต่สภาวะการทดลองคือขนาด 120-150 ไมครอน และ 300-350 ไมครอน จำนวน 0.5 กิโลกรัม ดูจากแผ่นกระจายก้าช 7.5 เซนติเมตร เพื่อใช้เป็นตัวช่วยแยกเปลี่ยนความร้อน การให้ความร้อนจะทำการยกนอกด้วยเตาให้ความร้อนที่หุ้มทรงกระบอกโดยรอบ การวัดอุณหภูมิในเครื่องปั๊กรณ์ใช้เทอร์โมคัปเปิลชนิด K ตลอดแนวความสูงของปั๊กรณ์ และสัญญาณจะถูกส่งไปยังเครื่องควบคุมอุณหภูมิแบบ PID ที่ติดตั้งไว้แต่ละจุดของปั๊กรณ์เพื่อควบคุมให้ได้อุณหภูมิตามต้องการ



ภาพที่ 13 ระบบไฟฟ้าไรซีฟ

1.2 การออกแบบระบบให้ความร้อน

ระบบการให้ความร้อนในงานวิจัยนี้ ได้ทำการออกแบบเตาให้ความร้อนโดยใช้ คอนกรีตทนไฟเป็นผนังเตาที่สามารถทนไฟได้ถึง $1,700^{\circ}\text{C}$ เทลงในแบบหล่อปูน จำนวนนี้ได้ลวดให้ความร้อนไว้ภายในช่องที่ได้หล่อไว้ ปฏิกิริย์ที่ใช้ในการทดลองนี้มีการใช้เตาให้ความร้อนจำนวน 5 ชุด แต่ละชุดควบคุมความร้อนในเตาต่อแบบบานานและมีการควบคุมอุณหภูมิของเตาทุกด้วย เพื่อให้อุณหภูมิภายในปฏิกิริย์ตามที่ต้องการตลอดความสูงของปฏิกิริย์

ในการออกแบบระบบให้ความร้อนโดยใช้ลวดนิกโรม จำนวนวัตต์ของลวดที่ใช้ต้อง สัมพันธ์กับ ปริมาณความร้อนที่ใช้ในการแตกตัวของพอลิพรอพิลีน ที่สามารถการวิเคราะห์โดยใช้

เครื่อง simultaneous DSC-TGA analyzer จะพบว่าอุณหภูมิที่ใช้ไม่ควรต่ำกว่า 500°C (จะแสดงในบทผลการทดลอง) ดังนั้นการออกแบบเตาในที่นี้สามารถเพิ่มให้ก้าซมีอุณหภูมิมากถึง 500°C ได้ สมการที่ใช้คำนวณหาจำนวนวัตต์ของความนิโครมแสดงในสมการที่ 1

$$Q = (\dot{m} C_p \Delta T)_{N_2} + (\dot{m} c_p \Delta T)_{pp} + \Delta H_{pp} \quad (1)$$

โดยที่ \dot{Q} คือ ปริมาณความร้อนที่ให้เตาเพื่อเพิ่มอุณหภูมิของก้าชร้อนให้ร้อนขึ้น (J/s)

\dot{m} คือ อัตราการไหลด (kg/s)

c_p คือ ความจุความร้อนจำเพาะ (kJ/kgK)

ΔT คือ อุณหภูมิที่แตกต่างของสารที่เข้าและออกจากปฏิกรัณ ($^{\circ}\text{C}$)

ΔH_{pp} คือ Heat of pyrolysis ของพอลิพropolien ที่ 473.43°C มีค่าเท่ากับ 601.7 J/g (180.51 MJ/mol)

สำหรับแก๊สในโทรเจนจากข้อมูลการคำนวณหาค่าอัตราการป้อนแก๊สในโทรเจนที่ใช้พอยเม็คทรายและเม็คพลาสติกซึ่งมีค่าเท่ากับ 13.41 g/s , $c_p = 1.088 \text{ J/g} \cdot ^{\circ}\text{C}$ และ $\Delta T = 473.43 - 30 = 443.43^{\circ}\text{C}$ จะได้ $\dot{Q} = 6.47 \text{ kJ/s}$

ส่วนอัตราการป้อนเม็คพลาสติกพอลิพropolien มีค่าเท่ากับ 2 kg/min , $c_p = 1.6 \text{ J/g} \cdot ^{\circ}\text{C}$ และ $\Delta T = 473.43 - 30 = 443.43^{\circ}\text{C}$ ดังนั้นจะได้ $\dot{Q} = 1.18 \text{ kJ/s}$

Heat of pyrolysis ของพอลิพropolien ที่ 473.43°C มีค่าเท่ากับ 601.7 J/g (180.51 MJ/mol) จะได้ $\dot{Q} = 1.00 \text{ kJ/s}$

ในงานวิจัยนี้ ปริมาณความร้อนที่ทำให้ในโทรเจนร้อนขึ้นคำนวณได้จากการที่ 1 ซึ่งเป็นก้าชป้อนเข้าไปเพื่อทำให้ก้าชในโทรเจนร้อนขึ้น โดยมีอุณหภูมิเท่ากับอุณหภูมิในการทำปฏิกิริยาพบว่าต้องใช้ลวดที่มีกำลัง 8.65 กิโลวัตต์ แต่เมื่อพิจารณาระบบจริงซึ่งต้องมีพลังงานความร้อนที่สูญเสียไปและเพื่อทำให้พลาสติกร้อนขึ้นพร้อมทั้งความร้อนเพื่อทำปฏิกิริยาจึงได้เพิ่มกำลังความร้อนเป็น 10 กิโลวัตต์ โดยมีการใช้เตาทั้งหมด 5 ชุด ชุดละ 2 กิโลวัตต์ และทำการทดสอบอุณหภูมิเพื่อให้ได้อุณหภูมิดังต้องการ

1.3 การออกแบบระบบความแ่น

ระบบความแ่นที่ใช้ในงานวิจัยนี้แบ่งออกเป็น 2 ส่วนด้วยกันคือ หน่วยความแ่นใหญ่ และหน่วยความแ่นเล็ก การเก็บผลิตภัณฑ์ของเหลวเพื่อนำไปวิเคราะห์ห้องค์ประกอบจะเก็บจากหน่วยความแ่นเล็ก ส่วนหน่วยความแ่นใหญ่จะใช้เป็นหน่วยหลักในการเก็บน้ำมันปิโตรเลียมที่ได้จากการแตกตัวของพอลิพรอพิลีนเพื่อนำไปใช้งาน โดยในหน่วยความแ่นใหญ่นี้ต้องทำการคำนวณปริมาณน้ำหล่อเย็นเพื่อให้เกิดการความแ่นสมบูรณ์ ซึ่งข้อมูลการหาปริมาณน้ำหล่อเย็นแสดงในสมการที่ 2 ในที่นี้จะไม่คำนึงถึงปริมาณก๊าซผลิตภัณฑ์ที่เกิดขึ้น

พลังงานความร้อนที่ก๊าซภายในต่อหน่วยความร้อน = พลังงานความร้อนที่นำหล่อเย็นได้รับ

$$\dot{m}_1 c_{p1} \Delta T_1 = \dot{m}_2 c_{p2} \Delta T_2 \quad (2)$$

โดยที่ \dot{m}_1 คือ อัตราการไหลของไนโตรเจนในปฏิกิริย (kg/s)

c_{p1} คือ ความจุความร้อนจำเพาะของไนโตรเจน (kJ/kgK)

ΔT_1 คือ อุณหภูมิที่แตกต่างของไนโตรเจนที่เข้าและออกจากเครื่องความแ่น

\dot{m}_2 คือ อัตราการไหลของน้ำหล่อเย็น (kg/s)

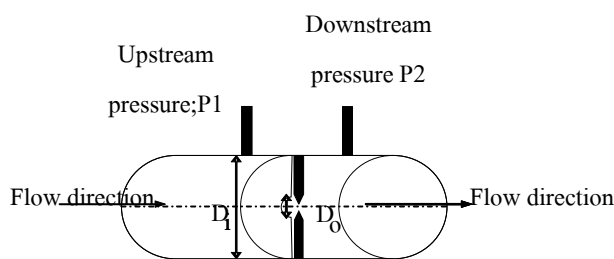
c_{p2} คือ ความจุความร้อนจำเพาะของน้ำ (kJ/kgK)

ΔT_2 คือ อุณหภูมิที่ของน้ำที่เข้าและออกของน้ำจากหน่วยความแ่น

ถ้าป้อนก๊าซไนโตรเจนด้วยอัตรา 13.41 กรัม/วินาทีโดยก๊าซไนโตรเจนเข้าที่เข้าหน่วยความแ่นใหญ่ 200 °C และออกจากหน่วยความแ่นใหญ่ให้ได้อุณหภูมิประมาณ 30 °C พบว่าต้องใช้ปริมาณน้ำหล่อเย็นที่ใช้ในหน่วยความแ่น คือ 23 กรัม/วินาที ดังนั้นในงานวิจัยนี้จึงต้องทำการคำนวณปริมาณน้ำหล่อเย็นในหน่วยความแ่นใหญ่ซึ่งต้องปรับวาร์ชองน้ำหล่อเย็นที่เข้าหน่วยความแ่นใหญ่เพื่อให้มีอัตราการไหลของน้ำหล่อเย็นอย่างน้อย 23 กรัม/วินาที เพื่อให้ปริมาณน้ำหล่อเย็นในหน่วยความแ่นมีค่าใกล้เคียงกับที่คำนวณได้

1.4 การวัดอัตราการไหลของก๊าซ

ผลิตภัณฑ์ที่เป็นก๊าซที่ออกมายกจากปฏิกรณ์จะทำการวัดอัตราการไหล โดยใช้อริฟิก เป็นอุปกรณ์ที่ใช้วัดอัตราการไหล ดังภาพที่ 14 ซึ่งได้มีการติดตั้งอุปกรณ์วัดอัตราการไหลไว้ 3 จุด ควบแน่นชุดเล็ก จุดที่ 3 ติดตั้งที่ทางออกของแก๊ส หลังออกจากเครื่องควบแน่นชุดเล็ก ดังภาพที่ 14 จากภาพที่ 14 มีการวัด อุณหภูมิและความดัน เพื่อใช้คำนวณหาอัตราการไหลของสาร



ภาพที่ 14 องค์ประกอบอริฟิก

ในภาพที่ 14 สามารถหาอัตราการไหลที่เหมาะสมสมคำนวณจากสมการที่ 3

$$q = C_d A_2 \left[\frac{2(P_1 - P_2)}{\rho \left(1 - \left(\frac{D_i}{D_o} \right)^4 \right)} \right]^{\frac{1}{2}} \quad (3)$$

โดยที่ q คือ อัตราการไหลที่เหมาะสมสมของก๊าซ (m^3/s)

C_d คือ discharge coefficient

D_i คือ พื้นที่หน้าตัดของห้องก่อนเข้าอริฟิก (m^2)

D_o คือ พื้นที่หน้าตัดของรูเล็ก (m^2)

P_1 คือ ความดันขาเข้า (N/m^2)

P_2 คือ ความดันขาออก (N/m^2)

ρ คือ ความหนาแน่นของก๊าซ (kg/m^3)

การออกแบบ แบ่งออกเป็น 2 ส่วนคืออิฐที่ออกจากปูน และก้อนเข้าหน่วย ควบแน่นเล็ก โดยอัตราการไอลที่ออกจากปูนอยู่ในช่วง 0.7-4.92 กรัม/วินาที ดังนั้นต้องใช้ เส้นผ่าศูนย์กลางท่อ 2.54 เซนติเมตร และขนาดเส้นผ่านศูนย์กลางของรูเล็ก 0.7 เซนติเมตร ส่วน อัตราการไอลของหน่วยควบแน่นเล็กอยู่ในช่วง 0.14-0.7 กรัม/วินาที ดังนั้นต้องใช้ เส้นผ่านศูนย์กลางท่อ 2.54 เซนติเมตร และขนาดเส้นผ่านศูนย์กลางของรูเล็ก 0.3 เซนติเมตร

1.5 วิธีการไฟโรไอลซิส

นำพลาสติกชนิดโพลิพรอพิลีน จากบริษัทบรินก์ ทีพีไอโพลีน จำกัด (มหาชน) ตาม ปริมาณที่ต้องการใช้ป้อนในถังเก็บพลาสติกด้านบนของปูน จากนั้นทำการไอลออกซิเจนก่อน ทำปฏิกิริยาด้วยก๊าซในไตรเจน ปรับอัตราการไอลของก๊าซในไตรเจนตามต้องการ ทำการให้ความ ร้อนกับปูน โดยให้ความร้อนตามอุณหภูมิที่ต้องการใช้ แล้วเริ่มทำการปล่อยโพลิพรอพิลีน เมื่อ โพลิพรอพิลีนที่แตกสลายจะกลายเป็นไอผ่านไปยังหน่วยควบแน่นซึ่งจะเป็นตัวแยกผลิตภัณฑ์ที่ เป็นของเหลวและก๊าซ

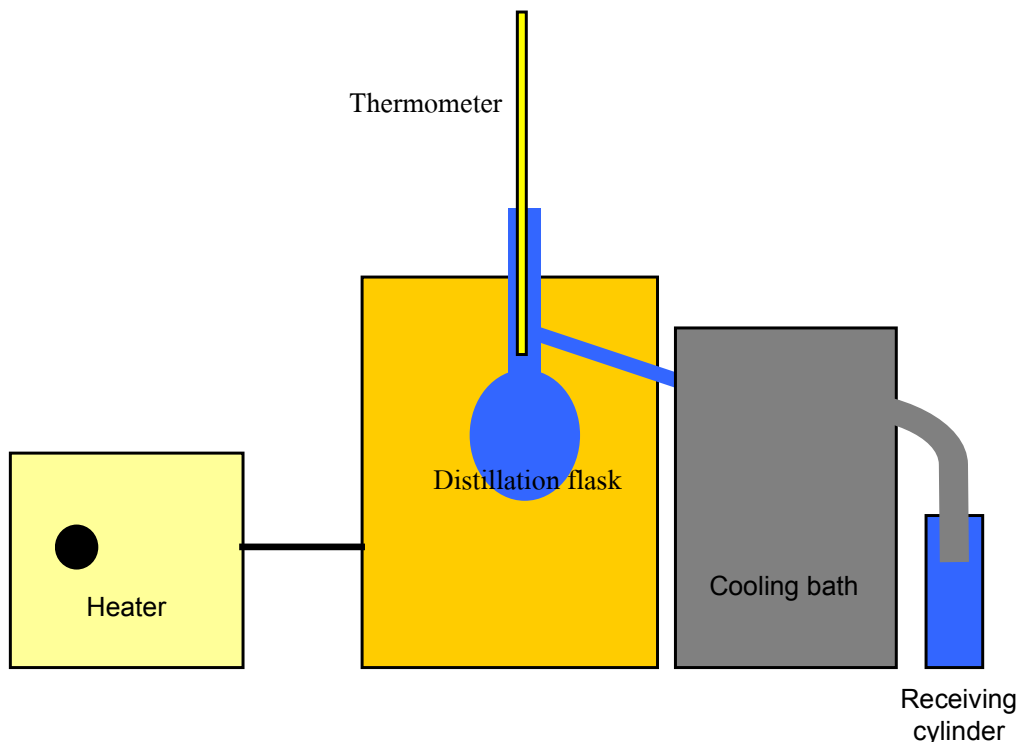
1.6 การเก็บตัวอย่างผลิตภัณฑ์ที่เป็นของเหลว

การเก็บตัวอย่างผลิตภัณฑ์ที่เป็นของเหลว ใช้ระบบอกรดูงเป็นตัวเก็บ และทำการเก็บ ตัวอย่างที่ด้านบนของปูน ที่มีหน่วยควบแน่นอยู่จำนวนหลายชุด ชุดแรกมีการหล่อเย็น โดยใช้ น้ำที่อุณหภูมิห้อง ส่วนชุดถัดไปจะทำการหล่อเย็น โดยใช้น้ำแข็ง การพิจารณาจำนวนระบบอกรดูง พิจารณาจาก กระบวนการสุดท้ายที่ใช้เก็บต้องไม่มีตัวอย่างของเหลวในกระบวนการสุดท้าย เลยเพื่อให้มั่นใจว่าการควบแน่นสมบูรณ์ จากนั้นของเหลวที่เก็บได้จากการอกรดูงทั้งหมดนั้น มา วิเคราะห์องค์ประกอบโดยใช้เครื่องกลั่นลำดับล้วน

2. การวิเคราะห์ตัวอย่างผลิตภัณฑ์ที่เป็นของเหลว

ผลิตภัณฑ์ส่วนที่เป็นของเหลว จะนำไปกลั่นแยกเพื่อหาองค์ประกอบของน้ำมัน ซึ่งอาศัย หลักการกลั่นตามมาตรฐาน ASTM (D1078) ซึ่งแยกสารโดยใช้หลักการจุดเดือดของสารประกอบ ไฮโดรคาร์บอนที่ต่างกัน ดังภาพที่ 15 ซึ่งประกอบด้วยเครื่องให้ความร้อน ขวดกลมใช้ใส่สารตั้งต้น

และผลิตภัณฑ์/oil จะถูกความแน่นโดยหาปริมาณของผลิตภัณฑ์ในแต่ละช่วงอุณหภูมิ ได้แก่ Gasoline (IBP- 216°C), Kerosene ($216\text{-}300^{\circ}\text{C}$), Residue ($>300^{\circ}\text{C}$)



ภาพที่ 15 เครื่องกลั่นน้ำมันปีโตรเลียม (Distillation Unit)

3. สภาพการทดลอง

งานวิจัยนี้ทำการหาสภาพที่เหมาะสมในการเปลี่ยนพลาสติกชนิดพอลิพรอพิลีน เพื่อให้ได้ปริมาณน้ำมันเบนซินสูงสุด สภาวะการทดลองแบ่งได้ ดังแสดงในตารางที่ 6 โดยแบ่งช่วงการทดลองได้ดังนี้

3.1 การหาสภาพอุณหภูมิที่เหมาะสมในการแตกตัวของพอลิพรอพิลีน ด้วยเครื่องวิธีวิเคราะห์แบบเทอร์โมกราฟิค เป็นการนำเม็ดพอลิพรอพิลีนมาทำให้ร้อนในที่อับอากาศภายในเครื่อง simultaneous DSC-TGA เมื่อพิจารณาหน้าหนักที่ลดลงกับอุณหภูมิ ก็สามารถทราบอุณหภูมิที่เหมาะสมในการแตกตัวของพอลิพรอพิลีนได้

3.2 ปฏิกรณ์ฟลูอิโอดีซ์เบดที่ประกอบด้วยเตา helyt ตัวที่สร้างขึ้น จะต้องมีการทดสอบการกระจายอุณหภูมิเพื่อให้อุณหภูมิในเตาสม่ำเสมอมากที่สุด ซึ่งต้องมีการวัดการกระจายอุณหภูมิตลอดแนวความสูง ถ้าอุณหภูมิไม่สม่ำเสมอจะส่งผลกับผลิตภัณฑ์ที่ได้ในการแตกตัวของพอลิพรอพิลีนได้

3.3 การทดสอบหาสภาวะการแตกตัวของพอลิพรอพิลีนในปฏิกรณ์โดยเดินเครื่องแบบจะเป็นการทดสอบการแตกตัวของพอลิพรอพิลีนในปริมาณน้อย เพื่อทดสอบว่า ณ อุณหภูมิ 500°C สามารถทำให้พอลิพรอพิลีนแตกตัวเป็นน้ำมัน โดยใส่เม็ดพอลิพรอพิลีนลงในปฏิกรณ์เพียงครึ่งเดียว จากนั้นให้ความร้อน แล้วพิจารณาอุณหภูมิในช่วงที่เกิดน้ำมันปีโตรเลียม

3.4 การทดสอบหาสภาวะปริมาณของพลาสติกเมื่อทำการป้อนพลาสติกเพียงครึ่งเดียว และอัตราการไหลดของไหลดของในไหลดเจนที่เหมาะสมต่อการแตกตัวของพอลิพรอพิลีน โดยทำการใส่พอลิพรอพิลีนในน้ำหนักที่แตกต่างกันในลงในปฏิกรณ์ที่ทำการให้ความร้อนแล้ว แล้วพิจารณาผลของน้ำหนักของพลาสติกที่มีผลต่ออุณหภูมิในเตาที่ใช้แตกตัวของพอลิพรอพิลีน

3.5 การทดสอบสภาวะที่เหมาะสมในปฏิกรณ์จริง ต่อการแตกตัวของพอลิพรอพิลีน โดยการทดสอบอัตราการไหลดของก้าช ในไหลดเจนอยู่ในช่วง ปฏิกรณ์เบดคนิ่ง และ ปฏิกรณ์ฟลูอิโอดีซ์เบด จากนั้นโดยพิจารณาอุณหภูมิในเตาว่าเหมาะสมต่อการเปลี่ยนพอลิพรอพิลีนเป็นน้ำมันปีโตรเลียม

3.6 การทดสอบในสภาวะที่ป้อนพลาสติกเป็นอย่างต่อเนื่อง โดยที่ช่วงของอุณหภูมิยังอยู่ในช่วงที่พอลิพรอพิลีนแตกตัวเป็นน้ำมันปีโตรเลียมได้ โดยทำการแบ่งพอลิพรอพิลีน และป้อนลงไปในปฏิกรณ์ในปริมาณน้อยแล้วหยุดป้อนเป็นจังหวะ ตามเวลาที่กำหนดไว้

3.7 การทดสอบหาอุณหภูมิที่เหมาะสมต่อการแตกตัวของพอลิพรอพิลีนในสภาวะเบดคนิ่ง และฟลูอิโอดีซ์เบด โดยทำการกำหนดอุณหภูมิไว้ในแต่ละตำแหน่งแตกต่างกัน ซึ่งสภาวะการทดลองแสดงในตารางที่ 6

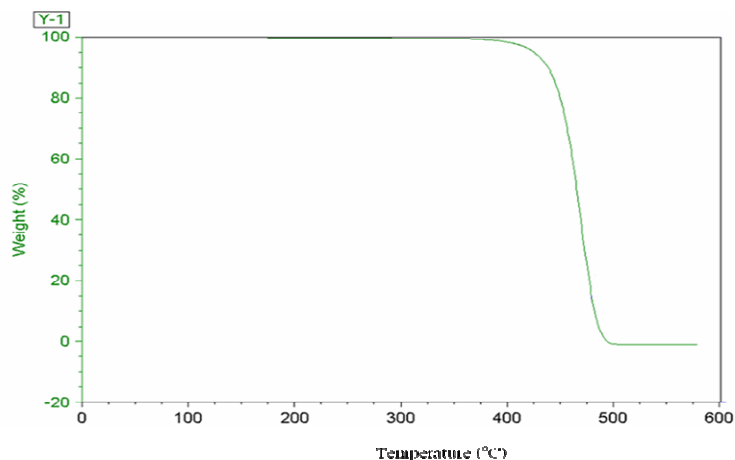
ตารางที่ 6 สภาวะการทดสอบ

| ที่ | สภาวะการทดสอบ | อุณหภูมิที่กำหนด (°C) | อัตราการไหลด ในตอรเจน (กิโลกรัม/ชั่วโมง) | ปริมาณพอดิ พรอพิลีน (กรัม) | หมายเหตุ |
|-----|---|--------------------------|--|----------------------------------|--------------------------------|
| 1 | การแตกตัวด้วยเครื่องเทอร์มอลกราวิเมทริก | 20°ช/นาที | 0.12 | 10-20 | |
| 2 | การทดสอบอุณหภูมิกาขในปั๊กรัม | 500 | 7.24 | - | ไม่มีการป้อน พอลิพรอพิลีน |
| 3 | การแตกตัวของพอลิพรอพิลีนในปั๊กรัมแบบง | 500 | 0.13 | 50 | |
| 4 | การทำปริมาณพลาสติกป้อนที่เหมาะสม | 500 | 3.64 | 50, 100, 200, 500 | |
| 5 | การแตกตัวในปั๊กรัมแบบฟลูอิดไคซ์เบด ที่เดินในสภาวะแบบเบดนิ่ง | 500 | 0.26 | 100 | |
| | | | 0.34 | 100 | |
| | | | 3.64 | 100 | |
| 6 | การทำแตกตัวในปั๊กรัมแบบฟลูอิดไคซ์เบด ที่เดินในสภาวะแบบฟลูอิดไคซ์เบด | 500 | 7.24 | 500 | |
| | | | 9.40 | 500 | |
| 7 | การทำปริมาณพลาสติกป้อนที่เหมาะสมในการ ป้อนพลาสติกแบบป้อนและหยุดเป็นจังหวะ ต่อเนื่องในสภาวะเบดนิ่ง | 500 | 7.24 | 200* | *ปริมาณ พลาสติกต่อ 1 รอบ |
| | | | | 100 | |
| | | | | 50 | |
| 8 | การทำแตกตัวในปั๊กรัมแบบฟลูอิดไคซ์เบดที่เดิน ในสภาวะแบบเบดนิ่ง เมื่อทำการป้อนและหยุด ป้อนเป็นจังหวะต่อเนื่อง เมื่อมีการควบคุม อุณหภูมิต่างกัน | ที่ความสูง (cm) | 7.24 | 50* | *ปริมาณ พลาสติกต่อ 1 รอบ |
| | | 0 40 90 140 | | | |
| | | 450 | | | |
| | | 450 430 430 430 | | | |
| | | 450 430 400 400 | | | |
| | | 450 430 150 300 | | | |
| | | ที่ความสูง (cm) | 9.40 (1.3 Umf plastic) | 50* | *ปริมาณ พลาสติกต่อ 1 รอบ |
| | | 0 40 90 140 | | | |
| | | 450 | | | |
| | | 450 450 150 450 | 10.85 (1.5 Umf plastic) | | |
| | | | | | |

ผลการทดลอง

1. การทดลองการแตกโโมเลกุลของพอลิพropพลีนโดยใช้เทคนิควิเคราะห์เทอร์โมกราฟิก

ภาพที่ 16 แสดงน้ำหนักของพอลิพropพลีนที่หายไปจากการแตกโโมเลกุลโดยใช้เครื่อง simultaneous DSC-TGA โดยมีอัตราการเพิ่มอุณหภูมิ $20^{\circ}\text{C}/\text{นาที}$ พบว่ามีการหายของน้ำหนักของพอลิพropพลีนจากการแตกโโมเลกุลอยู่ในช่วง $350-500^{\circ}\text{C}$ เมื่ออุณหภูมิเพิ่มขึ้นในช่วงแรกที่ $0-363^{\circ}\text{C}$ น้ำหนักของพอลิพropพลีนยังไม่เปลี่ยนแปลง แต่มีการเพิ่มอุณหภูมิขึ้น พบว่าน้ำหนักของพอลิพropพลีนเริ่มลดลงอย่างช้า ๆ ตามลำดับ และลดลงอย่างรวดเร็วที่อุณหภูมิ $405-480^{\circ}\text{C}$ จนเมื่ออุณหภูมิ 491°C จะไม่พบน้ำหนักของพอลิพropพลีโนอยู่เลย ดังนั้นในการทดลองการแตกตัวควรจะทำปฏิกริยาอย่างน้อยที่ 363°C



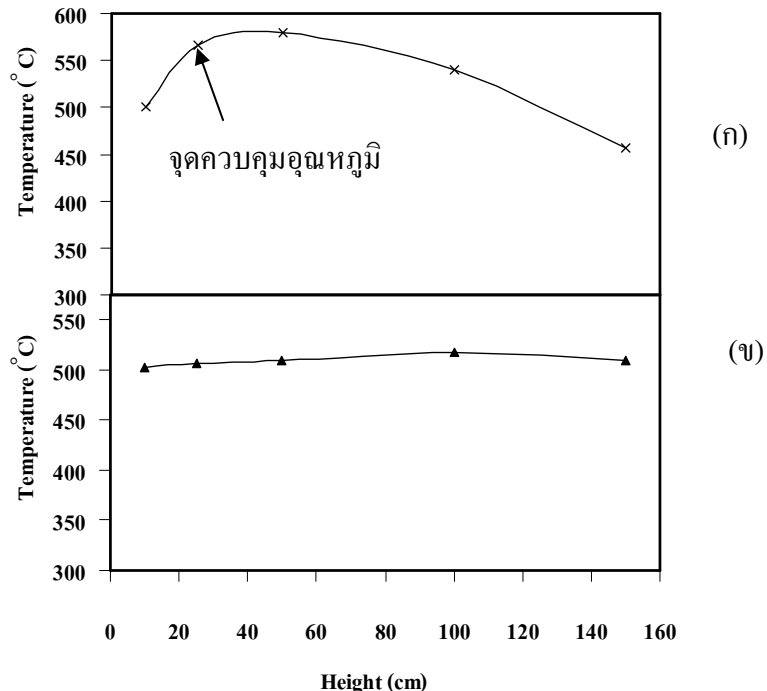
ภาพที่ 16 การหายไปของน้ำหนักพอลิพropพลีนที่เกิดการแตกโโมเลกุลโดยเครื่อง simultaneous DSC-TGA เมื่ออุณหภูมิเพิ่มขึ้นภายใต้บรรยากาศในไทรเจน

2. การทดสอบอุณหภูมิภายในปฏิกรณ์ฟลูอิไดซ์เบดไฟโรไอลซีส

การศึกษาหลักการทำงานของเครื่องปฏิกรณ์แบบฟลูอิไดซ์เบด พบว่าอุณหภูมิที่ใช้ภายในเครื่องปฏิกรณ์มีผลต่อการแตกตัวของพอลิพรอพิลีนเพื่อให้ได้ผลิตภัณฑ์เป็นน้ำมัน ดังนั้นในงานวิจัยนี้ จึงต้องทำการปรับปรุงส่วนให้ความร้อน ให้ได้อุณหภูมิที่เหมาะสมภายในปฏิกรณ์ เพื่อให้เกิดประสิทธิภาพสูงสุดในการแตกโโนแลกูลของพอลิพรอพิลีน เกิดเป็นน้ำมันปิโตรเลียมสูงสุด

การทดสอบผลของอุณหภูมิ โดยได้ทำการควบคุมอุณหภูมิ ที่จุดเหนือจากแผ่นกระจาบก้าช 10 ซม. เพียงจุดเดียว เมื่อวัดอุณหภูมิตามความสูงของปฏิกรณ์ พบว่าค่าของอุณหภูมิมีค่าไม่คงที่ แตกต่างกันทั้งความสูงของปฏิกรณ์ พบว่า ณ จุดที่ทำการควบคุมคือ ที่ความสูง 25 เซนติเมตรนับจากเหนือแผ่นกระจาบก้าช เมื่อวัดอุณหภูมิพบว่ามีค่าใกล้เคียงกับที่ตั้งไว้คือ 550°C แต่บริเวณต่ำ และเหนือจุดควบคุมมีอุณหภูมิลดลง และยังมีอุณหภูมิไม่สูงเพียงพอต่อการแตกตัวของพอลิพรอพิลีนดังภาพที่ 17 (ก) จึงได้มีการปรับปรุงส่วนให้ความร้อนของปฏิกรณ์โดยมีการเพิ่มเตาให้ความร้อนในส่วนที่เกิดปฏิกิริยา และเพิ่มจุดควบคุมอุณหภูมิที่ห่างจากแผ่นกระจาบก้าชไป 50, 100 และ 150 เซนติเมตร ตามลำดับ ภาพที่ 17 (ข) แสดงให้เห็นว่า อุณหภูมิมีค่าคงที่ตลอดความสูงของปฏิกรณ์ อีกทั้งยังสูงเพียงพอต่อการแตกตัวของพอลิพรอพิลีน

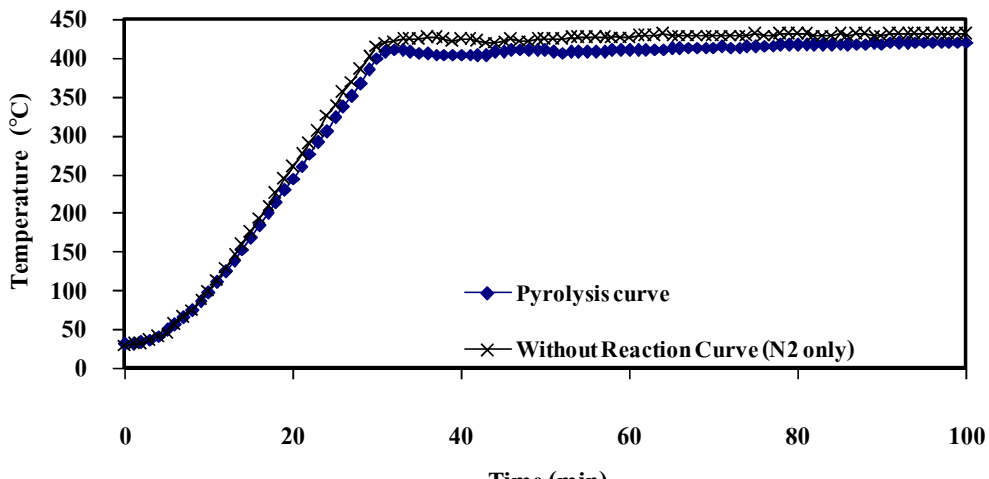
ในการทดสอบเครื่องปฏิกรณ์แบบฟลูอิไดซ์เบดไฟโรไอลซีส เมื่อทำการเร่งอัตราการไหลของไนโตรเจน มีผลทำให้อุณหภูมิภายในปฏิกรณ์ลดลงจากก่อนที่เพิ่มอัตราการไหล ดังนั้นก่อนการทดลองจึงต้องรอนานระหัส อุณหภูมิคงที่ แล้วจึงจะทำการปล่อยพอลิพรอพิลีน เมื่อเพิ่มอัตราการไหลของไนโตรเจน อุณหภูมิ ณ ส่วนล่างของปฏิกรณ์จะลดลง จากนั้นมีเวลาผ่านไป จะค่อยๆ เพิ่มขึ้นจนอุณหภูมิขึ้นถึงที่ตั้งไว้ที่ 500°C และคงที่ตลอดความสูง โดยเวลาที่ใช้จนอุณหภูมิคงที่ตลอดความสูง ประมาณ 20 นาที



ภาพที่ 17 ความสัมพันธ์อุณหภูมิกับความสูงเมื่อควบคุมอุณหภูมิ (ก) ณ จุดเริ่มต้น (ง) เพิ่มจุดควบคุม อุณหภูมิและเตาให้ความร้อน

3. การทดลองการแตกตัวของพอลิพรอพิลีนโดยเดินเครื่องแบบกึ่งเชิงวงจร

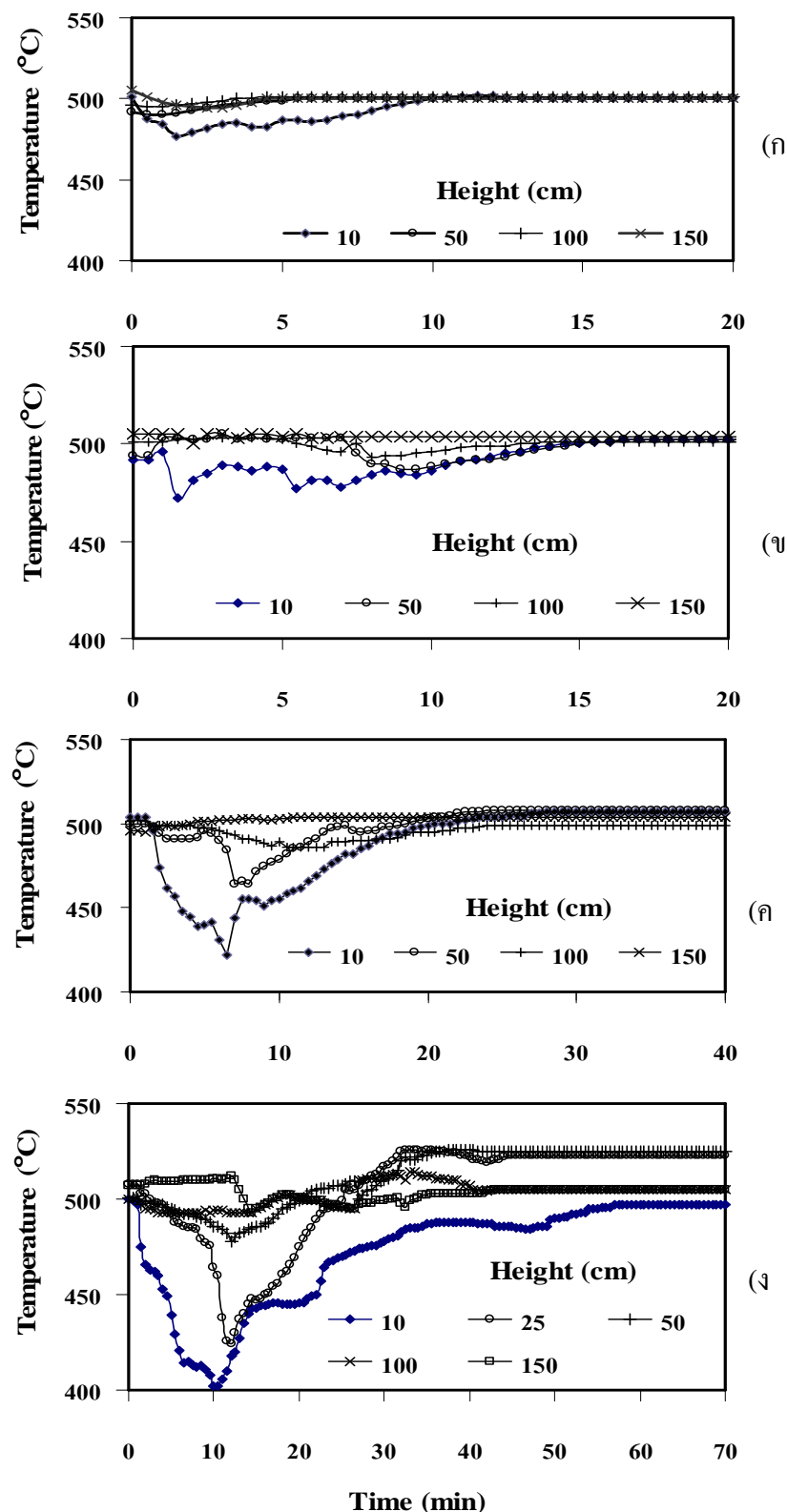
การทดสอบการแตกตัวของพอลิพรอพิลีน ได้ทำการทดสอบในปฏิกรณ์ขนาดเล็กแบบกึ่งเชิงวงจร โดยปฏิกรณ์ที่ใช้ทำในปฏิกรณ์แบบกะ มีอัตราการไหลดองใน โทรเจน 0.13 กิโลกรัม/ชั่วโมง ใช้จำนวนพอลิพรอพิลีน 50 กรัม และทำการควบคุมอุณหภูมิโดยใช้มือแปลงไฟฟ้าปรับค่าความต่างศักย์ แทนการควบคุมด้วยควบคุมอุณหภูมิ เพื่อพิจารณาการลดลงของอุณหภูมิเป็นผลมาจากการแตกตัวของพอลิพรอพิลีน ไม่เกี่ยวกับปริมาณกระแสไฟฟ้าที่ควบคุม โดยตัวควบคุมอุณหภูมิ ในภาพที่ 18 พบว่าอุณหภูมิในระบบที่มีการแตกตัวของพอลิพรอพิลีนต่ำกว่ากราฟอุณหภูมิ เมื่อไม่มีการเติมพลาสติก แสดงว่าการแตกตัวของพอลิพรอพิลีนเป็นปฏิกรณ์ฯในการดูดความร้อน ต้องอาศัยความร้อนในการแตกตัว ในเมื่อเดินเครื่องโดยไม่มีพลาสติกอุณหภูมิเตาอยู่ในช่วง 440°C ในการทดลองในปฏิกรณ์แบบพบว่าเมื่อไม่มีการปรับความร้อนของเตาอุณหภูมิในระบบที่มีการแตกตัวของพอลิพรอพิลีนเพื่อกลายเป็นน้ำมันปิโตรเลียมตกลงไปเป็นช่วง $405\text{-}410^{\circ}\text{C}$ ในช่วงระยะเวลา 36-59 นาที



ภาพที่ 18 อุณหภูมิที่ใช้ในการแตกตัวของพอลิพรอพิลีนในเครื่องปฏิกรณ์แบบกึ่งເລີກສະວັດ

4. ผลของการป้อนพอลิพรอพิลีนกับอุณหภูมิภายในปฏิกรณ์

การทดลองนี้จะทำการป้อนพอลิพรอพิลีนในปริมาณที่แตกต่างกัน โดยใส่ลงไปที่น้ำหนัก 50, 100, 200 และ 500 กรัม ณ อัตราการไหลดในไตรเจน 3.64 กิโลกรัม/ชั่วโมง (0.5 เท่าของอัตราเรือ คำสุดเพื่อเกิดฟลูอิไดซ์ของเม็ดพลาสติก) จากนั้นบันทึกอุณหภูมิที่ลดลงกับเวลาเมื่อทำการป้อนพอลิพรอพิลีนที่ใส่ในปฏิกรณ์แล้ว จากภาพที่ 19 พบว่าเมื่อเติมพลาสติก 50 กรัม อุณหภูมิเห็นอ่อนແຜ่น กระจายก้าช 10 ซม. จะลดลงเล็กน้อยเนื่องจากการสูญเสียความร้อนจำนวนหนึ่งให้กับพลาสติก ป้อนที่มีอุณหภูมิห้อง นอกจากนี้ความร้อนจะสูญเสียไปเพื่อทำปฏิกริยาเมื่อปฏิกริยาเกิดหมวดพบว่า อุณหภูมิจะเริ่มสูงขึ้นและเริ่มเท่ากับที่อุณหภูมิเมื่อระบบยังไม่ได้เติมพลาสติก ส่วนบริเวณเหนือ แผ่นกระจายก้าช (ตำแหน่งสูงจากแผ่นกระจายก้าช 50, 100 และ 150 เซนติเมตร) จะพบว่าอุณหภูมิ แทนจะไม่เปลี่ยนแปลงเลยตลอดเวลา เนื่องจากพลาสติกจำนวนน้อยที่ป้อนเข้ามาจะตกลงมาอยู่ที่ บริเวณใกล้แผ่นกระจายก้าชเท่านั้น จึงทำให้บริเวณเหนือขึ้นไปมีอุณหภูมิไม่เปลี่ยนแปลง เมื่อ พลาสติกป้อนมากขึ้นเป็น 100, 200 และ 500 กรัม จะพบว่าอุณหภูมิในบริเวณเหนือแผ่นกระจาย ก้าชลดลงจาก 500°C ไปเป็น $426, 416$ และ 402°C ตามลำดับ การป้อนพลาสติกยิ่งมากขึ้นไปก็ ต้องใช้ความร้อนในการเพิ่มอุณหภูมิของพลาสติกมากขึ้น และความร้อนในการทำปฏิกริยามากขึ้น จึงทำให้อุณหภูมิของระบบลดลงมาก ในระบบที่มีปริมาณของพลาสติกมากขึ้นจะทำให้ชั้นของ พลาสติกในระบบสูง และทำให้เกิดปฏิกริยาในบริเวณสูงขึ้นไป จึงทำให้บริเวณเหนือขึ้นมีอุณหภูมิ น้อยลง ในภาพที่ 19 (ก) บริเวณ 50, 100 และ 150 เซนติเมตร ไม่พบการเปลี่ยนแปลงของอุณหภูมิ แต่ภาพที่ 19 (ง) จะพบว่าทุกบริเวณมีอุณหภูมิลดลงในช่วงเวลาการเกิดปฏิกริยา

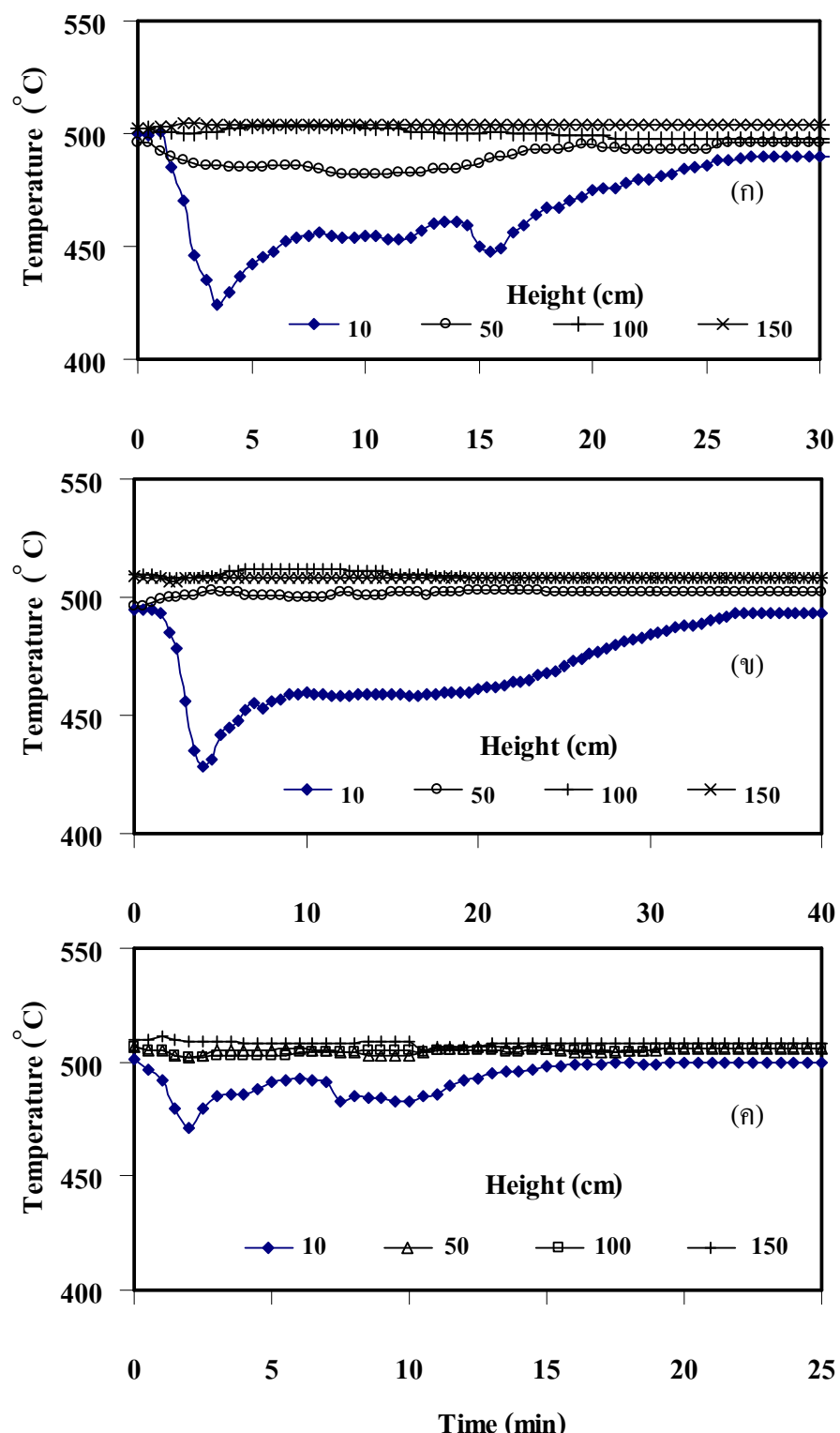


ภาพที่ 19 อุณหภูมิที่เปลี่ยนไปเมื่อใส่พอลิไพรอฟลีน (η) 50, (ψ) 100, (κ) 200 และ (λ) 500 กรัม ตามลำดับ

5. ผลของอัตราการไหลดของไนโตรเจนในสภาวะเบดนิ่งที่มีต่อการแตกตัวของพอลิพรอพิลีน

เมื่อเดินเครื่องด้วยอัตราเร็วต่ำกว่าความเร็วต่ำสุดของฟลูอิไดซ์เบด (Minimum Velocity for Fluidized) ของแข็งจะไม่เกิดการลอยตัว ปฏิกิริณ์จะมีสภาพเป็นแบบเบดนิ่ง ในหัวข้อนี้ ทำการทดสอบที่สภาวะก้าชความเร็วต่ำ ซึ่งเป็นสภาวะที่ต้องการความร้อนให้กับก้าชป้อนในปริมาณน้อย กาวที่ 20 (ก) และ (ข) อัตราการไหลดของไนโตรเจน 0.26 กิโลกรัม/ชั่วโมง และ 0.34 กิโลกรัม/ชั่วโมงตามลำดับ และใช้ปริมาณพอลิพรอพิลีน 100 กรัม พบว่าอุณหภูมิที่จุดเหนือจากแผ่นกระาย ก้าช 10 ซม. จะลดลงต่ำสุดเป็น 424°C และ 428°C ตามลำดับ เนื่องมาจากความร้อนที่ใช้ในการเพิ่ม ก้าชในไนโตรเจนนิ่มค่าไม่น่าก อุณหภูมิจึงลดลงน้อยตาม จำนวนอุณหภูมิค่อยๆเพิ่มขึ้นอย่างช้าๆจน คงที่กับที่ตั้งไว้ตอนแรกพร้อมกันที่เวลา 30 นาที ส่วนที่ความสูง 50, 100 และ 150 เซนติเมตร อุณหภูมิไม่ลดลงมาก เพราะปฏิกิริยาในบริเวณนั้นมีน้อย อุณหภูมิจึงไม่ลดลงมาก ส่วนปริมาณ น้ำมันที่ได้ คือ 0.81 และ 0.01 กรัมตามลำดับ ปริมาณน้ำมันที่วัดได้มีปริมาณน้อยมากเนื่องจากการ ทดลองนี้ทำในระบบขนาดใหญ่ น้ำมันที่ได้จึงถูกอยู่ในระบบ แต่ก็ยังสามารถแสดงค่าแนวโน้มให้ เห็นได้

เมื่อเพิ่มอัตราการไหลดของไนโตรเจนเป็น 3.64 กิโลกรัม/ชั่วโมงดังภาพที่ 20 (ก) ใช้ พลาสติกจำนวน 100 กรัมพบว่าอุณหภูมิจะลดลงต่ำสุดเป็น 471°C เมื่อเพิ่มอัตราการไหลดของ ไนโตรเจน จะมีการถ่ายเทความร้อนระหว่างเตา ก่อนเข้าปฏิกิริณ์ และแผ่นพินที่อยู่ในปฏิกิริณ์ดีขึ้น



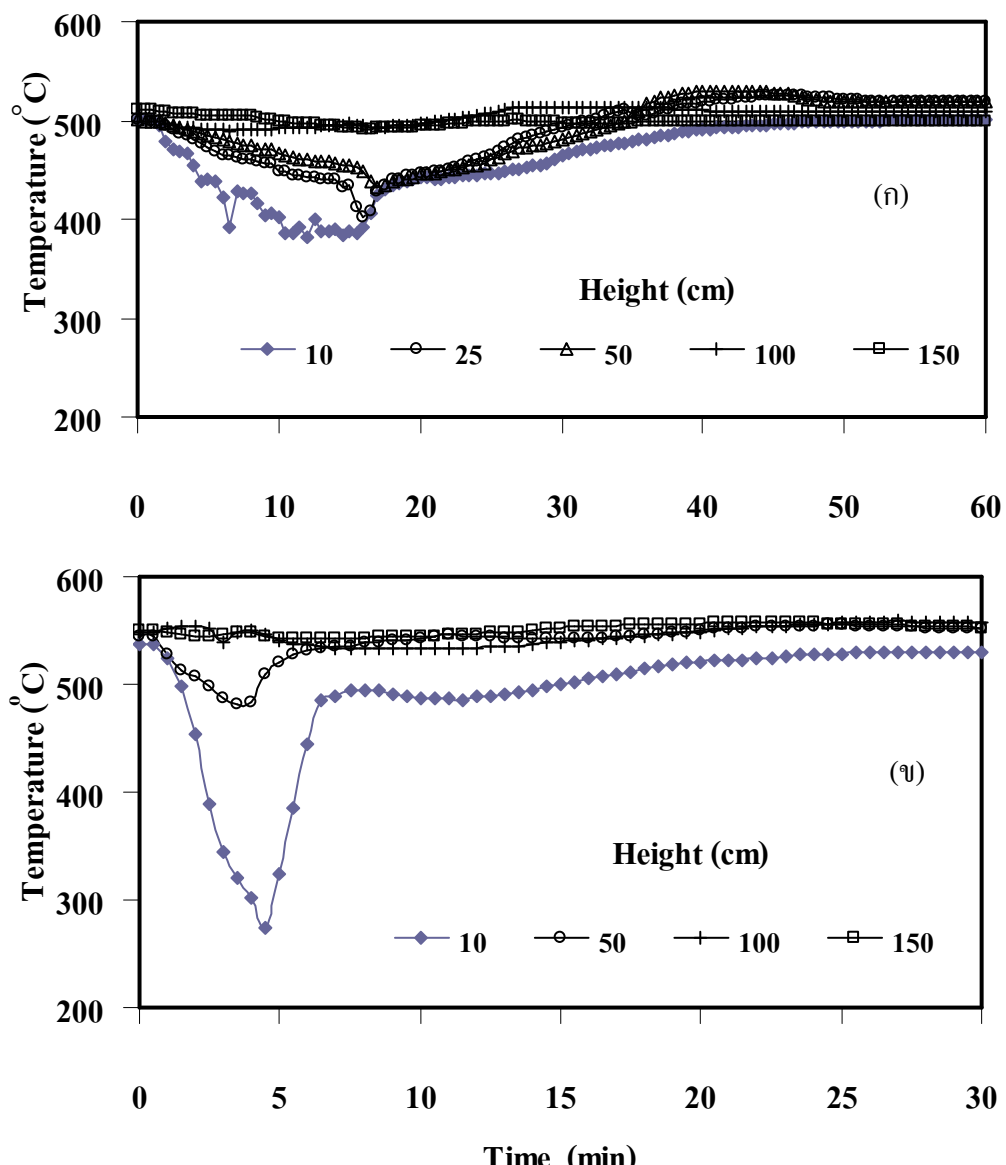
ภาพที่ 20 อุณหภูมิที่เปลี่ยนแปลงกับเวลาเมื่อใช้อัตราการไอลain ไตรเจน (ก) 0.26 กิโลกรัม/ชั่วโมง (ง) 0.34 กิโลกรัม/ชั่วโมง (ค) 3.64 กิโลกรัม/ชั่วโมง เม็ดพลาสติก 100 กรัม

6. การทดสอบเบื้องต้นของอิทธิพลอัตราการไหลงในโตรเจนในช่วงที่เป็นฟลูอิไดซ์เบด

การทดลองจะมีอัตราการไหลงในโตรเจนที่ 7.24 และ 9.40 กิโลกรัม/ชั่วโมง และในอัตราการไหลงนี้เป็น 1 และ 1.3 เท่าของอัตราเร็วต่ำสุดเพื่อกีดฟลูอิไดซ์ของเม็ดพลาสติก โดยเติมปริมาณพอลิพรอพิลีน 500 กรัม จากภาพที่ 21 (ก) และ 21 (ข) จะเห็นว่า อุณหภูมิของปฏิกรณ์ลดลงเป็น 402 และ 382°C ตามลำดับ ผลิตภัณฑ์ที่ได้มีลักษณะเป็นผงสีขาวอ่อนๆ แสดงว่าได้ผลิตภัณฑ์เป็นไฮโดรคาร์บอนไมเลกุลสูง

การได้ไฮโดรคาร์บอนไมเลกุลสูง เนื่องจากปริมาณพอลิพรอพิลีนที่ใช้มากเกินไปและเติมก๊าซในปริมาณมากเพื่อกีดฟลูอิไดซ์เบด อุณหภูมิที่ใช้ในการแตกตัวไม่สูงเพียงพอที่จะทำให้พอลิพรอพิลีนแตกตัวเป็นน้ำมันได้ ดังนั้นถ้าต้องการน้ำมันปีโตรเลียม จะต้องทำการลดอัตราการป้อนพอลิพรอพิลีนลง

ผลการทดลองในที่นี้สรุปว่าเมื่อต้องการเติมพอลิพรอพิลีนแบบต่อเนื่อง จะทำให้อุณหภูมิไม่สูงเพียงพอต่อการแตกตัวของพอลิพรอพิลีน ผลิตภัณฑ์ที่ได้จึงเป็นไฮโดรคาร์บอนไมเลกุลสูง ดังนั้นจึงต้องมีการแบ่งปริมาณการป้อนพลาสติก โดยจะทำการปล่อยพอลิพรอพิลีนในปริมาณน้อยแล้วหยุดป้อนในช่วงเวลาหนึ่งแล้วทำการป้อนใหม่ เช่นนี้อย่างต่อเนื่อง เพื่อไม่ให้อุณหภูมิในเตาลดลงมากเกินไป ดังนั้นในหัวข้อต่อไปจะทดลองป้อนพลาสติกในปริมาณน้อยแล้วหยุดป้อนเป็นจังหวะ นั่นคือเป็นการลดอัตราการป้อนของพลาสติกนั้นเอง



ภาพที่ 21 อุณหภูมิที่เปลี่ยนไปกับเวลาเมื่อใช้อัตราการไหลดองในตอรเจน (η) 7.26 กิโลกรัม/ชั่วโมง (1 Umf) (ψ) 9.40 กิโลกรัม/ชั่วโมง (1.3 Umf) ป้อนพลาสติก 500 กรัม

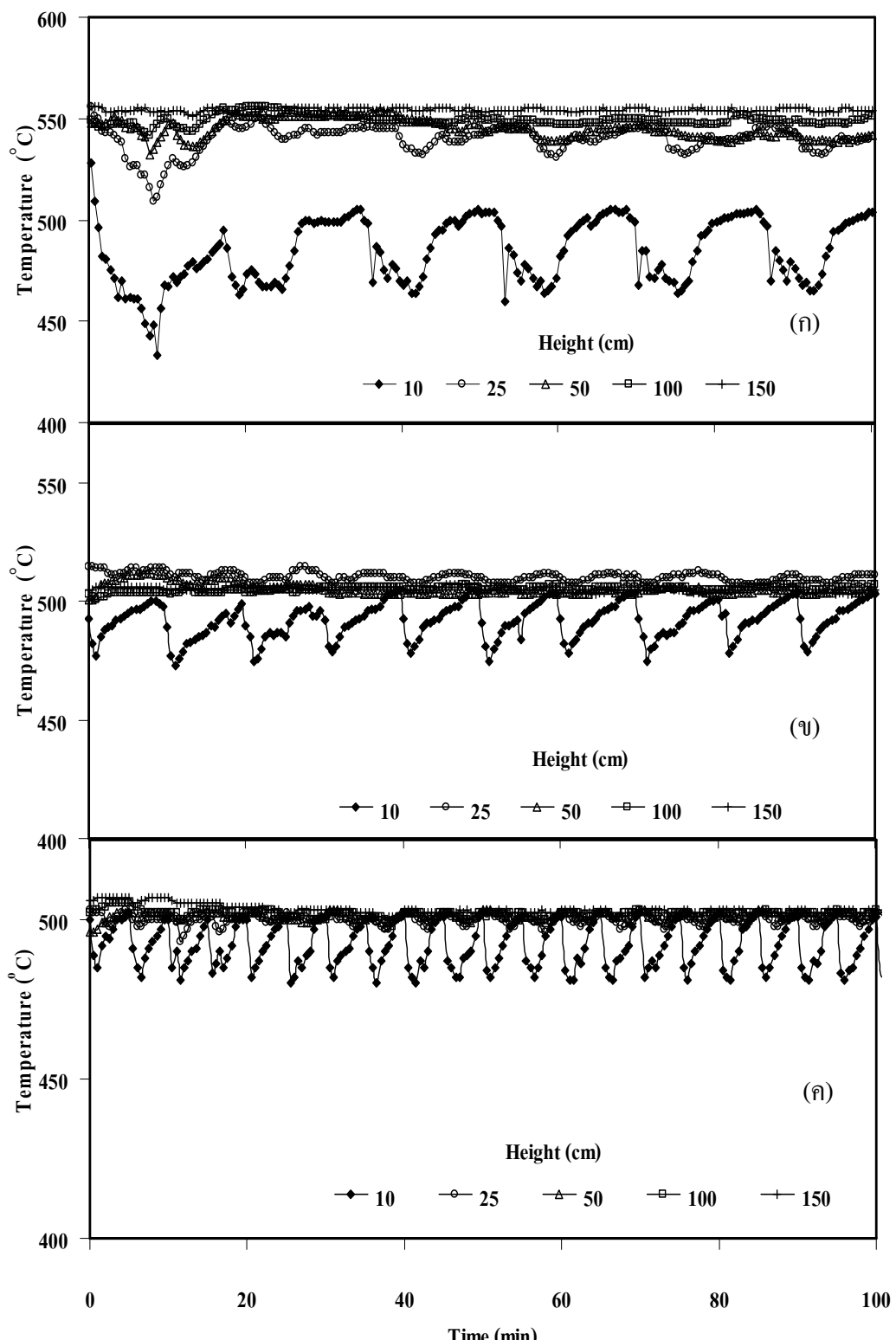
7. ผลของปริมาณการป้อนพลาสติกแบบป้อนและหยุดเป็นจังหวะต่อเนื่องในสภาวะเบดนิ่ง

การทดลองนี้ทำการปรับอัตราการไหลดองในตอรเจนที่ 7.23 กิโลกรัม/ชั่วโมง (1 เท่าของความเร็วต่ำสุดเพื่อเกิดฟลูอิไดซ์ของเม็ดพลาสติก) ควบคุมอุณหภูมิของเตาที่ 500 °C เมื่อทำการป้อนพลาสติกสลับการหยุดเป็นจังหวะ จำนวน 3 เงื่อนไขการทดลอง โดยไม่แต่ละรอบของการป้อนจะใช้พลาสติก 200, 100 และ 50 กรัม และใช้เวลาการป้อน 2, 1 และ 0.5 นาที ตามลำดับ ผลของอุณหภูมิแสดงในภาพที่ 22 (η)-(κ) พบว่าอุณหภูมิที่เหนือแผ่นกระจายก้าว 10 ซม. จะลดลง

อย่างรวดเร็วจาก 500°ช ไปเป็น $450, 475$ และ 480°ช เนื่องจากต้องทำให้พลาสติกร้อนขึ้นและเกิดปฏิกิริยาการแตกตัวของพลาสติก เวลาที่อุณหภูมิลดลงนาน $10, 2$, และ 2 นาที ตามลำดับ เมื่อพลาสติกถูกใช้หมุดอุณหภูมิเพิ่มจนเป็น 500°ช โดยใช้เวลาในการเพิ่มอุณหภูมิ $15, 9$, และ 4.5 นาที ตามลำดับ จากนั้นทำการป้อนพลาสติกและหยุดอีกครั้ง จนป้อนพลาสติกครบ $10, 10$ และ 40 รอบตามลำดับ และเมื่อวัดจุดที่เหนือแผ่นกระยะก้าว 50 เซนติเมตรขึ้นไป พบว่าอุณหภูมิลดลงไม่มากนัก เพราะพลาสติกส่วนใหญ่จะแตกตัวที่ด้านล่างของปฏิกิริยานี้ บริเวณที่เหนือขึ้นมา มีพลาสติกปริมาณน้อยจึงทำให้บริเวณนั้นมีอุณหภูมิไม่เปลี่ยนแปลง เพราะมีปฏิกิริยาจากการแตกตัวของพลาสติกน้อย

เมื่อพิจารณาอุณหภูมิที่ลดของการป้อนในแต่ละรอบพบว่า เมื่อป้อน $200, 100$ และ 50 กรัม อุณหภูมิลดลงเป็น $50, 25$ และ 20°ช ตามลำดับ จากอุณหภูมิก่อนเริ่มป้อนพลาสติก (500°ช) เห็นว่า เมื่อป้อนพลาสติกมากอุณหภูมิก็ลดลงมาก เนื่องจากความร้อนที่สูญเสียไปในการทำให้พลาสติกร้อน เมื่อต้องการให้อุณหภูมิในเตาเปลี่ยนแปลงน้อยที่สุดตลอดช่วงเวลาในการเดินเครื่องอย่างต่อเนื่อง ควรเลือกสภาพการป้อนที่ 50 กรัม ต่อรอบ เพราะเป็นช่วงที่อุณหภูมิมีการเปลี่ยนแปลงน้อยกว่า

อย่างไรก็ตาม อุณหภูมิที่ใช้ยังอยู่ในช่วงที่สูง คืออยู่ในช่วง $500-480^{\circ}\text{ช}$ ซึ่งผลิตภัณฑ์ที่ได้จากการแตกตัวจะอยู่จะอยู่ในรูป ก้าว โดยเมื่อป้อนพลาสติก 50 กรัมต่อรอบ มีปริมาณของเหลวทึ้งหมดเพียง 1.55 กรัม/นาที เท่านั้น ดังนั้นในหัวข้อต่อไปจะทำการศึกษาอุณหภูมิที่เหมาะสมในการแตกตัว



ภาพที่ 22 อุณหภูมิกับเวลาต่อการแตกตัวของพลาสติกเมื่อทำการป้อนพลาสติกเป็นจังหวะแบบต่อเนื่อง (ก) 200 กรัม (ข) 100 กรัม (ค) 50 กรัม ความเร็วถ้าจะเป็น 7.23 กิโลกรัม/ชั่วโมง (1 Umf) อุณหภูมิตลอดปฏิกรณ์เป็น 500°C

8. การแตกตัวของพอลิพรอพิลีนในปฏิกิริยาแบบฟู่อีไซซ์เบดในสภาวะเบคนิ่ง เมื่อทำการป้อนพอลิพรอพิลีนแบบป้อนและหยุดเป็นจังหวะต่อเนื่อง

การทดลองนี้ปรับอัตราการไหลดของไนโตรเจนไว้ที่ 7.24 กิโลกรัม/ชั่วโมง (1 เท่าของอัตราเร็วต่ำสุดเพื่อเกิดฟู่อีไซซ์ของเม็ดพลาสติก) การป้อนพลาสติกเข้าปฏิกิริยานี้จะทำการป้อนสลับหยุดเป็นจังหวะต่อเนื่อง โดยในแต่ละรอบการป้อนทำการป้อนพลาสติก 50 กรัม ใช้เวลาการป้อน 30 วินาที การทดลองทำที่ 4 เงื่อนไข ดังแสดงในตารางที่ 7 โดยเงื่อนไขที่ 1 ทำการควบคุมอุณหภูมิ 450°C ตลอดปฏิกิริยานี้ เงื่อนไขที่ 2 ทำการปรับอุณหภูมิที่ตำแหน่งหนึ่งแผ่นกระจาดก้าช 10 ซม. เป็น 450°C เท่านั้น โดยปริเวณอื่นมีอุณหภูมิยืนคงเป็น 430°C เพื่อไม่ให้ก้าชพลาสติกแตกตัวมากเกินไปกลایเป็นสารที่เบา เช่น ก้าช เงื่อนไขที่ 3 ทำการลดอุณหภูมิหนึ่งอีกแผ่นกระจาดก้าช 10 ซม. ลงไบอิก เป็น 400°C เงื่อนไขที่ 4 ลดอุณหภูมิหนึ่งอีกแผ่นกระจาดก้าช 10 ซม. ให้ยืนคงเป็น 150°C เพื่อมิให้ออพลิตกัณฑ์ไม่สามารถแตกตัวต่อไบอิกได้ และบริเวณใกล้ทางออกเป็น 300°C ซึ่งทำให้ออพลิตกัณฑ์ไม่ควบแน่นและอุดตันที่ทางออก

ตารางที่ 7 อุณหภูมิตามความสูงของปฏิกิริยานี้ในสภาวะเบคนิ่ง เมื่อทำการป้อนพอลิพรอพิลีนแบบป้อนสลับการหยุดเป็นจังหวะ

| การทดลองที่ | ความสูง (ซม.) | การตั้งอุณหภูมิตามความสูงจากแผ่นกระจาดก้าช ($^{\circ}\text{C}$) | | | |
|-------------|---------------|---|-----|-----|-----|
| | | 10 | 50 | 100 | 150 |
| 1 | 450 | 450 | 450 | 450 | 450 |
| 2 | 450 | 430 | 430 | 430 | 430 |
| 3 | 450 | 430 | 400 | 400 | |
| 4 | 450 | 430 | 150 | 300 | |

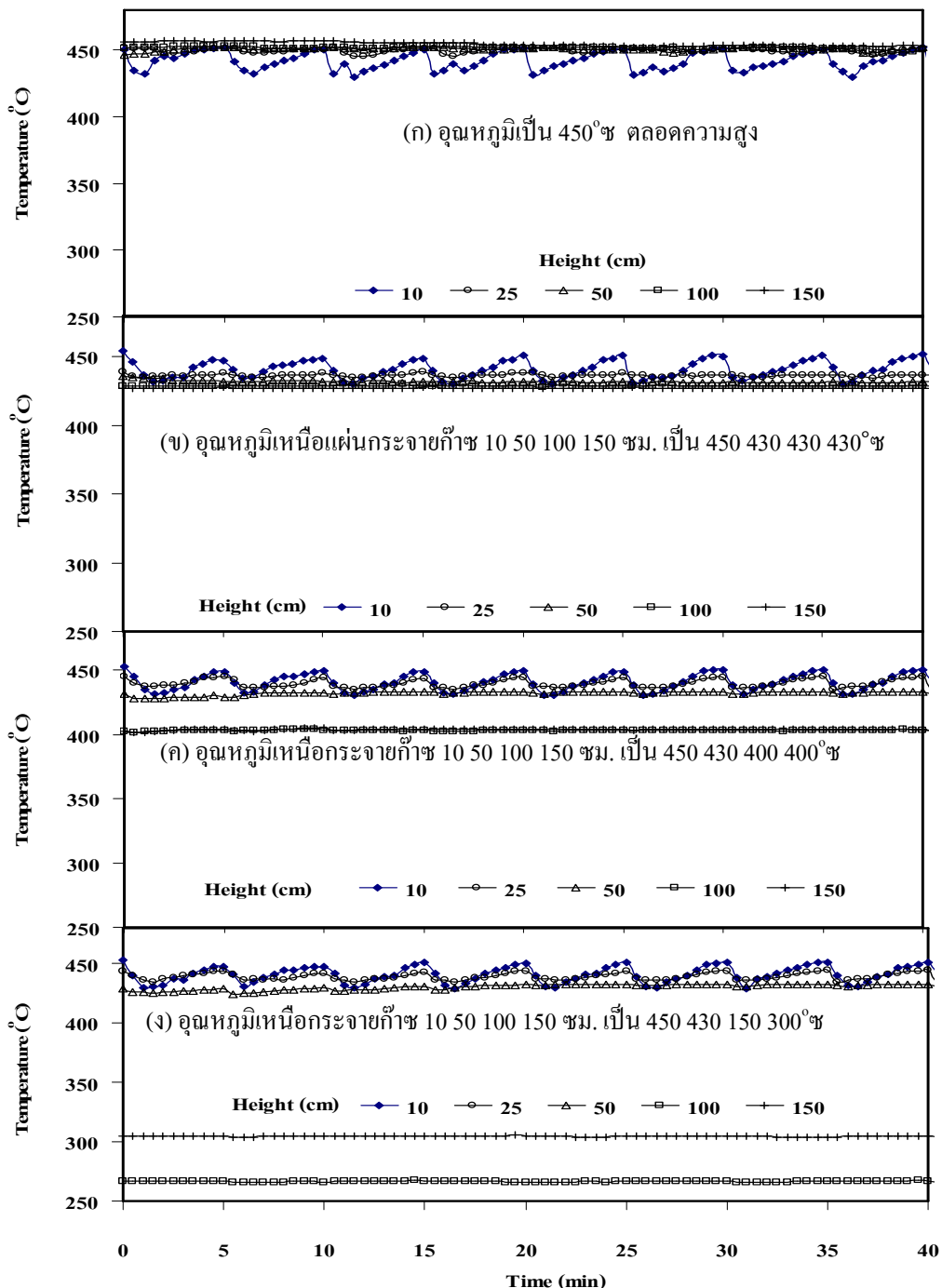
8.1 ผลของอุณหภูมิต่อการแตกตัวของพลาสติก

จากภาพ 23 (ก)-(ง) เมื่อเปรียบเทียบผลของอุณหภูมิ พบว่า เมื่อเริ่มป้อนพลาสติกไป 1-2 นาทีแรกอุณหภูมิที่บริเวณป้อนก้าชจะลดลงอย่างรวดเร็ว คือลดลงจาก 450°C เป็น 430°C เนื่องมาจากความร้อนที่สูญเสียไปจำนวนหนึ่ง ให้กับพลาสติกเย็นที่มีอุณหภูมิห้อง และสูญเสียไปกับการทำปฏิกิริยา เมื่อปฏิกิริยาหมดที่เวลา 4.5 นาที (โดยดูจากกราฟอุณหภูมิ เมื่ออุณหภูมิเริ่ม

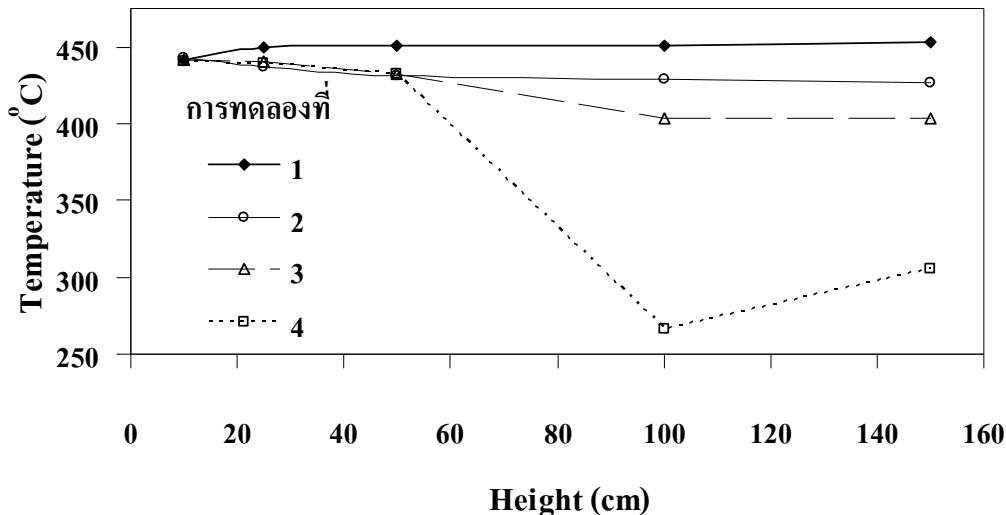
(เพิ่มขึ้นกลับไปยังค่าที่ไม่มีการเติมพลาสติก) ทำการป้อนใหม่อีกครั้ง ทำให้น้ำในกรอบ 40 รอบ ส่วนบริเวณเหนือแผ่นกระจาดก้าชที่ 25 เซนติเมตร อุณหภูมิลดลงเล็กน้อยในช่วง 1-2 นาทีแรก และจะกลับไปยังอุณหภูมิเดิมอย่างรวดเร็ว เนื่องจากบริเวณนี้มีพลาสติกกระจาดอยู่น้อยกว่าบริเวณแผ่นกระจาดก้าช ส่วนบริเวณเหนือแผ่นกระจาดก้าชไป 50, 100 และ 150 เซนติเมตร อุณหภูมิเปลี่ยนแปลงจากจุดเริ่มป้อนพลาสติกไม่มากนัก เนื่องจากมีพลาสติกกระจาดอยู่น้อยมาก ยกเว้นกรณีภาพ 23(ง) ที่ตำแหน่ง 100 เซนติเมตรเหนือแผ่นกระจาดก้าช เมื่อควบคุมอุณหภูมิไว้ที่ 150°C พบร้าอุณหภูมิขึ้นถึง 267°C ถึงแม้การตั้งอุณหภูมิที่ต่ำกว่าถึง 150°C อิทธิพลความร้อนจากเตาบริเวณใกล้เคียงสูงกว่า ส่งผลให้อุณหภูมิบริเวณนี้สูงกว่าที่ตั้งไว้ แต่ยังไหรก็ตามอุณหภูมิบริเวณนี้มีค่าไม่เปลี่ยนแปลงต่อการป้อนของพลาสติก

เมื่อทำการเคลี่ยอุณหภูมิตลอดเวลาในทั้ง 4 เงื่อนไข สำหรับการป้อนกรอบ 40 รอบ ที่ความสูงเหนือแผ่นกระจาดก้าช 10, 25, 50, 100 และ 150 เซนติเมตร อุณหภูมิเฉลี่ยที่ความสูงต่าง ๆ แสดงได้ดังภาพที่ 24

ภาพที่ 24 แสดงให้เห็นว่าเมื่อตั้งอุณหภูมิ 450°C เท่ากันตลอดความสูง อุณหภูมิที่เกิดขึ้นจะเทียบเท่ากันทั่วปฐกรณ์ ยกเว้นบริเวณใกล้กับแผ่นกระจาดก้าช ซึ่งเป็นบริเวณที่พลาสติกตกไปยังอยู่และทำปฏิกิริยา ซึ่งมีอุณหภูมิลดลงเป็น 441°C ในกรณีที่ 2 และ 3 เมื่อตั้งอุณหภูมิที่จุดเหนือแผ่นกระจาดก้าช 10 ซม. 450°C และบริเวณเหนือขึ้นไปลดลงเป็น 430 และ 400°C ตามลำดับ พบร้าอุณหภูมิที่อุณหภูมิที่จุดเหนือแผ่นกระจาดก้าช 10 ซมลดลงเป็น 442°C ทั้ง 2 เงื่อนไขด้วยเหตุผลเดียวกับกรณีแรก ส่วนอุณหภูมิเหนือขึ้นไปก็ไม่เปลี่ยนแปลงมากนัก ในกรณีสุดท้าย เมื่อพยายามตั้งอุณหภูมิเหนือปฐกรณ์ให้มีค่าลดลง จะเห็นว่าอุณหภูมิในปฐกรณ์กรณีสุดท้ายจะมีค่าสูงที่บริเวณใกล้กับแผ่นกระจาดก้าช และลดลงในบริเวณเหนือปฐกรณ์ แต่ที่ทางออกอุณหภูมิสูงเป็น 300°C เพื่อป้องกันมิให้เกิดการอุดตัน



ภาพที่ 23 อุณหภูมิกับเวลาต่อการแตกตัวของพลาสติกเมื่อทำการควบคุมอุณหภูมิที่จุดแตกต่างกัน ซึ่งได้ทำการควบคุมอุณหภูมิไว้ดังนี้ (ก) อุณหภูมิเป็น 450°ช ตลอดความสูง (ข) อุณหภูมิเหนือแผ่นกระจายกําช 10 50 100 150 ซม. เป็น 450 430 430 430 430°ช (ค) อุณหภูมิเหนือกระจายกําช 10 50 100 150 ซม. เป็น 450 430 400 400 400°ช (ง) อุณหภูมิเหนือกระจายกําช 10 50 100 150 ซม. เป็น 450 430 150 300 300°ช ป้อนพลาสติก 50 กรัม/รอบ ความเร็วกําช 7.24 กิโลกรัม/ชั่วโมง (1 Umf)



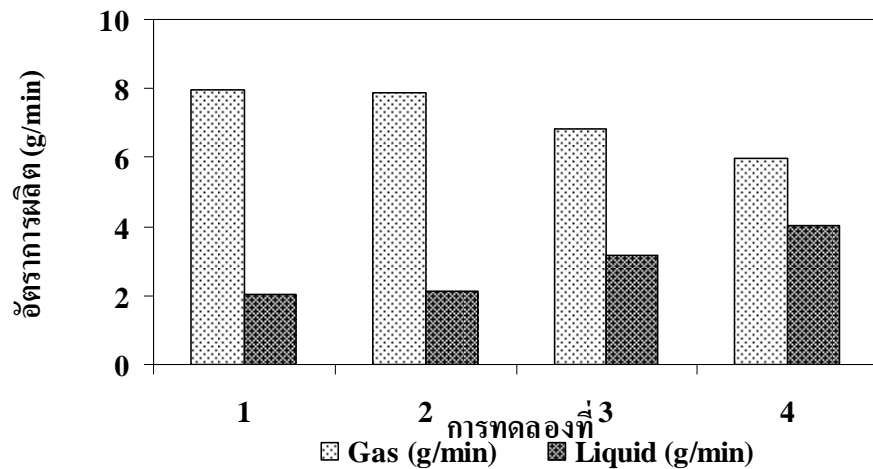
ภาพที่ 24 ค่าเฉลี่ยของอุณหภูมิ ตามความสูงของปฏิกรณ์พร้อมอุณหภูมิที่ตั้งไว้ในสภาวะ เบคนิ่ง เมื่อทำการควบคุมอุณหภูมิไว้ 4 เงื่อนไขป้อนพลาสติก 50 กรัม/รอบ ความเร็วถ่าน 7.24 กิโลกรัม/ชั่วโมง (1 Umf)

8.2 ผลิตภัณฑ์ที่ได้เมื่อป้อนและหยุดพลาสติกแบบเป็นจังหวะต่อเนื่องในช่วงเบคนิ่ง

บริมาณของของผลิตภัณฑ์ที่ได้จากการควบคุมอุณหภูมิที่แตกต่างกันตามเงื่อนไขทั้ง 4 ข้อ (หัวข้อ 8.1)

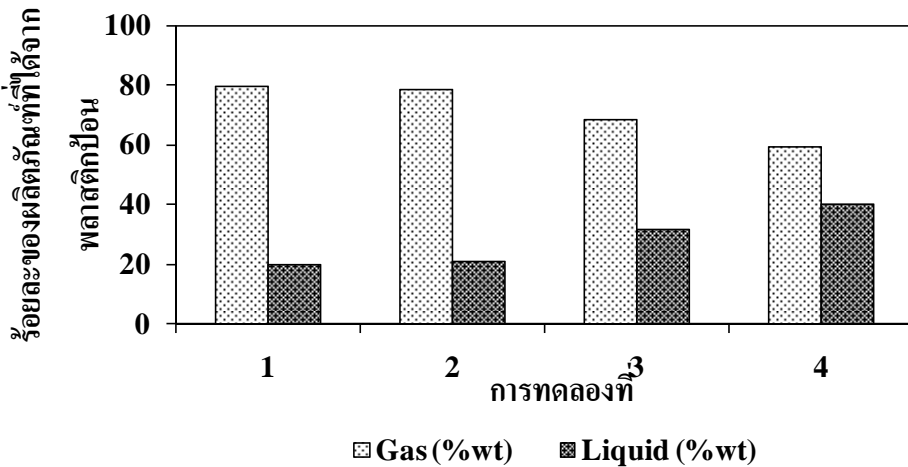
ภาพที่ 25 แสดงอัตราการผลิตถ่านและของเหลวสำหรับการทดลองทั้ง 4 กรณี เมื่อทำการควบคุมอุณหภูมิไว้ที่ 450°C ตลอดทั้งปฏิกรณ์ ผลิตภัณฑ์ที่ได้ส่วนมากเป็นถ่าน เพราะพลาสติก ส่วนใหญ่แตกตัวที่ด้านล่างของปฏิกรณ์ เมื่อไอลิตภัณฑ์ละลายสูงไปที่ด้านบนของปฏิกรณ์ซึ่งมี อุณหภูมิสูงถึง 450°C จึงมีการแตกตัวต่อเป็นสารโนเมเลกูลาร์เล็กลง ทำให้ในการทดลองที่ 1 ผลิตภัณฑ์ ที่ได้ส่วนใหญ่จึงเป็นถ่าน ดังนั้นการทดลองที่ 2 และ 3 จึงได้มีการลดอุณหภูมิที่ด้านบนของปฏิกรณ์ ลงมา เพื่อให้มีการแตกตัวของพลาสติกน้อยลง ใน การทดลองที่ 2 ลดอุณหภูมิที่ในเตาลงเป็น 430°C ยกเว้นที่จุดเหนือบริเวณป้อนถ่าน 10 ซม. ที่ยังคง 450°C ส่วนในการทดลองที่ 3 อุณหภูมิเหมือนดัง การทดลองที่ 2 ในบริเวณสูงสุดก่อนออกจากเตาจะตั้งอุณหภูมิต่ำลงอีกเป็น 400°C พนว่าปริมาณ ผลิตภัณฑ์ที่ยังไก้เดียวกับการทดลองแรก ดังนั้นการทดลองที่ 4 จึงได้มีการลดอุณหภูมิต่ำลงมา ที่ บริเวณความสูง 100 ซม. ตั้งอุณหภูมิ 150 ซม. และจุดสูงสุดของปฏิกรณ์ตั้งไว้ที่ 300°C ซึ่งเป็น อุณหภูมิที่คาดว่าไอลิตภัณฑ์แตกตัวต่อเป็นโนเมเลกูลาร์เล็กลงได้น้อย และไอลิตภัณฑ์ไม่ควรแน่น

(จุดควบแน่นของ $C > 18$ ประมาณ 300°C) เห็นได้ว่าผลิตภัณฑ์ของเหลวเพิ่มจากเดิมอย่างเห็นได้ชัด จากการทดลองทั้ง 4 เนื่องไขมีปริมาณของเหลว 2.02, 2.11, 3.16 และ 4.04 กรัม/นาที ตามลำดับ



ภาพที่ 25 ผลิตภัณฑ์ที่ได้จากการแยกตัวของพลาสติกเมื่อทำการควบคุมอุณหภูมิแตกต่างกันในสภาวะเบนдинง (1 Umf) เมื่อป้อนพลาสติก 10 กรัม/นาที

ภาพที่ 26 ผลิตภัณฑ์ก๊าซ และของเหลวที่ได้เป็นร้อยละเทียบกับน้ำหนักพลาสติกเริ่มต้นผลที่ได้เป็นร้อยละ 79.81 78.87 68.38 59.64 และ ร้อยละ 20.19 21.13 31.62 และ 40.37 ตามลำดับ จะเห็นว่าของเหลวในการทดลองที่ 4 มีค่าเพิ่มขึ้นอย่างเห็นได้ชัด เพราะได้มีการลดอุณหภูมิส่วนบนของปฏิกรณ์ลงเพื่อไม่ให้พลาสติกแตกตัวต่อไปเป็นก๊าซได้อีก ผลิตภัณฑ์ของเหลวที่ได้จะมีปริมาณเพิ่มขึ้น

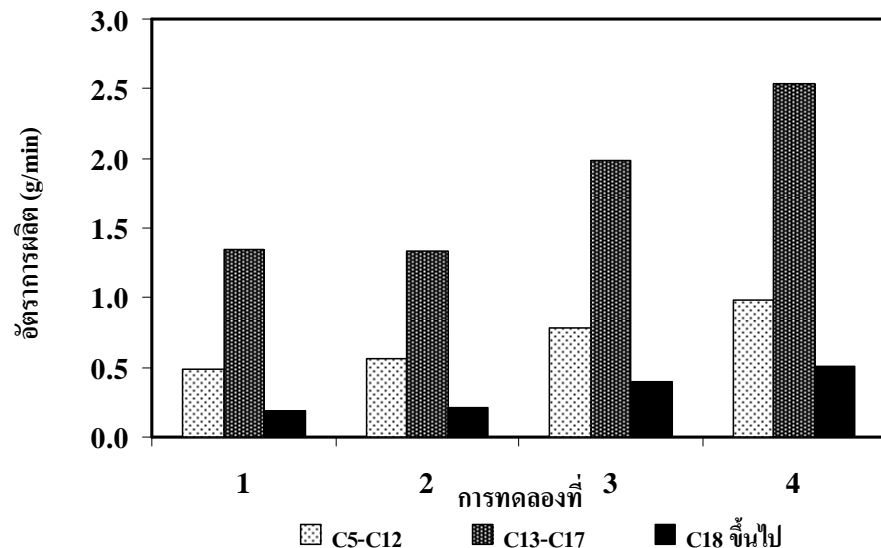


ภาพที่ 26 ร้อยละของผลิตภัณฑ์ที่ได้จากพลาสติกป้อนเมื่อทำการควบคุมอุณหภูมิแตกต่างกัน ในสภาวะเบนдин์ในสภาวะเบนдин์ (1 Umf) เมื่อป้อนพลาสติก 10 กรัม/นาที

8.3 องค์ประกอบของผลิตภัณฑ์ที่ได้เมื่อป้อนพลาสติกแบบป้อนและหยุดเป็นจังหวะต่อเนื่องในช่วงเบนдин์

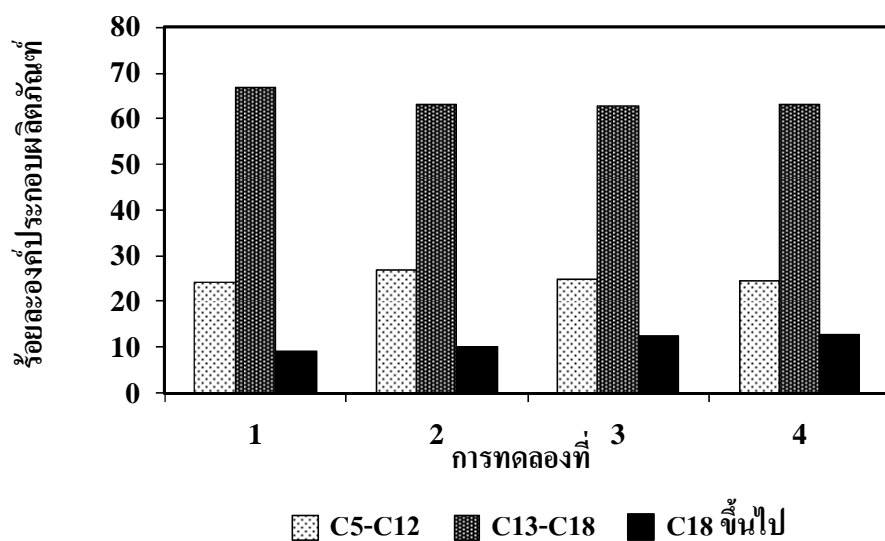
องค์ประกอบของผลิตภัณฑ์ของเหลว จาก 4 เงื่อนไขการทดลองซึ่งหาโดยวิธีกลั่นลำดับส่วน แบ่งเป็น 3 ส่วนคือ ส่วนที่เป็น C_5-C_{12} , $C_{13}-C_{17}$ และ C_{18} ขึ้นไป ผลแสดงดังภาพที่ 27

ในบริเวณที่ปล่อยก๊าซออก เมื่อมีอุณหภูมิสูง 450°C ทำให้ก๊าซผลิตภัณฑ์เกิดการแตกตัวต่อเป็นสารที่มีจำนวนคาร์บอนต่ำลง ถลายเป็นผลิตภัณฑ์ก๊าซมากขึ้น เกิดของเหลวที่มี C_5-C_{12} น้อย ในการทดลองที่ 2 และ 3 เมื่อทำการลดอุณหภูมิในบริเวณที่ปล่อยก๊าซออกเพื่อไม่ให้เกิดการแตกตัวถลายเป็นก๊าซมากเกิน ดังกล่าวมาแล้วในหัวข้อ 8.2 ได้ผลิตภัณฑ์ของเหลวที่มี C_5-C_{12} มากขึ้นเล็กน้อย ใน การทดลองที่ 4 ที่มีการลดอุณหภูมิเหนือปฏิกรณ์ให้ต่ำลง (ดูหัวข้อ 8.2) ผลิตภัณฑ์ของเหลวเกิดมากอย่างเห็นได้ชัดและเกิด C_5-C_{12} มากขึ้น เนื่องจากการลดอุณหภูมิที่ดำเนินการเหนือ แผ่นกระจายก๊าซ 100 ซม. เป็นเพียง 150°C ซึ่งทำให้ผลิตภัณฑ์ไม่ร้อนเกินไป แต่ในบริเวณสูงสุด ใกล้ทางออกของปฏิกรณ์ ต้องควบคุมให้อุณหภูมิไม่น้อยกว่า 300°C เพราะจะทำให้กลุ่ม $\text{C} \geq 18$ ควบแน่นและการอุดตัน



ภาพที่ 27 องค์ประกอบของพลาสติกที่ได้จากหน่วยความแน่น ในสภาพะเบดนิ่ง (1 Umf) เมื่อป้อนพลาสติก 10 กรัม/นาที

ในภาพที่ 28 พบร่วมกับองค์ประกอบของพลาสติกที่ C_5-C_{12} $C_{13}-C_{17}$ และ C_{18} ขี้นไป ในผลิตภัณฑ์ของเหลว มีค่าร้อยละของพลาสติกที่ C_5-C_{12} $C_{13}-C_{17}$ และ C_{18} ขี้นไป ในผลิตภัณฑ์ของเหลว มีค่าร้อยละเที่ยงกันใน 4 การทดลอง คือ ร้อยละ 24.29 26.74 24.71 24.45 ,ร้อยละ 66.67 63.11 62.75 62.93 และร้อยละ 9.04 10.15 12.54 12.62 ตามลำดับ ถึงแม้อัตราการผลิตของสารแต่ละช่วงในแต่ละเงื่อนไขจะไม่เท่ากัน (ดูภาพที่ 27)



ภาพที่ 28 ร้อยละขององค์ประกอบของพลาสติกที่ได้จากหน่วยความแน่น ในสภาพะเบดนิ่ง (1 Umf) เมื่อป้อนพลาสติก 10 กรัม/นาที

9. การแตกตัวของพอลิพรอพิลีนในปฏิกิริย়แบบฟ্লুอิไดซ์เบด เมื่อทำการป้อนพอลิพรอพิลีนแบบป้อนและหยุดเป็นจังหวะต่อเนื่อง

9.1 การแตกตัวของพอลิพรอพิลีนในปฏิกิริย়แบบฟ্লুอิไดซ์เบดเมื่อป้อนในโตรเจน 9.40 กิโลกรัม/นาที (1.3 เท่าของอัตราเร็วต่ำสุดเพื่อเกิดฟ্লুอิไดซ์ของเม็ดพลาสติก, 1.3 Umf)

การทดลองนี้ตั้งอัตราการไหลของไนโตรเจนไว้ที่ 9.40 กิโลกรัม/ชั่วโมง (1.3 เท่าของอัตราเร็วต่ำสุดเพื่อเกิดฟ্লুอิไดซ์ของเม็ดพลาสติก) การป้อนพลาสติกเข้าปฏิกิริย়จะทำการป้อนสลับการหยุดเป็นจังหวะต่อเนื่อง โดยในแต่ละรอบการป้อนใช้พลาสติก 50 กรัม ใช้เวลาการป้อน 30 วินาที การทดลองตั้งอุณหภูมิโดยเลือก 2 เงื่อนไข ดังแสดงในตารางที่ 8 โดยเงื่อนไขที่ 1 ทำการตั้งอุณหภูมิ 450°C ตลอดปฏิกิริย় เงื่อนไขที่ 2 ทำการปรับอุณหภูมิที่จุดเหนือแผ่นกระจายก๊าซ 10 ซม. และ จุดที่เหนือขึ้นไป 50 และ 100 ซม. เป็น 450°C ส่วนตำแหน่งที่ 100 ซม. เป็น 150°C เพื่อไม่ให้ก๊าซพลาสติกแตกตัวมากเกินไป

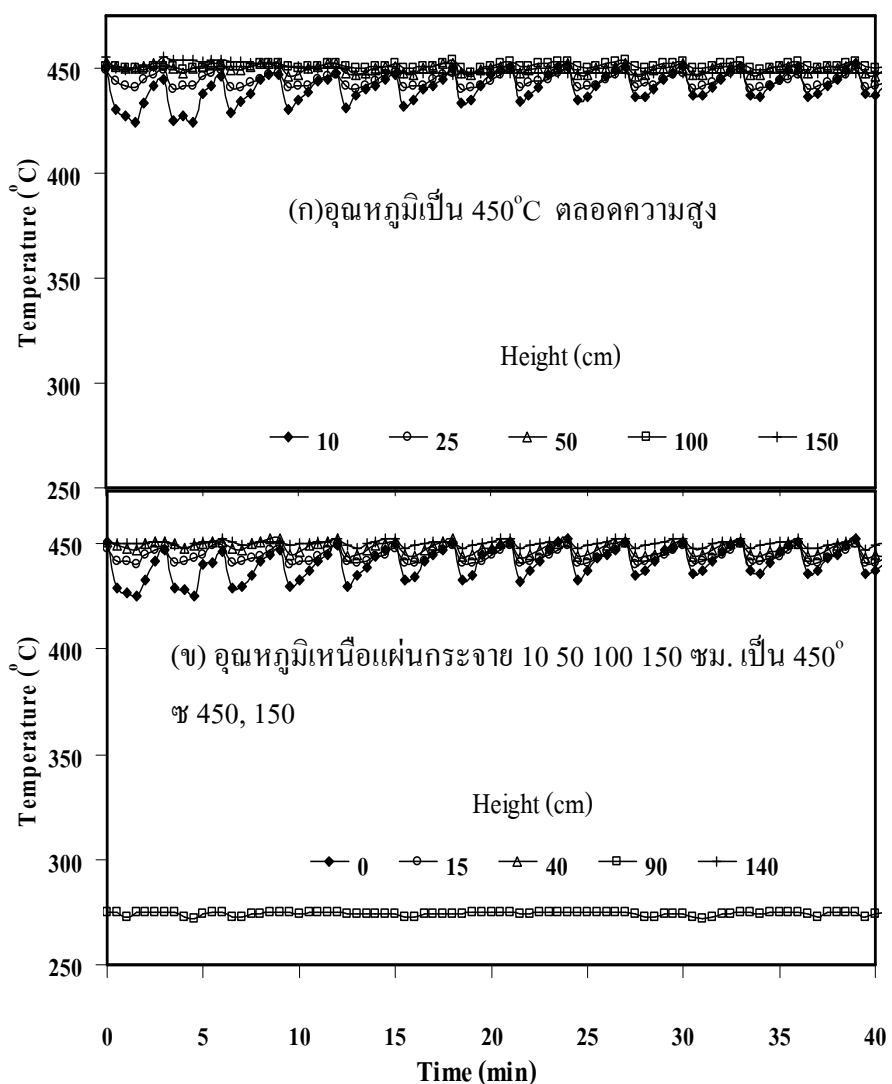
ตารางที่ 8 การตั้งอุณหภูมิตามความสูงของปฏิกิริย়ในสภาวะฟ্লুอิไดซ์เบด (ความเร็วก๊าซ 1.3 เท่าของอัตราเร็วต่ำสุดของเม็ดพลาสติก) เมื่อทำการป้อนพอลิพรอพิลีนสลับการหยุดเป็นจังหวะ

| การทดลองที่ | ความสูง (ซม.) | การตั้งอุณหภูมิตามความสูงจากแผ่นกระจายก๊าซ ($^{\circ}\text{C}$) | | | |
|-------------|---------------|---|-----|-----|-----|
| | | 10 | 50 | 100 | 150 |
| 1 | 450 | 450 | 450 | 450 | 450 |
| 2 | 450 | 450 | 150 | 450 | 450 |

9.1.1 ผลของอุณหภูมิต่อการแตกตัวของพลาสติก

ผลของอุณหภูมิแสดงในภาพที่ 29 และพบว่าเมื่อเริ่มป้อนพลาสติกไป 1-2 นาที แรกอุณหภูมิที่จุดเหนือแผ่นกระจายก๊าซ 10 ซม. จะลดลงอย่างรวดเร็ว คือลดลงจาก 450 ไปเป็น 435 และ 434°C สำหรับทั้ง 2 การทดลองตามลำดับ เนื่องจากการสูญเสียความร้อนให้กับพลาสติก ป้อนที่เย็นและการทำปฏิกิริยา หลังการทำปฏิกิริยาหมดแล้ว นาทีที่ 5 ได้ป้อนพลาสติกใหม้อีกครั้งทำต่อเนื่องเช่นนี้ 40 รอบ ส่วนบริเวณเหนือแผ่นกระจายก๊าซที่ 25 เซนติเมตร อุณหภูมิลดลงจาก 450

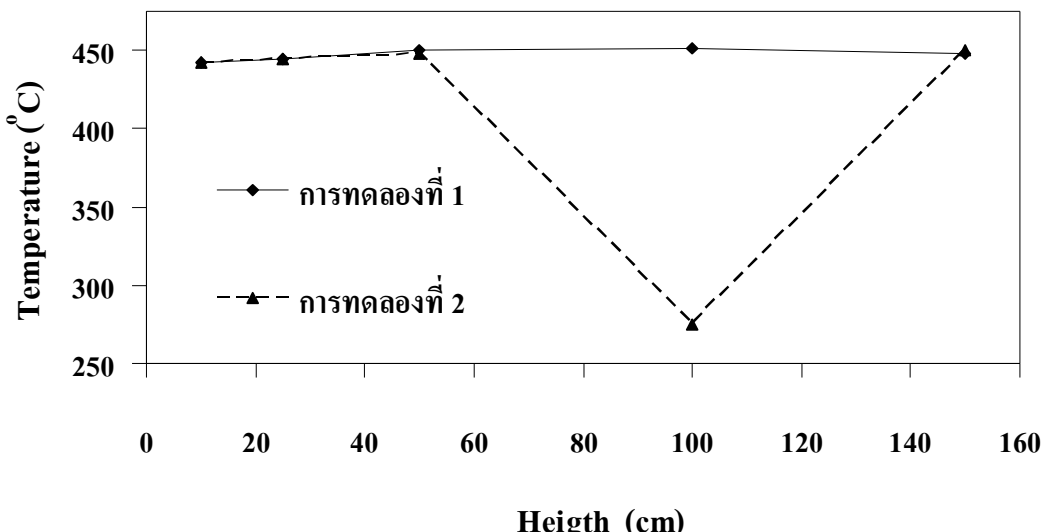
ไปเป็น 441 และ 440°C สำหรับทั้ง 2 การทดลองตามลำดับ เพราะสูญเสียความร้อนให้กับพลาสติกด้วยเช่นกัน แต่น้อยกว่าบริเวณด้านล่างเนื่องจากมีปริมาณพลาสติกกระจายน้อยกว่า ส่วนตำแหน่งเหนือแผ่นกระดาษก้าช ไป 50 เซนติเมตร อุณหภูมิลดลงจาก 450°C ไปเป็น 447 และ 444°C และที่ 150 เซนติเมตร อุณหภูมิเปลี่ยนแปลงจากจุดเริ่มป้อนพลาสติกไม่มากนัก ยกเว้นที่ตำแหน่ง 100 เซนติเมตรเหนือแผ่นกระดาษก้าช เมื่อตั้งค่าอุณหภูมิไว้ที่ 150°C พบว่าอุณหภูมิจึงเป็น 275°C เป็น เพราะอิทธิพลความร้อนจากเตาบริเวณใกล้เคียงที่ตั้งไว้ที่อุณหภูมิสูงกว่า



ภาพที่ 29 การแตกตัวของพลาสติก ณ เวลาต่าง ๆ เมื่อความคุณอุณหภูมิต่างกันโดยป้อนในไตรเจน 9.40 กิโลกรัม/ชั่วโมง ซึ่งได้ทำการควบคุมอุณหภูมิไว้ดังนี้ (ก) อุณหภูมิ ตลอดความสูง เป็น 450°C (ข) อุณหภูมิที่ 10, 50, 100 และ 150 ซม. เป็น $450, 450, 150$ และ 450°C ตามลำดับ ป้อนพลาสติก 50 กรัม/รอบ ในอัตรา 9.40 กิโลกรัม/นาที (1.3 Umf)

เมื่อทำการเคลือบอุณหภูมิตลอดเวลาในทั้ง 2 เสื่อน ໄว สำหรับการป้อนครम 40 รอบ ที่ความสูงหนีอ่อนกระจายก้าช 10, 25, 50, 100 และ 150 เซนติเมตร ของแต่ละความสูง แสดงได้ดังภาพที่ 30

จากภาพที่ 30 เมื่อตั้งอุณหภูมิตลอดปฏิกรณ์เป็น 450°C พบร่วมกันที่ 450 ชั่วโมง ที่ต่ำแน่น 10, 25, 50, 100, 150 ชั่วโมง. ตามลำดับ ในการทดลองที่ 2 เมื่อตั้งอุณหภูมิที่บริเวณใกล้ทางออกต่างๆ จะพบว่าอุณหภูมิเคลือบมีค่า 442, 445, 448, 275, 450°C ที่บริเวณ 10, 25, 50, 100, 150 ชั่วโมง. ตามลำดับ



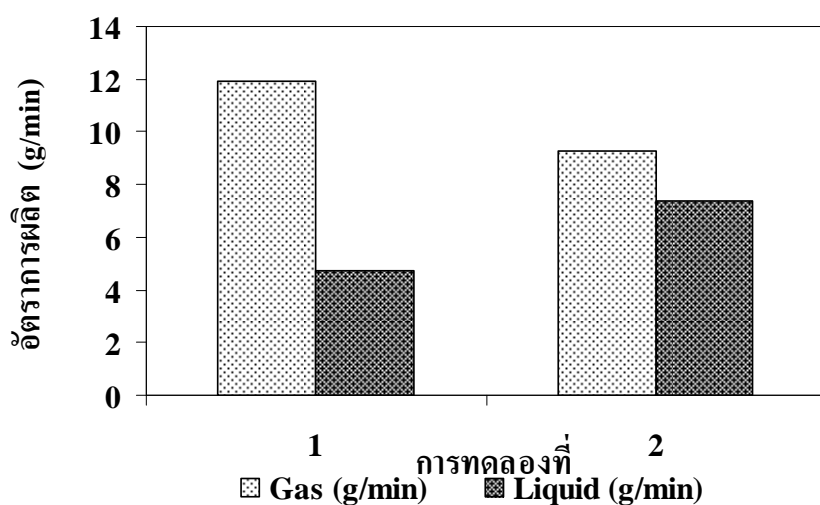
ภาพที่ 30 ค่าเคลือบของอุณหภูมิ ตามความสูงของปฏิกรณ์ฟลูอิไดซ์พร้อมอุณหภูมิที่ตั้งไว้เมื่อป้อน ในไตรเจน 9.40 กิโลกรัม/ชั่วโมง และป้อนพลาสติก 50 กรัมต่อรอบสลับการหยุดเป็น จังหวะต่อเนื่องกัน จำนวน 40 รอบ เมื่อทำการควบคุมอุณหภูมิไว้ 2 เสื่อน ໄว ตามตารางที่ 8

9.1.2 ผลิตภัณฑ์ที่ได้เมื่อป้อนพลาสติกแบบป้อนสลับหยุดเป็นจังหวะต่อเนื่องใน สภาวะฟลูอิไดซ์เบด (ความเร็วก้าชเป็น 1.3 เท่าของอัตราเร็วต่ำสุดเพื่อเกิดฟลูอิไดซ์ของเม็ด พลาสติก)

ปริมาณของผลิตภัณฑ์ที่ได้จากการควบคุมอุณหภูมิที่แตกต่างกันตามเงื่อนไขทั้ง 2 ในตารางที่ 8 (หัวข้อ 9.1.1)

ภาพที่ 31 แสดงอัตราการผลิตก้าชและของเหลวสำหรับการทดลองทั้ง 2 กรณี เมื่อตั้งอุณหภูมิไว้ที่ 450°C ตลอดทั้งปฏิกรณ์ ผลิตภัณฑ์ที่ได้ส่วนมากเป็นก้าช เพราะพลาสติกส่วน

ให้ญี่แตกตัวที่ด้านล่างของปฎิกรณ์ เมื่อไอผลิตภัณฑ์ลอยสูงไปที่ด้านบนของปฎิกรณ์ซึ่งมีอุณหภูมิสูงถึง 450°C จึงมีการแตกตัวต่ออีกเป็นสาร โมเลกุลเล็กลง ทำให้ในการทดลองที่ 1 ผลิตภัณฑ์ที่ได้ส่วนใหญ่เป็นก๊าซ ดังนั้นการทดลองที่ 2 จึงได้มีการลดอุณหภูมิที่ความสูง 100 ชม. จากจุดป้อนก๊าซลงมาเป็น 150°C เพื่อให้มีการแตกตัวของพลาสติกน้อยลง และจุดสูงสุดของปฎิกรณ์ยังคงเป็น 450°C ผลพบว่า ผลิตภัณฑ์ของเหลวเพิ่มจากเดิมอย่างเห็นได้ชัดในการทดลองที่ 2 จากการทดลองป้อนพลาสติก 50 กรัมต่อรอบ จะพบว่าอัตราการผลิตของเหลวเป็น 4.74 และ 7.40 กรัม/นาที ตามลำดับ

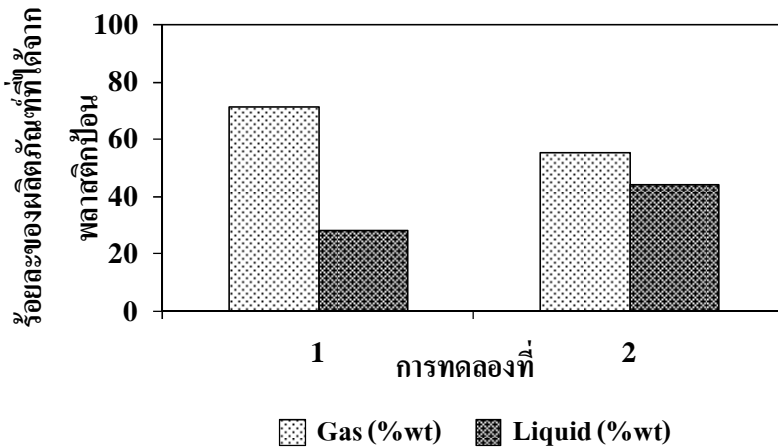


ภาพที่ 31 ผลิตภัณฑ์ก๊าซและของเหลวที่ได้จากหน่วยความแน่น จากปฎิกรณ์ฟลูอิไดซ์เบด
(ความเร็วก๊าซเป็น 1.3 เท่าของอัตราเร็วต่ำสุดเพื่อเกิดฟลูอิไดซ์ของเม็ดพลาสติก) อัตรา[†]
การป้อนพลาสติก 16.7 กรัม/นาที

จะพบว่าจากการทดลองด้วยสภาวะฟลูอิไดซ์ เมื่อป้อนพลาสติก 50 กรัม/รอบ และการให้ความร้อนที่เหมือนกัน (การทดลองที่ 1) จะพบว่าอัตราการป้อนพลาสติกในการทดลองนี้เป็น 16.7 กรัม/นาที สามารถทำได้เร็วกว่าในการทดลองแบบเบคนิ่ง (หัวข้อ 8) (อัตราป้อนของพลาสติก 10 กรัม/นาที) แสดงว่าการให้ของก๊าซที่เร็วขึ้น ทำให้เม็ดพลาสติกกระจายได้สูงกว่า อุณหภูมิใกล้บริเวณป้อนก๊าซจะเย็นลงน้อยกว่าเมื่อเกิดปฎิกรณ์ฯ จึงใช้วลาน้อยกว่าที่อุณหภูมิกลับไปที่อุณหภูมิเดิม จึงป้อนพลาสติกในรอบต่อไปได้เร็วขึ้น ดังนั้นจึงสามารถป้อนพลาสติกด้วยอัตราการป้อนที่เร็วขึ้น เมื่อเทียบกับสภาวะการป้อนก๊าซแบบเบคนิ่ง

ภาพที่ 32 แสดงผลิตภัณฑ์ก๊าซที่ได้เป็นร้อยละเทียบกับน้ำหนักพลาสติกเริ่มต้นผลที่ได้เป็นร้อยละ 71.57 และ 55.62 ตามลำดับ ส่วนผลิตภัณฑ์ของเหลวได้เป็นร้อยละ 28.44 และ 44.39 ตามลำดับ จะเห็นว่าของเหลวในการทดลองที่ 2 มีค่าเพิ่มขึ้นอย่างเห็นได้ชัด เพราะได้มีการ

ลดอุณหภูมิส่วนบนของปฏิกรณ์ลงเพื่อไม่ให้พลาสติกแตกตัวต่อไปเป็นก๊าซได้อีก ผลิตภัณฑ์ของเหลวที่ได้จึงมีปริมาณเพิ่มขึ้น



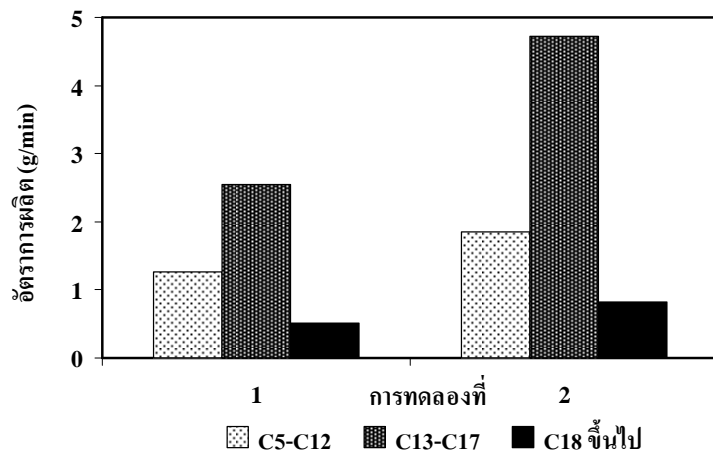
ภาพที่ 32 ร้อยละของผลิตภัณฑ์ที่ได้จากพลาสติกป้อนเมื่อทำการควบคุมอุณหภูมิแตกต่างกัน ในช่วงฟลูอิไดซ์เบด (ความเร็ว ก๊าซเป็น 1.3 เท่าของอัตราเร็วต่ำสุดเพื่อเกิดฟลูอิไดซ์ของเม็ดพลาสติก)

9.1.3 องค์ประกอบของผลิตภัณฑ์ที่ได้มีอ่อนพลาสติกแบบป้อนสลับหยุดเป็นจังหวะต่อเนื่องในสภาวะฟลูอิไดซ์เบด (ความเร็ว ก๊าซเป็น 1.3 เท่าของอัตราเร็วต่ำสุดเพื่อเกิดฟลูอิไดซ์ของเม็ดพลาสติก)

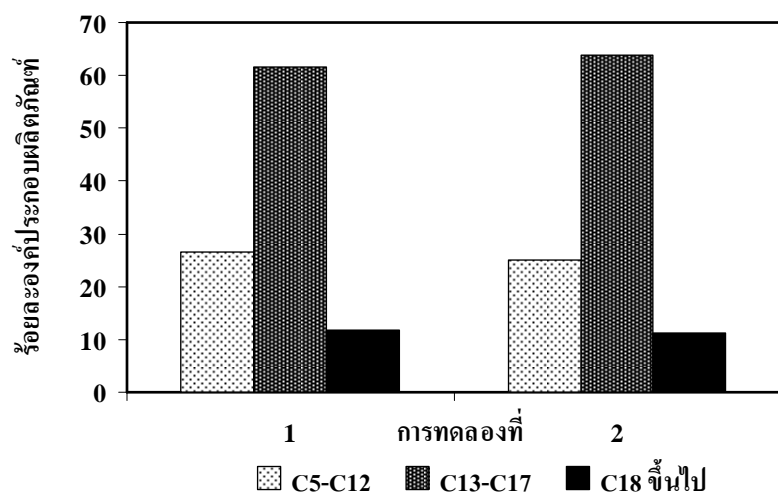
ผลิตภัณฑ์ของเหลว จาก 2 เสื่อน ในการทดลอง (ดูตารางที่ 8) นำไปหารือถะ องค์ประกอบของผลิตภัณฑ์โดยใช้วิธีกลั่นคั่บส่วน และแบ่งเป็น 3 ส่วน คือ ส่วนที่เป็น C_5-C_{12} , $C_{13}-C_{17}$ และ C_{18} ขึ้นไป แสดงได้ดังภาพที่ 33 และ 34

ในบริเวณที่ปล่อยก๊าซออก ถ้ามีอุณหภูมิสูง 450°C (การทดลองที่ 1) ทำให้ก๊าซผลิตภัณฑ์เกิดการแตกตัวต่อเกิดเป็นสารที่มีจำนวนcarbonต่ำลง ได้ผลิตภัณฑ์ก๊าซมากขึ้น จึงมีของเหลวทุกส่วนน้ำอยและมีพารามของเหลวน้ำอย เมื่อปรับตั้งอุณหภูมิบริเวณเหนือแผ่นกระจายก๊าซ $100 \text{ cm. เป็น } 150^{\circ}\text{C}$ อุณหภูมิก็จะเป็น 275°C (การทดลองที่ 2) ซึ่งทำให้ปฏิกรณ์ส่วนบนไม่ร้อนเกินไป ผลิตภัณฑ์ของเหลวแต่ละส่วนและค่ารวมจะมากขึ้นอย่างเห็นได้ชัด เมื่อคิดเป็นร้อยละของแต่ละส่วนจะไม่แตกต่างกันใน 2 การทดลอง แสดงว่าการแตกตัวต่ออีกเกิดขึ้นสม่ำเสมอในทุกส่วนขององค์ประกอบผลิตภัณฑ์ของเหลว การปรับอุณหภูมิไม่มีผลต่องค์ประกอบของเหลวที่ได้แต่ในบริเวณสูงสุดใกล้ทางออก ไม่สามารถควบคุมให้ต่ำกว่า 450°C ได้ เพราะจะทำให้ $C \geq 18$

ความแน่นและเกิดการอุดตัน อุณหภูมิในกรณีเบดนิ่ง (หัวข้อ 8) ที่ตั้งไว้ต่ำที่ 300°C ก็เพียงพอไม่ให้เกิดการอุดตัน อุณหภูมิที่ทางออกนี้ต้องตั้งสูงกว่า กรณีนี้ต้องตั้ง 450°C เนื่องจากมีปริมาณของคาร์บอนสูง ๆ ที่มากขึ้น เนื่องจากอัตราการผลิตของเหลวมากขึ้น



ภาพที่ 33 องค์ประกอบผลิตภัณฑ์ของเหลวที่ได้จากหน่วยความแน่น ในสภาวะฟลูอิไดซ์เบด
(ความเร็วกำลังเป็น 1.3 เท่าของอัตราเร็วต่ำสุดเพื่อเกิดฟลูอิไดซ์ของเม็ดพลาสติก) ซึ่ง
ปริมาณรวมของของเหลวในการทดลองที่ 1 น้อยกว่าในการทดลองที่ 2



ภาพที่ 34 ร้อยละองค์ประกอบผลิตภัณฑ์ของเหลวที่ได้จากหน่วยความแน่น ในสภาวะฟลูอิไดซ์เบด
(ความเร็วกำลังเป็น 1.3 เท่าของอัตราเร็วต่ำสุดเพื่อเกิดฟลูอิไดซ์ของเม็ดพลาสติก)

9.2 ผลของอุณหภูมิต่อการแตกตัวของพลาสติกเมื่อทำการปรับอัตราการไหลดของก๊าซเป็น 10.85 กิโลกรัม/ชั่วโมง (1.5 เท่าของอัตราเร็วต่ำสุดเพื่อเกิดฟลูอิไฟซ์ของเม็ดพลาสติก, 1.5 Umf)

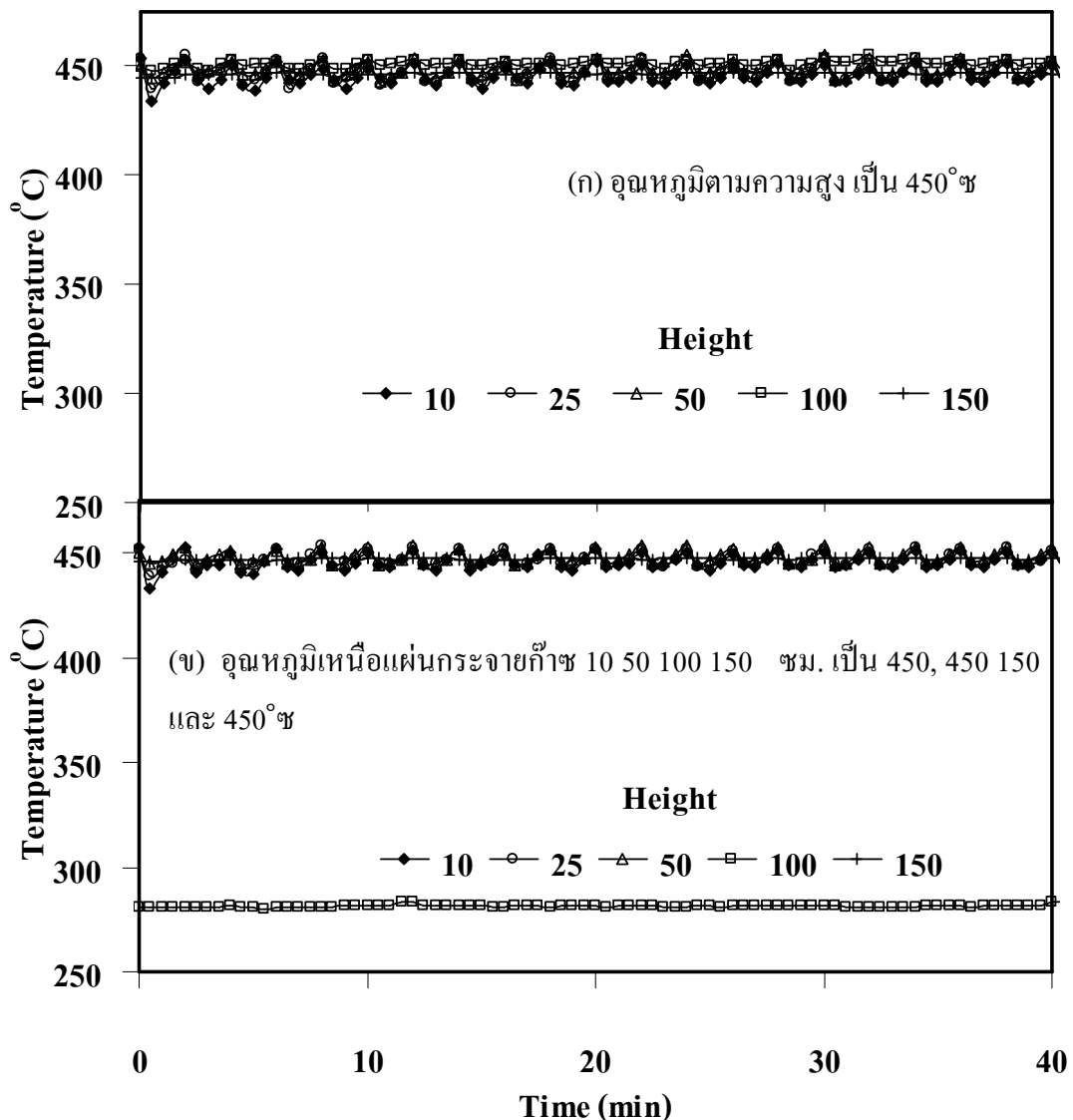
การทดลองนี้ปรับตั้งอัตราการไหลของไนโตรเจนไว้ที่ 10.85 กิโลกรัม/ชั่วโมง (1.5 เท่าของอัตราเร็วต่ำสุดเพื่อเกิดฟลูอิไดซ์ของพลาสติก, 1.5 Umf) การป้อนพลาสติกเข้าปั๊มกรณีเป็นแบบป้อนสลับหยุดเป็นจังหวะต่อเนื่อง โดยในแต่ละรอบการป้อนใช้พลาสติก 50 กรัม เวลาการป้อน 30 วินาที การทดลองทำที่ 2 เนื่องจาก โดยเงื่อนไขที่ 1 ทำการควบคุมอุณหภูมิ 450°C ตลอดปั๊มกรณีเงื่อนไขที่ 2 อุณหภูมิที่จุดเหนือแผ่นกระจาดก้าชชีนไป 10 50 และ 150 ซม. เป็น 450°C ส่วนที่ตำแหน่งหนึ่งเหนือแผ่นกระจาดก้าช 100 ซม. เป็น 150°C ตามตารางที่ 8 การปรับความเร็วของก้าชเป็น 1.5 Umf ได้ผลดังนี้

9.2.1 ผลของอณหภูมิต่อการแตกตัวของพลาสติก

ผลการทดลองจากการป้อนเม็ดพลาสติกต่ออุณหภูมิ พบว่าการป้อนพลาสติกทำให้อุณหภูมิลดลงแล้วจะเพิ่มขึ้นอีกกลับไปที่ได้ตั้งไว้ (set point) ดังแสดงในภาพที่ 35 เช่นเดียวกับกรณีของความเร็วแก๊สเป็น 1.3 Umf โดยเวลาที่พลาสติกแตกตัวทึบหมุดในแต่ละรอบเป็น 2 นาทีซึ่งอุณหภูมิจะลดลงและปรับเพิ่มขึ้นเป็นเท่าเดิมก่อนป้อนพลาสติกเมื่อเทียบกับ 5 นาที และ 3 นาที สำหรับการป้อนแก๊สที่ความเร็ว 1 Umf (เบดนิ่ง) และ 1.3 Umf ตามลำดับ

นอกจากเวลาการทำปฏิกริยาทั้งหมดในแต่ละรอบจะสั้นลงแล้ว การเพิ่มความเร็ว ก้าชยังทำให้ช่วงกว้างของการแก่วงของอุณหภูมิ (amplitude) ในแต่ละรอบลดลงด้วย ทั้งนี้เนื่องจาก ความเร็วของก้าชที่สูงขึ้นทำให้มีเดพลาสติกลดลงสูงขึ้นตามการขยายตัวของเบดการทำให้ตำแหน่งการ เกิดปฏิกริยาแตกตัวสูงขึ้น ช่วงกว้างในการแก่วงของอุณหภูมิจึงลดลง

การทดลองที่ความเร็วสูงขึ้นซึ่งทำให้เวลาการเกิดปฏิกิริยาแต่ละรอบสั้นลง เมื่อทำการป้อนพลาสติก 50 กรัมในแต่ละรอบ จึงทำให้อัตราการป้อนพลาสติกในการทดลองนี้มีค่าสูงกว่าการทดลองที่ความเร็วต่ำ ซึ่งอัตราการป้อนพลาสติกเป็น 25 กรัม/นาที (เทียบกับที่ความเร็ว 1.3 Umf มีอัตราการป้อนเป็น 16.7 กรัม/นาที)

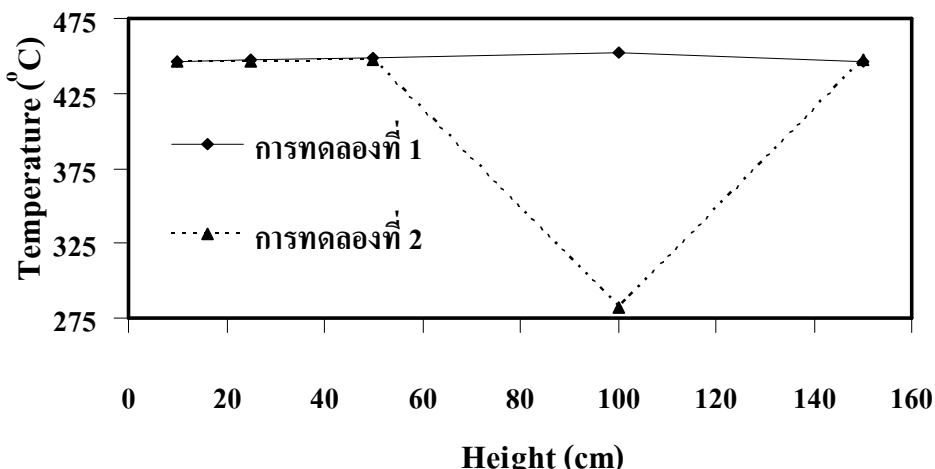


ภาพที่ 35 อุณหภูมิที่เวลาการแตกตัวต่าง ๆ ของพลาสติก โดยป้อนไนโตรเจน 10.85 กิโลกรัม/ชั่วโมง (ก) อุณหภูมิตามความสูง เป็น 450 °ช (ข) อุณหภูมิเหนือแผ่นกระายก้าว 10 50 100 150 ซม. เป็น 450, 450 150 และ 450 °ช

เมื่อทำการเฉลี่ยอุณหภูมิตตลอดเวลาในทั้ง 2 เงื่อนไขตามตารางที่ 8 สำหรับการป้อน 40 รอบ ที่ความสูงเหนือแผ่นกระายก้าว 10, 25, 50, 100 และ 150 เซนติเมตร แสดงได้ดังภาพที่ 36

จากภาพที่ 36 พบร่วมกันว่าอุณหภูมิเฉลี่ยในการทดสอบที่ 1 เป็น 446, 447, 448, 451, 446 °ช ที่ตำแหน่ง 10, 25, 50, 100, 150 ซม. ตามลำดับ และในการทดสอบที่ 2 เป็น 445, 446,

448, 282, 443°ซ สำหรับความสูง 10, 25, 50, 100, 150 ซม. ตามลำดับ ค่าเฉลี่ยของอุณหภูมิ ณ ตำแหน่งความสูงต่างๆ มีลักษณะเดียวกันกับการป้อนก้าชความเร็ว 1.3 Umf ความแตกต่างของความเร็ว ก้าชที่ทดสอบมีช่วงแคบไปที่จะแสดงให้เห็นผลชัดเจนเนื่องจากข้อจำกัดของเครื่องมือ ทดลองซึ่งควรจะได้มีการทดสอบต่อไปอีก

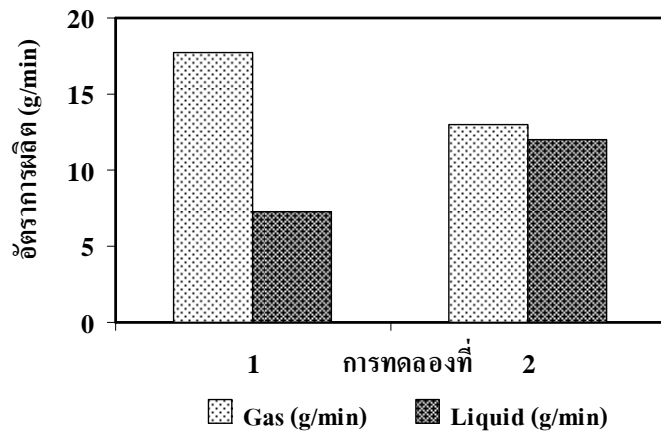


ภาพที่ 36 ค่าเฉลี่ยของอุณหภูมิ ตามความสูงของปฏิกรณ์ฟลูอิไดซ์พร้อมอุณหภูมิที่ตั้งไว้เมื่อป้อนในโตรเจน 10.85 กิโลกรัม/ชั่วโมง และป้อนพลาสติกสลับการหยุดเป็นจังหวะต่อเนื่องกัน 40 รอบ โดยทำการควบคุมอุณหภูมิไว้ 2 เสี้ยว นาทีตามตารางที่ 8

9.2.2 ผลิตภัณฑ์ที่ได้มีอีป้อนพลาสติกแบบป้อนสลับหยุดเป็นจังหวะต่อเนื่องในสภาวะฟลูอิไดซ์เบด (ความเร็ว ก้าช เป็น 1.5 เท่าของอัตราเร็วต่ำสุดการเกิดฟลูอิไดซ์ของเม็ดพลาสติก, 1.5 Umf)

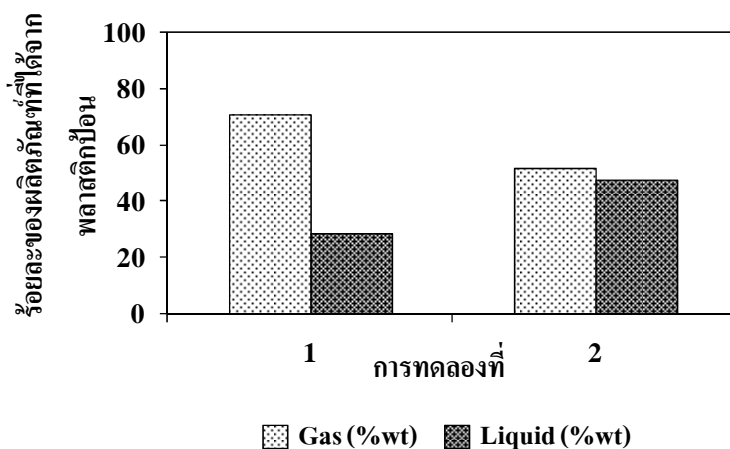
รับประทานผลิตภัณฑ์ที่ได้จากการควบคุมอุณหภูมิที่แตกต่างกันตามเงื่อนไข 2 ข้อ (หัวข้อ 9.1.1) ได้ผลดังนี้

ภาพที่ 37 แสดงอัตราการผลิต ก้าช และของเหลวสำหรับการทดลองทั้ง 2 กรณี ตามตารางที่ 8 ผลปรากฏว่าผลิตภัณฑ์เป็นลักษณะเดียวกับกรณีความเร็ว ก้าช เป็น 1.3 Umf แต่ มีอัตราการ ไหลของทุกส่วนสูงกว่ากรณี 1.3 Umf ชัดเจนในทั้งสองการทดลอง ในการทดลองที่ 2 ได้ของเหลว 12 กรัม/นาที ในขณะที่ เมื่อความเร็ว ก้าช ป้อนต่ำกว่าจะได้ของเหลว 7.4 กรัม/นาที นี่เองคืออัตราการป้อนพลาสติกสูงกว่านั้นเอง



ภาพที่ 37 ผลิตภัณฑ์ก๊าซและของเหลวที่ได้จากหน่วยความแน่น ในสภาวะฟลูอิడซ์เบด (ความเร็ว ก๊าซเป็น 1.5 เท่าของอัตราของเร็วต่ำสุดเพื่อเกิดฟลูอิಡซ์ของเม็ดพลาสติก) อัตราการป้อนพลาสติก 25กรัม/นาที

เมื่อคิดผลได้เป็นร้อยละเทียบกับหน่วยพลาสติกเริ่มต้นได้ผลดังแสดงในภาพที่ 38 จะเห็นว่าผลิตภัณฑ์เป็นก๊าซและของเหลวเมื่อคิดเป็นร้อยละของพลาสติกป้อน แตกต่างกับกรณีความเร็ว ก๊าซป้อนเป็น 1.3 Umf ไม่มากนัก นั่นคือในการทดลองที่ 2 ได้ก๊าซและของเหลวร้อยละ 52.02 และ 47.99 ตามลำดับ (เมื่อเทียบกับที่ความเร็วต่ำได้ก๊าซและของเหลวร้อยละ 59.63 และ 40.37) และแสดงว่าเมื่อเพิ่มความเร็ว ก๊าซป้อน ทำให้ป้อนพลาสติกได้มากขึ้นและเกิดของเหลวได้มากกว่า นอกจากนี้การเพิ่มความเร็ว ก๊าซป้อน ทำให้เวลาการแตกโโมเลกุลน้อยลง จึงลดการแตกตัวที่มากเกินไป ส่งผลให้ผลิตภัณฑ์ของเหลวมากขึ้น

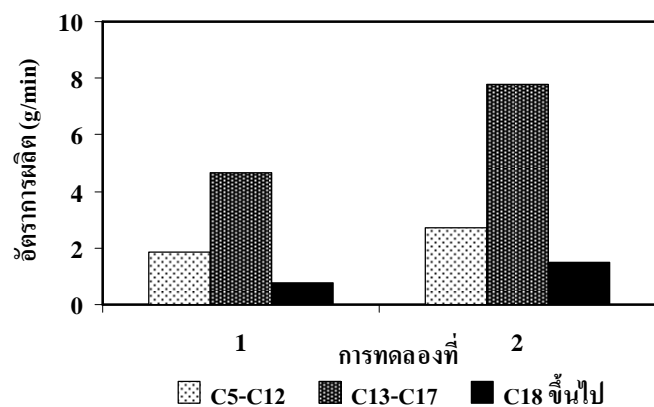


ภาพที่ 38 ร้อยละผลิตภัณฑ์ก๊าซและของเหลวที่ได้จากหน่วยความแน่น ในสภาวะฟลูอิడซ์เบด (ความเร็ว ก๊าซเป็น 1.5 เท่าของอัตราเร็วต่ำสุดเพื่อเกิดฟลูอิಡซ์ของเม็ดพลาสติก

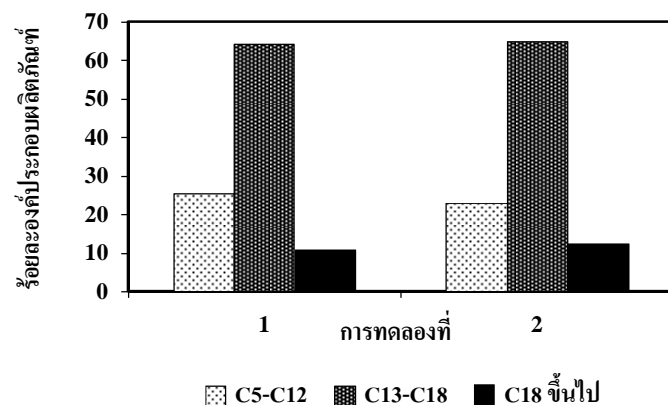
9.2.3 องค์ประกอบของเหลวที่ได้เมื่อป้อนพลาสติกแบบป้อนหยุดเป็นจังหวะต่อเนื่องในสภาวะฟลูอิไดซ์เบด (ความเร็วกระแทกเป็น 1.5 เท่าของอัตราเร็วต่ำสุดเพื่อเกิดฟลูอิไดซ์ของเม็ดพลาสติก)

องค์ประกอบของผลิตภัณฑ์ของเหลวจากการกลั่นลำดับส่วน โดยแบ่งเป็น 3 ส่วน คือ ส่วนที่เป็น C_5-C_{12} , $C_{13}-C_{17}$ และ C_{18} ขึ้นไป แสดงได้ดังภาพที่ 39 และ 40

ผลปรากฏว่าการกระจายขององค์ประกอบส่วนต่าง ๆ ทั้ง 3 องค์ประกอบ เป็นลักษณะเดียวกันกับกรณีที่ก๊าซมีความเร็ว 1.3 Umf และคงว่า แม้อัตราการเกิดปฏิกิริยาจะเร็วขึ้น และการกระจายขององค์ประกอบของของเหลวมากกว่า แม้จะเพิ่มความเร็วของก๊าซสูงขึ้น และฟลูอิไดซ์เบดขยายตัวมากขึ้น



ภาพที่ 39 องค์ประกอบของผลิตภัณฑ์ของเหลวที่ได้จากหน่วยความแน่น ในสภาวะฟลูอิไดซ์เบด (1.5 เท่าอัตราเร็วต่ำสุดเพื่อเกิดฟลูอิไดซ์ของพลาสติก)



ภาพที่ 40 ร้อยละขององค์ประกอบของผลิตภัณฑ์ของเหลวที่ได้จากหน่วยความแน่น ในสภาวะฟลูอิไดซ์เบด (1.5 เท่าอัตราเร็วต่ำสุดเพื่อเกิดฟลูอิไดซ์ของพลาสติก)

สรุปผลการทดลอง

งานวิจัยนี้เป็นการศึกษาสมรรถนะการแตกตัวของพอลิพรอพิลีน ในปฏิกรณ์ฟลูอิไซซ์เบด ไฟโรไไซส์ เพื่อให้ได้ผลิตภัณฑ์เป็นน้ำมันปิโตรเลียม ที่ในสภาวะการทดลองที่มีผลต่อการแตกตัวของพอลิพรอพิลีนต่าง ๆ ซึ่งสรุปผลได้ดังต่อไปนี้

ผลของปริมาณพลาสติกป้อนที่มีต่อการแตกตัวของพอลิพรอพิลีน

ในการทดลองได้ทำการกำหนดพลาสติกป้อนจำนวน 200, 100 และ 50 กรัม อุณหภูมิในปฏิกรณ์จะลดลง โดยอุณหภูมิลดลง 50, 25 และ 20°C ตามลำดับ จากอุณหภูมิเมื่อเริ่มป้อนพลาสติก (500°C) สรุปว่าเมื่อป้อนพลาสติกมากอุณหภูมิก็ลดลงมาก เนื่องจากความร้อนที่สูญเสียไปในการทำให้พลาสติกร้อนขึ้น และการดูดความร้อนในปฏิกริยาการแตกตัว ดังนั้นหากต้องการให้อุณหภูมิในเตาเปลี่ยนแปลงน้อยที่สุดต้องดูแลเวลาในการเดินเครื่องอย่างต่อเนื่อง ควรเลือกสภาวะการป้อนที่เหมาะสมกับปริมาณความร้อนที่มี หรือเพิ่มปริมาณความร้อนที่ให้ที่เหมาะสมกับปริมาณพลาสติกที่ป้อน

ผลของอุณหภูมิที่มีต่อการแตกตัวของพอลิพรอพิลีน

ในการทดลองทำการควบคุมอุณหภูมิไว้แตกต่างกัน โดยด้านล่างของปฏิกรณ์ทำการควบคุมอุณหภูมิไว้ที่ 450°C จะเป็นส่วนหลักที่เกิดปฏิกริยาการแตกตัว ส่วนที่อยู่เหนือขึ้นไป เมื่อลดอุณหภูมิที่ด้านบนของปฏิกรณ์ลงเพื่อให้มีการแตกตัวของพลาสติกน้อยลง จะเห็นได้ว่าผลิตภัณฑ์ของเหลวเพิ่มจากเดิมอย่างเห็นได้ชัด ในทุกอัตราการไหลของไนโตรเจน ดังนั้นการควบคุมไประไฟล์ของอุณหภูมิจึงมีความสำคัญในการลดการแตกตัวมากเกินพอก (over cracking)

ผลของอัตราการไหลของก๊าซที่มีต่อการแตกตัวของพอลิพรอพิลีน

ในการทดลองได้ทำการปรับตั้งอัตราการไหลของไนโตรเจนไว้ที่ 7.24, 9.40 และ 10.85 กิโลกรัม/ชั่วโมง (เป็น 1, 1.3 และ 1.5 เท่าของอัตราเริ่วต่าสุดเพื่อฟลูอิไซซ์ของเม็ดพลาสติก) และทำให้สามารถป้อนพลาสติกได้เป็น 10, 16.7, 25 กรัม/นาที ได้ปริมาณผลิตภัณฑ์ของเหลวเป็นร้อยละ 40.37, 44.39, 47.99 ตามลำดับ พบว่าเมื่อใช้อัตราการไหลของไนโตรเจนมาก ปริมาณผลิตภัณฑ์ของเหลวที่มีปริมาณเพิ่มขึ้นด้วย เพราะเมื่ออัตราการไหลมาก เวลาที่ทำปฏิกริยาน้อย ดังนั้นพลาสติกไม่แตกตัวเป็นก้าชมากเกินไป จึงมีผลิตภัณฑ์ของเหลวมากขึ้น

ของเหลวที่ได้เมื่อมีปริมาณเพิ่มขึ้น แต่จะมีการกระจายขององค์ประกอบใหม่อ่อนเดิมเมื่อแยกออกเป็นส่วน C_5-C_{12} , $C_{13}-C_{17}$ และ C_{18} ขึ้นไป

นอกจากนี้เมื่อเพิ่มอัตราการไอลของก๊าซจะทำให้อัตราการแตกตัวเพิ่มขึ้นด้วย

เอกสารและสิ่งอ้างอิง

ขัยนุรักษ์ พุ่มอิน. Kinetics Rate of Polypropylene Catalytic Cracking, การประชุมวิชาการ
วิศวกรรมเคมีและเคมีประยุกต์แห่งประเทศไทย ครั้งที่ 15, โรงแรมจอมเทียนปาล์มบีชรี
สอร์ท พัทยา ชลบุรี 27-28 ตุลาคม 2448.

ประเสริฐ เทียนนิมิตร, วัฒนชัยสิน ทิพย์สมบูรณ์ และ ปานเพชร ชินนิทร. 2544. เขื้อเพลิงเหลว
และสารหล่อลื่น. บริษัทซีเอ็ดьюเคชั่น จำกัด (มหาชน), กรุงเทพฯ.

ปราโมทย์ ไชยวัช และ นุรักษ์ กฤญาณุรักษ์. 2543. ปีตรเลียมเทคโนโลยี. ครั้งที่ 1. ภาควิชา
เคมีเทคนิค คณะวิทยาศาสตร์ จุฬาลงกรณ์มหาวิทยาลัย.

ไฟคาด นาคพิพัฒน์, ผลกระทบของโพลิโพรไพลีนและโพลิสไตรีนที่มีต่อการสลายตัวด้วยความ
ร้อนของไฮเดนชิต์-โพลิเอทิลีน, ภาควิชาวิศวกรรมเคมี คณะวิศวกรรมศาสตร์ สถาบัน
เทคโนโลยีพระจอมเกล้าเจ้าคุณทหารลาดกระบัง, วิศวกรรมสาร ม.ช. ปีที่ 27 ฉบับที่ 3 (21-
29) กค.- กย. 2543.

Buekens, A.G. and H. Huang. 1998. Catalytic plastics cracking for recovery of gasoline-range
hydrocarbons from municipal plastic wastes. **Resources, Conservation and Recycling**. 23:
163-181.

Campbell, D. and J.R. White. 1989. **Polymer characterization physical techniques**. Chapman
and Hall, New York.

Demirbas, A. 2004. Pyrolysis of municipal plastic wastes for recovery of gasoline-range
hydrocarbons. **Journal of Analytic and Analytical and Applied. Pyrolysis**. 72: 97-
102.

Gersten, J., V. Fainberg, G. Hetsroni and Y. Shindler. 2000. Kinetic study of the thermal

- decomposition of polypropylene, oil shale, and their mixture. **Fuel** 79: 1679-1686.
- Grace, J.R., A.A. Avidan and T.M. Knowlton. 1997. **Circulating Fluidized Beds**. Blackie Academic & Professional. London. 542-552.
- Lee, K.-H., N.-S. Noh, D.-H. Shin and Y. Seo. 2002. Comparison of plastic types for catalytic degradation of waste plastics into liquid product with spent FCC catalyst. **Polymer Degradation and Stability**. 78: 539-544.
- Levenspiel, O. 1999. **Chemical reaction engineering**. 3 rd., John Wiley and Sons, Inc., Singapore. 83-85.
- Levent Ballice and Rainer Reimert, Classification of volatile products from the temperature-programmed pyrolysis of polypropylene (PP), atactic-polypropylene (APP) and thermogravimetrically derived kinetics of pyrolysis, **Chemical Engineering and Processing** 41 (2002) 289–296.
- Mohammad A and Abul-Hamayel, Kinetic modeling of high-severity fluidized catalytic cracking, **Fuel** 82 (2003) 1113–1118.
- Navarro, R., L. Torre, J.M. Kenny and A. Jimenez. 2003. Thermal degradation of recycled polypropylene toughened with elastomers. **Polymer Degradation and Stability** 82: 279-290.
- Venuto, P.B., E.T. Habib. 1979. **Fluid Catalytic Cracking with Zeolite Catalysts**. Marcel Dekker, Inc., New York
- W. Kaminsky, M. Predel, A. Sadiki. 2004. Feedstock recycling of polymers by pyrolysis in a fluidized bed. **Polymer Degradation and Stability**. 85:1045-1050
- Warren L. McCabe, Julian C. Smith and Peter Harriott, **Unit Operation of Chemical Engineering**. 6th edition, McGraw-Hill Book company, New York, USA, 2001.

Williams P.T. and E.A. Williums. 1999. Fluidised bed pyrolysis of low density polyethylene to produce petrochemical feedstock. **J. Anal. Appl. Pyrolysis** . 51: 107-126.

Williams P.T. and Slaney E. 2007. Analysis of products from the pyrolysis and liquefaction of single plastic mixtures. **Resources conservation & recycling**. 51: 754-769.

<http://www.elmhurst.edu/~chm/vchembook.html>, Discussion Board, Lab and Exam Reports,
Grades Meets the Elmhurst College General Education Category Requirement (IST).

ภาคพนวก

1. อุณหภูมิ และอัตราการไหลดเมื่อทำการป้อนพลาสติกแบบหยุดเป็นจังหวะต่อเนื่อง 50 กรัมในสภาวะเบคนิ่ง

ตารางผนวกที่ 1 อุณหภูมิ และอัตราการไหลดเมื่อทำการป้อนพลาสติกแบบหยุดเป็นจังหวะต่อเนื่อง 50 กรัมในสภาวะเบคนิ่งตั้งอุณหภูมิที่ 450°C ตลอดความสูง

| เวลา (min) | ความสูง (cm) | | | | | อัตราการไหลด (l/min) | | |
|---------------|--------------|-----|-----|-----|-----|----------------------|-------|-------|
| | 10 | 25 | 50 | 100 | 150 | 1 | 2 | 3 |
| 0 | 450 | 452 | 446 | 451 | 456 | 277.45 | 44.18 | 34.94 |
| 2 | 445 | 448 | 449 | 452 | 457 | 284.20 | 46.49 | 32.63 |
| 4 | 450 | 450 | 452 | 453 | 456 | 284.20 | 53.42 | 41.87 |
| 6 | 435 | 449 | 451 | 453 | 457 | 290.95 | 55.73 | 46.49 |
| 8 | 442 | 449 | 451 | 451 | 456 | 290.95 | 60.35 | 44.18 |
| 10 | 450 | 450 | 452 | 452 | 457 | 284.20 | 53.42 | 41.87 |
| 12 | 434 | 445 | 450 | 451 | 455 | 284.20 | 60.35 | 44.18 |
| 14 | 445 | 450 | 452 | 452 | 455 | 290.95 | 53.42 | 41.87 |
| 16 | 435 | 447 | 452 | 453 | 455 | 290.95 | 55.73 | 44.18 |
| 18 | 442 | 450 | 450 | 452 | 454 | 290.95 | 55.73 | 44.18 |
| 20 | 451 | 452 | 451 | 451 | 454 | 284.20 | 53.42 | 39.56 |
| 22 | 440 | 451 | 451 | 452 | 454 | 290.95 | 62.66 | 41.87 |
| 24 | 449 | 449 | 450 | 452 | 453 | 290.95 | 55.73 | 44.18 |
| 26 | 433 | 450 | 450 | 451 | 452 | 284.20 | 55.73 | 41.87 |
| 28 | 440 | 449 | 449 | 450 | 453 | 290.95 | 58.04 | 44.18 |
| 30 | 451 | 450 | 451 | 451 | 454 | 284.20 | 53.42 | 39.56 |
| 32 | 438 | 450 | 452 | 452 | 454 | 290.95 | 62.66 | 39.56 |
| 34 | 447 | 448 | 451 | 452 | 453 | 290.95 | 55.73 | 41.87 |
| 36 | 434 | 451 | 451 | 451 | 453 | 284.20 | 55.73 | 44.18 |
| 38 | 442 | 447 | 449 | 450 | 453 | 297.70 | 60.35 | 41.87 |
| 40 | 452 | 451 | 452 | 450 | 453 | 284.20 | 53.42 | 39.56 |
| 42 | 437 | 449 | 451 | 451 | 454 | 290.95 | 60.35 | 44.18 |

ตารางผนวกที่ 1 (ต่อ)

| เวลา (min) | ความสูง (cm) | | | | | อัตราการไหล (l/min) | | |
|---------------|--------------|-----|-----|-----|-----|---------------------|-------|-------|
| | 10 | 25 | 50 | 100 | 150 | 1 | 2 | 3 |
| 44 | 448 | 449 | 450 | 452 | 453 | 284.20 | 55.73 | 41.87 |
| 46 | 435 | 451 | 452 | 452 | 454 | 284.20 | 58.04 | 41.87 |
| 48 | 439 | 447 | 451 | 451 | 454 | 297.70 | 55.73 | 41.87 |
| 50 | 451 | 451 | 451 | 451 | 453 | 284.20 | 53.42 | 39.56 |
| 52 | 437 | 452 | 452 | 451 | 452 | 290.95 | 60.35 | 41.87 |
| 54 | 449 | 448 | 450 | 452 | 453 | 284.20 | 53.42 | 41.87 |
| 56 | 435 | 450 | 451 | 451 | 452 | 284.20 | 53.42 | 41.87 |
| 58 | 445 | 446 | 449 | 450 | 452 | 297.70 | 60.35 | 41.87 |
| 60 | 451 | 451 | 451 | 451 | 452 | 284.20 | 53.42 | 41.87 |
| 62 | 437 | 448 | 451 | 450 | 453 | 290.95 | 62.66 | 41.87 |
| 64 | 448 | 450 | 451 | 451 | 452 | 290.95 | 55.73 | 41.87 |
| 66 | 432 | 451 | 451 | 450 | 452 | 284.20 | 58.04 | 41.87 |
| 68 | 441 | 447 | 449 | 451 | 452 | 297.70 | 55.73 | 41.87 |
| 70 | 451 | 451 | 452 | 452 | 452 | 284.20 | 53.42 | 41.87 |
| 72 | 435 | 449 | 450 | 452 | 453 | 297.70 | 62.66 | 44.18 |
| 74 | 448 | 450 | 450 | 452 | 452 | 290.95 | 53.42 | 41.87 |
| 76 | 432 | 450 | 451 | 452 | 452 | 290.95 | 55.73 | 41.87 |
| 78 | 446 | 447 | 449 | 452 | 453 | 290.95 | 58.04 | 41.87 |
| 80 | 452 | 450 | 451 | 452 | 452 | 284.20 | 53.42 | 41.87 |
| 82 | 438 | 449 | 450 | 452 | 453 | 290.95 | 62.66 | 44.18 |
| 84 | 450 | 449 | 450 | 451 | 452 | 290.95 | 55.73 | 41.87 |
| 86 | 432 | 451 | 452 | 452 | 453 | 290.95 | 55.73 | 44.18 |
| 88 | 445 | 448 | 450 | 452 | 452 | 297.70 | 55.73 | 41.87 |
| 90 | 451 | 451 | 451 | 451 | 453 | 284.20 | 53.42 | 39.56 |

ตารางผนวกที่ 1 (ต่อ)

| เวลา (min) | ความสูง (cm) | | | | | อัตราการไหล (l/min) | | |
|---------------|--------------|-----|-----|-----|-----|---------------------|-------|-------|
| | 10 | 25 | 50 | 100 | 150 | 1 | 2 | 3 |
| 92 | 435 | 447 | 450 | 452 | 453 | 290.95 | 62.66 | 44.18 |
| 94 | 449 | 450 | 450 | 451 | 452 | 290.95 | 55.73 | 41.87 |
| 96 | 432 | 451 | 451 | 452 | 452 | 284.20 | 55.73 | 41.87 |
| 98 | 442 | 448 | 450 | 451 | 454 | 297.70 | 58.04 | 41.87 |
| 100 | 451 | 451 | 449 | 452 | 454 | 284.20 | 53.42 | 39.56 |
| 102 | 438 | 448 | 452 | 452 | 452 | 290.95 | 64.97 | 44.18 |
| 104 | 449 | 450 | 451 | 451 | 453 | 290.95 | 55.73 | 41.87 |
| 106 | 435 | 451 | 452 | 452 | 453 | 290.95 | 55.73 | 41.87 |
| 108 | 441 | 448 | 449 | 452 | 452 | 297.70 | 55.73 | 44.18 |
| 110 | 451 | 451 | 452 | 453 | 453 | 284.20 | 53.42 | 39.56 |
| 112 | 435 | 449 | 451 | 452 | 452 | 290.95 | 62.66 | 44.18 |
| 114 | 450 | 449 | 450 | 451 | 453 | 290.95 | 55.73 | 41.87 |
| 116 | 434 | 451 | 451 | 452 | 453 | 290.95 | 55.73 | 41.87 |
| 118 | 444 | 448 | 447 | 452 | 453 | 297.70 | 55.73 | 44.18 |
| 120 | 450 | 451 | 451 | 452 | 452 | 284.20 | 53.42 | 41.87 |
| 122 | 440 | 450 | 451 | 449 | 453 | 290.95 | 62.66 | 44.18 |
| 124 | 450 | 449 | 451 | 452 | 452 | 290.95 | 55.73 | 41.87 |
| 126 | 430 | 451 | 451 | 452 | 453 | 290.95 | 55.73 | 41.87 |
| 128 | 440 | 448 | 450 | 450 | 451 | 297.70 | 55.73 | 44.18 |
| 130 | 451 | 451 | 452 | 452 | 452 | 284.20 | 51.11 | 39.56 |
| 132 | 436 | 448 | 450 | 452 | 453 | 290.95 | 62.66 | 44.18 |
| 134 | 448 | 448 | 450 | 448 | 452 | 290.95 | 58.04 | 41.87 |
| 136 | 432 | 451 | 452 | 452 | 453 | 290.95 | 55.73 | 41.87 |
| 138 | 443 | 448 | 449 | 452 | 452 | 297.70 | 58.04 | 41.87 |

ตารางผนวกที่ 1 (ต่อ)

| เวลา (min) | ความสูง (cm) | | | | | อัตราการไหล (l/min) | | |
|---------------|--------------|-----|-----|-----|-----|---------------------|-------|-------|
| | 10 | 25 | 50 | 100 | 150 | 1 | 2 | 3 |
| 140 | 451 | 451 | 452 | 452 | 453 | 284.20 | 53.42 | 39.56 |
| 142 | 435 | 449 | 451 | 451 | 452 | 297.70 | 62.66 | 44.18 |
| 144 | 449 | 449 | 450 | 450 | 452 | 290.95 | 55.73 | 41.87 |
| 146 | 431 | 451 | 452 | 452 | 452 | 290.95 | 55.73 | 41.87 |
| 148 | 445 | 448 | 448 | 452 | 453 | 297.70 | 55.73 | 44.18 |
| 150 | 451 | 450 | 452 | 453 | 452 | 284.20 | 51.11 | 39.56 |
| 152 | 437 | 449 | 450 | 451 | 452 | 290.95 | 64.97 | 44.18 |
| 154 | 448 | 450 | 448 | 452 | 453 | 290.95 | 55.73 | 41.87 |
| 156 | 432 | 451 | 451 | 451 | 453 | 290.95 | 55.73 | 44.18 |
| 158 | 448 | 450 | 449 | 451 | 452 | 290.95 | 55.73 | 41.87 |
| 160 | 451 | 450 | 451 | 452 | 452 | 284.20 | 55.73 | 41.87 |
| 162 | 436 | 450 | 450 | 451 | 453 | 290.95 | 64.97 | 44.18 |
| 164 | 450 | 449 | 451 | 449 | 453 | 290.95 | 55.73 | 41.87 |
| 166 | 431 | 451 | 452 | 451 | 452 | 290.95 | 55.73 | 41.87 |
| 168 | 446 | 449 | 449 | 452 | 452 | 297.70 | 58.04 | 41.87 |
| 170 | 451 | 450 | 452 | 451 | 453 | 284.20 | 53.42 | 39.56 |
| 172 | 438 | 451 | 449 | 451 | 452 | 297.70 | 64.97 | 44.18 |
| 174 | 449 | 449 | 450 | 449 | 453 | 290.95 | 55.73 | 41.87 |
| 176 | 434 | 450 | 451 | 452 | 453 | 290.95 | 55.73 | 44.18 |
| 178 | 449 | 447 | 449 | 451 | 453 | 297.70 | 58.04 | 41.87 |
| 180 | 451 | 450 | 452 | 452 | 453 | 284.20 | 53.42 | 39.56 |
| 182 | 438 | 449 | 451 | 451 | 452 | 297.70 | 62.66 | 44.18 |
| 184 | 450 | 449 | 447 | 451 | 453 | 290.95 | 55.73 | 41.87 |

ตารางผนวกที่ 1 (ต่อ)

| เวลา (min) | ความสูง (cm) | | | | | อัตราการไหล (l/min) | | |
|---------------|--------------|-----|-----|-----|-----|---------------------|-------|-------|
| | 10 | 25 | 50 | 100 | 150 | 1 | 2 | 3 |
| 186 | 432 | 451 | 450 | 452 | 452 | 290.95 | 55.73 | 44.18 |
| 188 | 442 | 447 | 450 | 449 | 452 | 297.70 | 55.73 | 44.18 |
| 190 | 450 | 452 | 450 | 450 | 453 | 284.20 | 53.42 | 39.56 |
| 192 | 438 | 449 | 450 | 450 | 452 | 290.95 | 64.97 | 44.18 |
| 194 | 450 | 450 | 450 | 451 | 452 | 290.95 | 55.73 | 41.87 |
| 196 | 432 | 451 | 450 | 451 | 452 | 290.95 | 55.73 | 41.87 |
| 198 | 444 | 448 | 451 | 450 | 453 | 297.70 | 55.73 | 41.87 |
| 200 | 451 | 451 | 452 | 451 | 452 | 290.95 | 53.42 | 41.87 |

ตารางผนวกที่ 2 อุณหภูมิ และอัตราการไหลดเมื่อทำการป้อนพลาสติกแบบหยุดเป็นจังหวะต่อเนื่อง 50 กรัมในสภาวะเบคนิ่ง 2 ตั้งอุณหภูมิที่จุดเหนือแผ่นกระจายก้าช 10 ซม. เป็น 450 °C เหนือขึ้นไป เป็น 430 °C

| เวลา (min) | ความสูง (cm) | | | | | อัตราการไหลด (l/min) | | |
|---------------|--------------|-----|-----|-----|-----|----------------------|-------|-------|
| | 10 | 25 | 50 | 100 | 150 | 1 | 2 | 3 |
| 0 | 454 | 439 | 436 | 429 | 427 | 277.45 | 44.18 | 34.94 |
| 2 | 433 | 436 | 434 | 429 | 427 | 284.20 | 46.49 | 32.63 |
| 4 | 445 | 437 | 433 | 429 | 427 | 284.20 | 58.04 | 46.49 |
| 6 | 434 | 436 | 432 | 429 | 427 | 290.95 | 58.04 | 46.49 |
| 8 | 444 | 437 | 433 | 429 | 427 | 290.95 | 62.66 | 44.18 |
| 10 | 449 | 438 | 432 | 429 | 427 | 284.20 | 53.42 | 41.87 |
| 12 | 434 | 435 | 432 | 429 | 427 | 284.20 | 58.04 | 44.18 |
| 14 | 445 | 437 | 431 | 430 | 427 | 284.20 | 60.35 | 44.18 |
| 16 | 432 | 436 | 432 | 429 | 427 | 290.95 | 55.73 | 44.18 |
| 18 | 440 | 437 | 431 | 429 | 427 | 290.95 | 64.97 | 44.18 |
| 20 | 451 | 438 | 432 | 429 | 427 | 284.20 | 53.42 | 39.56 |
| 22 | 435 | 436 | 432 | 430 | 427 | 290.95 | 62.66 | 44.18 |
| 24 | 448 | 437 | 431 | 429 | 427 | 290.95 | 64.97 | 44.18 |
| 26 | 433 | 437 | 431 | 429 | 427 | 284.20 | 55.73 | 41.87 |
| 28 | 440 | 437 | 431 | 429 | 427 | 297.70 | 62.66 | 44.18 |
| 30 | 450 | 437 | 431 | 429 | 427 | 284.20 | 53.42 | 39.56 |
| 32 | 437 | 435 | 431 | 429 | 427 | 290.95 | 60.35 | 39.56 |
| 34 | 447 | 437 | 431 | 429 | 427 | 290.95 | 67.28 | 44.18 |
| 36 | 430 | 437 | 431 | 429 | 427 | 290.95 | 58.04 | 44.18 |
| 38 | 441 | 436 | 431 | 429 | 427 | 290.95 | 67.28 | 41.87 |
| 40 | 452 | 437 | 432 | 429 | 427 | 284.20 | 55.73 | 39.56 |
| 42 | 435 | 434 | 431 | 429 | 427 | 290.95 | 62.66 | 44.18 |
| 44 | 448 | 437 | 431 | 429 | 427 | 284.20 | 62.66 | 39.56 |
| 46 | 432 | 436 | 431 | 429 | 427 | 284.20 | 58.04 | 41.87 |

ตารางผนวกที่ 2 (ต่อ)

| เวลา (min) | ความสูง (cm) | | | | | อัตราการไหล (l/min) | | |
|---------------|--------------|-----|-----|-----|-----|---------------------|-------|-------|
| | 10 | 25 | 50 | 100 | 150 | 1 | 2 | 3 |
| 48 | 440 | 437 | 431 | 429 | 427 | 297.70 | 71.90 | 41.87 |
| 50 | 451 | 438 | 431 | 429 | 427 | 284.20 | 55.73 | 39.56 |
| 52 | 435 | 435 | 431 | 429 | 427 | 290.95 | 62.66 | 39.56 |
| 54 | 447 | 437 | 432 | 429 | 427 | 290.95 | 60.35 | 41.87 |
| 56 | 431 | 437 | 432 | 429 | 427 | 284.20 | 60.35 | 41.87 |
| 58 | 441 | 437 | 431 | 429 | 427 | 297.70 | 67.28 | 44.18 |
| 60 | 452 | 437 | 432 | 429 | 427 | 284.20 | 53.42 | 41.87 |
| 62 | 433 | 435 | 432 | 429 | 427 | 290.95 | 69.59 | 44.18 |
| 64 | 448 | 437 | 431 | 429 | 427 | 290.95 | 67.28 | 41.87 |
| 66 | 431 | 437 | 431 | 429 | 427 | 290.95 | 58.04 | 41.87 |
| 68 | 441 | 437 | 431 | 429 | 427 | 297.70 | 71.90 | 41.87 |
| 70 | 451 | 437 | 431 | 429 | 427 | 284.20 | 55.73 | 41.87 |
| 72 | 436 | 435 | 432 | 429 | 427 | 297.70 | 71.90 | 44.18 |
| 74 | 448 | 437 | 431 | 429 | 427 | 284.20 | 58.04 | 41.87 |
| 76 | 433 | 437 | 431 | 429 | 427 | 290.95 | 62.66 | 41.87 |
| 78 | 445 | 437 | 431 | 429 | 427 | 290.95 | 67.28 | 44.18 |
| 80 | 452 | 437 | 431 | 429 | 427 | 284.20 | 55.73 | 41.87 |
| 82 | 438 | 435 | 432 | 429 | 427 | 290.95 | 67.28 | 44.18 |
| 84 | 449 | 437 | 430 | 429 | 427 | 290.95 | 62.66 | 41.87 |
| 86 | 431 | 437 | 430 | 429 | 427 | 290.95 | 62.66 | 44.18 |
| 88 | 445 | 436 | 431 | 429 | 427 | 297.70 | 71.90 | 44.18 |
| 90 | 451 | 437 | 431 | 429 | 427 | 284.20 | 60.35 | 39.56 |
| 92 | 437 | 435 | 432 | 429 | 427 | 290.95 | 67.28 | 44.18 |

ตารางผนวกที่ 2 (ต่อ)

| เวลา (min) | ความสูง (cm) | | | | | อัตราการไหล (l/min) | | |
|---------------|--------------|-----|-----|-----|-----|---------------------|-------|-------|
| | 10 | 25 | 50 | 100 | 150 | 1 | 2 | 3 |
| 94 | 449 | 437 | 431 | 429 | 427 | 290.95 | 62.66 | 41.87 |
| 96 | 431 | 436 | 431 | 429 | 427 | 284.20 | 60.35 | 41.87 |
| 98 | 445 | 436 | 431 | 429 | 427 | 297.70 | 71.90 | 44.18 |
| 100 | 451 | 437 | 431 | 429 | 427 | 284.20 | 58.04 | 39.56 |
| 102 | 438 | 435 | 431 | 429 | 427 | 297.70 | 69.59 | 44.18 |
| 104 | 448 | 437 | 431 | 429 | 427 | 290.95 | 62.66 | 41.87 |
| 106 | 432 | 437 | 431 | 429 | 427 | 290.95 | 60.35 | 41.87 |
| 108 | 445 | 437 | 430 | 429 | 427 | 297.70 | 69.59 | 44.18 |
| 110 | 451 | 438 | 431 | 429 | 427 | 284.20 | 55.73 | 39.56 |
| 112 | 437 | 435 | 431 | 428 | 427 | 290.95 | 69.59 | 44.18 |
| 114 | 449 | 437 | 431 | 429 | 427 | 290.95 | 67.28 | 41.87 |
| 116 | 432 | 437 | 432 | 429 | 427 | 290.95 | 62.66 | 41.87 |
| 118 | 445 | 436 | 431 | 429 | 427 | 297.70 | 67.28 | 44.18 |
| 120 | 451 | 439 | 431 | 429 | 427 | 284.20 | 55.73 | 41.87 |
| 122 | 439 | 436 | 431 | 429 | 427 | 297.70 | 69.59 | 44.18 |
| 124 | 449 | 437 | 432 | 429 | 428 | 290.95 | 62.66 | 41.87 |
| 126 | 432 | 436 | 432 | 429 | 427 | 290.95 | 62.66 | 41.87 |
| 128 | 445 | 437 | 431 | 429 | 427 | 297.70 | 69.59 | 44.18 |
| 130 | 451 | 437 | 431 | 429 | 427 | 284.20 | 55.73 | 39.56 |
| 132 | 439 | 435 | 431 | 429 | 427 | 290.95 | 67.28 | 44.18 |
| 134 | 449 | 437 | 431 | 429 | 427 | 290.95 | 67.28 | 41.87 |
| 136 | 433 | 437 | 431 | 429 | 427 | 290.95 | 64.97 | 41.87 |
| 138 | 445 | 436 | 431 | 429 | 428 | 290.95 | 69.59 | 44.18 |

ตารางผนวกที่ 2 (ต่อ)

| เวลา (min) | ความสูง (cm) | | | | | อัตราการไหล (l/min) | | |
|---------------|--------------|-----|-----|-----|-----|---------------------|-------|-------|
| | 10 | 25 | 50 | 100 | 150 | 1 | 2 | 3 |
| 140 | 452 | 437 | 430 | 429 | 427 | 284.20 | 55.73 | 39.56 |
| 142 | 439 | 434 | 430 | 429 | 427 | 297.70 | 69.59 | 44.18 |
| 144 | 448 | 437 | 431 | 429 | 427 | 290.95 | 62.66 | 41.87 |
| 146 | 431 | 437 | 431 | 429 | 427 | 290.95 | 62.66 | 41.87 |
| 148 | 442 | 436 | 431 | 429 | 427 | 297.70 | 69.59 | 44.18 |
| 150 | 451 | 437 | 431 | 429 | 427 | 284.20 | 55.73 | 39.56 |
| 152 | 438 | 434 | 431 | 429 | 427 | 290.95 | 67.28 | 44.18 |
| 154 | 449 | 437 | 431 | 430 | 427 | 290.95 | 67.28 | 41.87 |
| 156 | 432 | 437 | 430 | 429 | 427 | 290.95 | 62.66 | 44.18 |
| 158 | 442 | 437 | 431 | 429 | 427 | 290.95 | 67.28 | 41.87 |
| 160 | 451 | 437 | 432 | 429 | 427 | 284.20 | 58.04 | 41.87 |
| 162 | 438 | 435 | 430 | 429 | 427 | 297.70 | 69.59 | 44.18 |
| 164 | 449 | 437 | 431 | 429 | 427 | 290.95 | 67.28 | 41.87 |
| 166 | 431 | 437 | 432 | 429 | 427 | 290.95 | 67.28 | 41.87 |
| 168 | 444 | 436 | 431 | 429 | 427 | 297.70 | 71.90 | 41.87 |
| 170 | 451 | 437 | 431 | 429 | 427 | 284.20 | 55.73 | 41.87 |
| 172 | 438 | 436 | 431 | 429 | 427 | 297.70 | 69.59 | 44.18 |
| 174 | 450 | 437 | 432 | 429 | 427 | 290.95 | 67.28 | 41.87 |
| 176 | 432 | 438 | 431 | 429 | 427 | 290.95 | 69.59 | 44.18 |
| 178 | 445 | 437 | 431 | 429 | 427 | 297.70 | 69.59 | 44.18 |
| 180 | 451 | 438 | 431 | 429 | 427 | 284.20 | 58.04 | 39.56 |
| 182 | 439 | 435 | 432 | 429 | 427 | 297.70 | 69.59 | 44.18 |
| 184 | 450 | 437 | 431 | 429 | 427 | 290.95 | 62.66 | 41.87 |

ตารางผนวกที่ 2 (ต่อ)

| เวลา (min) | ความสูง (cm) | | | | | อัตราการไหล (l/min) | | |
|---------------|--------------|-----|-----|-----|-----|---------------------|-------|-------|
| | 10 | 25 | 50 | 100 | 150 | 1 | 2 | 3 |
| 184 | 450 | 437 | 431 | 429 | 427 | 290.95 | 62.66 | 41.87 |
| 186 | 432 | 437 | 431 | 429 | 427 | 290.95 | 60.35 | 44.18 |
| 188 | 445 | 437 | 431 | 429 | 427 | 297.70 | 69.59 | 44.18 |
| 190 | 451 | 437 | 431 | 429 | 427 | 284.20 | 53.42 | 41.87 |
| 192 | 439 | 435 | 431 | 429 | 427 | 297.70 | 69.59 | 44.18 |
| 194 | 450 | 437 | 431 | 429 | 427 | 290.95 | 62.66 | 41.87 |
| 196 | 433 | 437 | 431 | 429 | 427 | 290.95 | 60.35 | 41.87 |
| 198 | 444 | 437 | 431 | 429 | 427 | 297.70 | 71.90 | 41.87 |
| 199 | 450 | 437 | 431 | 429 | 427 | 290.95 | 62.66 | 44.18 |
| 200 | 451 | 437 | 431 | 429 | 427 | 290.95 | 58.04 | 41.87 |

ตารางผนวกที่ 3 อุณหภูมิ และอัตราการไหลดเมื่อทำการป้อนพลาสติกแบบหยุดเป็นจังหวะต่อเนื่อง 50 กรัมในสภาวะเบคนิ่ง ด้วยอุณหภูมิที่จุดเหนือแผ่นกระจายก้าว 10 ซม. เป็น 450°C จุดที่เหนือ 50 ซม. ด้วย 430°C จุดเหนือ 100 ซม. และ 150 ซม. ด้วย 400°C

| เวลา (min) | ความสูง (cm) | | | | | อัตราการไหลด (l/min) | | |
|---------------|--------------|-----|-----|-----|-----|----------------------|-------|-------|
| | 10 | 25 | 50 | 100 | 150 | 1 | 2 | 3 |
| 0 | 453 | 445 | 431 | 402 | 402 | 277.45 | 44.18 | 34.94 |
| 2 | 432 | 438 | 428 | 402 | 403 | 290.95 | 46.49 | 32.63 |
| 4 | 445 | 444 | 429 | 403 | 404 | 290.95 | 58.04 | 41.87 |
| 6 | 432 | 436 | 430 | 403 | 403 | 290.95 | 58.04 | 46.49 |
| 8 | 445 | 437 | 432 | 404 | 404 | 290.95 | 58.04 | 41.87 |
| 10 | 449 | 444 | 432 | 403 | 405 | 284.20 | 53.42 | 41.87 |
| 12 | 433 | 436 | 432 | 403 | 404 | 290.95 | 58.04 | 41.87 |
| 14 | 445 | 440 | 433 | 402 | 404 | 290.95 | 60.35 | 41.87 |
| 16 | 432 | 436 | 431 | 402 | 404 | 290.95 | 55.73 | 44.18 |
| 18 | 441 | 438 | 433 | 403 | 404 | 290.95 | 60.35 | 41.87 |
| 20 | 449 | 444 | 433 | 403 | 404 | 284.20 | 53.42 | 41.87 |
| 22 | 433 | 436 | 433 | 403 | 404 | 290.95 | 62.66 | 44.18 |
| 24 | 445 | 441 | 433 | 403 | 404 | 290.95 | 64.97 | 41.87 |
| 26 | 430 | 436 | 431 | 403 | 404 | 290.95 | 55.73 | 41.87 |
| 28 | 441 | 439 | 433 | 403 | 404 | 290.95 | 62.66 | 44.18 |
| 30 | 450 | 444 | 433 | 403 | 404 | 284.20 | 53.42 | 39.56 |
| 32 | 437 | 437 | 433 | 403 | 404 | 297.70 | 60.35 | 41.87 |
| 34 | 447 | 443 | 433 | 403 | 404 | 290.95 | 60.35 | 41.87 |
| 36 | 431 | 436 | 431 | 403 | 404 | 290.95 | 58.04 | 44.18 |
| 38 | 440 | 441 | 433 | 403 | 404 | 290.95 | 62.66 | 41.87 |
| 40 | 450 | 445 | 433 | 403 | 404 | 284.20 | 55.73 | 39.56 |
| 42 | 435 | 437 | 433 | 403 | 404 | 290.95 | 62.66 | 44.18 |
| 44 | 449 | 443 | 433 | 403 | 404 | 290.95 | 60.35 | 41.87 |
| 46 | 431 | 435 | 431 | 403 | 404 | 290.95 | 58.04 | 41.87 |

ตารางผนวกที่ 3 (ต่อ)

| เวลา (min) | ความสูง (cm) | | | | | อัตราการไหล (l/min) | | |
|---------------|--------------|-----|-----|-----|-----|---------------------|-------|-------|
| | 10 | 25 | 50 | 100 | 150 | 1.00 | 2.00 | 3.00 |
| 48 | 440 | 441 | 433 | 403 | 404 | 297.70 | 60.35 | 41.87 |
| 50 | 451 | 445 | 433 | 403 | 404 | 284.20 | 55.73 | 39.56 |
| 52 | 436 | 436 | 433 | 403 | 404 | 290.95 | 58.04 | 41.87 |
| 54 | 449 | 444 | 433 | 403 | 404 | 284.20 | 60.35 | 41.87 |
| 56 | 430 | 436 | 431 | 403 | 404 | 290.95 | 60.35 | 41.87 |
| 58 | 440 | 441 | 433 | 403 | 404 | 297.70 | 62.66 | 44.18 |
| 60 | 451 | 444 | 433 | 403 | 404 | 284.20 | 53.42 | 41.87 |
| 62 | 432 | 436 | 433 | 403 | 404 | 290.95 | 60.35 | 44.18 |
| 64 | 448 | 442 | 433 | 403 | 404 | 290.95 | 60.35 | 41.87 |
| 66 | 430 | 436 | 431 | 403 | 404 | 290.95 | 58.04 | 41.87 |
| 68 | 440 | 441 | 433 | 403 | 404 | 297.70 | 62.66 | 44.18 |
| 70 | 450 | 444 | 433 | 403 | 404 | 284.20 | 55.73 | 41.87 |
| 72 | 437 | 438 | 432 | 403 | 404 | 297.70 | 60.35 | 44.18 |
| 74 | 449 | 444 | 433 | 403 | 404 | 284.20 | 55.73 | 41.87 |
| 76 | 432 | 436 | 430 | 403 | 404 | 290.95 | 58.04 | 41.87 |
| 78 | 445 | 440 | 432 | 403 | 404 | 290.95 | 60.35 | 44.18 |
| 80 | 452 | 445 | 433 | 403 | 404 | 284.20 | 55.73 | 41.87 |
| 82 | 438 | 437 | 432 | 404 | 404 | 290.95 | 62.66 | 44.18 |
| 84 | 449 | 444 | 433 | 403 | 404 | 290.95 | 55.73 | 41.87 |
| 86 | 431 | 436 | 430 | 403 | 404 | 290.95 | 58.04 | 44.18 |
| 88 | 445 | 441 | 432 | 403 | 404 | 297.70 | 60.35 | 44.18 |
| 90 | 452 | 445 | 433 | 403 | 404 | 284.20 | 53.42 | 39.56 |
| 92 | 438 | 438 | 432 | 403 | 404 | 290.95 | 64.97 | 44.18 |

ตารางผนวกที่ 3 (ต่อ)

| เวลา (min) | ความสูง (cm) | | | | | อัตราการไหล (l/min) | | |
|---------------|--------------|-----|-----|-----|-----|---------------------|-------|-------|
| | 10 | 25 | 50 | 100 | 150 | 1.00 | 2.00 | 3.00 |
| 94 | 450 | 444 | 433 | 403 | 404 | 290.95 | 55.73 | 41.87 |
| 96 | 432 | 436 | 429 | 403 | 404 | 284.20 | 55.73 | 41.87 |
| 98 | 444 | 441 | 432 | 403 | 404 | 297.70 | 60.35 | 44.18 |
| 100 | 451 | 444 | 433 | 404 | 404 | 284.20 | 53.42 | 39.56 |
| 102 | 437 | 438 | 432 | 403 | 404 | 290.95 | 64.97 | 44.18 |
| 104 | 450 | 444 | 433 | 403 | 404 | 290.95 | 55.73 | 41.87 |
| 106 | 432 | 436 | 430 | 403 | 404 | 290.95 | 60.35 | 41.87 |
| 108 | 444 | 441 | 432 | 403 | 404 | 297.70 | 60.35 | 44.18 |
| 110 | 451 | 444 | 433 | 403 | 404 | 284.20 | 55.73 | 39.56 |
| 112 | 437 | 438 | 431 | 403 | 404 | 290.95 | 64.97 | 44.18 |
| 114 | 449 | 444 | 433 | 403 | 404 | 290.95 | 58.04 | 41.87 |
| 116 | 433 | 435 | 430 | 403 | 404 | 290.95 | 60.35 | 41.87 |
| 118 | 445 | 441 | 432 | 403 | 404 | 297.70 | 60.35 | 44.18 |
| 120 | 451 | 444 | 433 | 403 | 404 | 284.20 | 53.42 | 41.87 |
| 122 | 437 | 438 | 432 | 403 | 404 | 290.95 | 64.97 | 44.18 |
| 124 | 449 | 444 | 433 | 403 | 404 | 290.95 | 55.73 | 41.87 |
| 126 | 431 | 436 | 431 | 401 | 404 | 290.95 | 55.73 | 41.87 |
| 128 | 445 | 442 | 433 | 403 | 404 | 297.70 | 60.35 | 44.18 |
| 130 | 451 | 445 | 433 | 403 | 404 | 284.20 | 53.42 | 39.56 |
| 132 | 439 | 438 | 432 | 403 | 404 | 290.95 | 64.97 | 44.18 |
| 134 | 449 | 444 | 433 | 403 | 404 | 290.95 | 55.73 | 41.87 |
| 136 | 432 | 436 | 430 | 403 | 404 | 290.95 | 60.35 | 41.87 |
| 138 | 445 | 442 | 432 | 403 | 404 | 297.70 | 60.35 | 41.87 |

ตารางผนวกที่ 3 (ต่อ)

| เวลา (min) | ความสูง (cm) | | | | | อัตราการไหล (l/min) | | |
|---------------|--------------|-----|-----|-----|-----|---------------------|-------|-------|
| | 10 | 25 | 50 | 100 | 150 | 1.00 | 2.00 | 3.00 |
| 140 | 451 | 445 | 433 | 403 | 404 | 284.20 | 53.42 | 41.87 |
| 142 | 438 | 438 | 432 | 403 | 404 | 297.70 | 64.97 | 44.18 |
| 144 | 448 | 444 | 433 | 403 | 404 | 290.95 | 60.35 | 41.87 |
| 146 | 432 | 436 | 431 | 403 | 404 | 290.95 | 62.66 | 41.87 |
| 148 | 444 | 442 | 432 | 403 | 404 | 297.70 | 60.35 | 44.18 |
| 150 | 451 | 445 | 433 | 403 | 404 | 284.20 | 53.42 | 39.56 |
| 152 | 438 | 438 | 432 | 403 | 404 | 290.95 | 64.97 | 44.18 |
| 154 | 450 | 444 | 433 | 403 | 404 | 290.95 | 55.73 | 41.87 |
| 156 | 432 | 437 | 431 | 403 | 404 | 290.95 | 55.73 | 44.18 |
| 158 | 445 | 442 | 432 | 403 | 404 | 290.95 | 60.35 | 41.87 |
| 160 | 451 | 445 | 433 | 403 | 404 | 284.20 | 55.73 | 41.87 |
| 162 | 438 | 437 | 432 | 403 | 404 | 290.95 | 64.97 | 44.18 |
| 164 | 449 | 444 | 433 | 403 | 404 | 290.95 | 55.73 | 41.87 |
| 166 | 431 | 436 | 431 | 403 | 404 | 290.95 | 55.73 | 41.87 |
| 168 | 444 | 442 | 432 | 403 | 404 | 290.95 | 60.35 | 41.87 |
| 170 | 452 | 445 | 433 | 403 | 404 | 284.20 | 53.42 | 41.87 |
| 172 | 439 | 438 | 432 | 403 | 404 | 297.70 | 64.97 | 44.18 |
| 174 | 450 | 444 | 433 | 403 | 404 | 290.95 | 55.73 | 41.87 |
| 176 | 432 | 435 | 430 | 403 | 404 | 290.95 | 60.35 | 44.18 |
| 178 | 442 | 442 | 433 | 403 | 404 | 297.70 | 60.35 | 44.18 |
| 180 | 451 | 445 | 433 | 404 | 404 | 284.20 | 53.42 | 39.56 |
| 182 | 439 | 438 | 432 | 403 | 404 | 297.70 | 64.97 | 44.18 |
| 184 | 450 | 444 | 433 | 403 | 404 | 290.95 | 60.35 | 41.87 |

ตารางผนวกที่ 3 (ต่อ)

| เวลา (min) | ความสูง (cm) | | | | | อัตราการไหล (l/min) | | |
|---------------|--------------|-----|-----|-----|-----|---------------------|-------|-------|
| | 10 | 25 | 50 | 100 | 150 | 1.00 | 2.00 | 3.00 |
| 186 | 431 | 435 | 430 | 403 | 404 | 290.95 | 60.35 | 44.18 |
| 188 | 444 | 440 | 432 | 403 | 404 | 290.95 | 60.35 | 44.18 |
| 190 | 451 | 444 | 433 | 403 | 404 | 284.20 | 53.42 | 41.87 |
| 192 | 439 | 438 | 432 | 403 | 404 | 290.95 | 67.28 | 44.18 |
| 194 | 450 | 444 | 433 | 403 | 404 | 290.95 | 58.04 | 41.87 |
| 196 | 432 | 435 | 431 | 403 | 404 | 290.95 | 60.35 | 41.87 |
| 198 | 445 | 441 | 433 | 403 | 404 | 297.70 | 60.35 | 44.18 |
| 200 | 451 | 444 | 434 | 403 | 404 | 290.95 | 53.42 | 41.87 |

ตารางผนวกที่ 4 อุณหภูมิ และอัตราการ ไหลดเมื่อทำการป้อนพลาสติกแบบหยดเป็นจังหวะต่อเนื่อง 50 กรัมในสภาวะเบคนิ่ง ตั้งอุณหภูมิที่จุดเหนือแผ่นกระจาดก้าช 10 ซม. เป็น 450°C จุดที่เหนือ 50 ซม. ตั้งที่ 430°C จุดเหนือ 100 ซม. ตั้งที่ 150°C จุดเหนือ 150 ซม. ตั้งไว้ที่ 300°C

| เวลา (min) | ความสูง (cm) | | | | | อัตราการ ไหลด (l/min) | | |
|---------------|--------------|-----|-----|-----|-----|-----------------------|-------|-------|
| | 10 | 25 | 50 | 100 | 150 | 1 | 2 | 3 |
| 0 | 453 | 444 | 429 | 267 | 305 | 277.45 | 44.18 | 34.94 |
| 2 | 432 | 437 | 426 | 267 | 305 | 290.95 | 62.66 | 37.25 |
| 4 | 445 | 442 | 428 | 267 | 305 | 290.95 | 62.66 | 41.87 |
| 6 | 431 | 436 | 425 | 266 | 304 | 290.95 | 62.66 | 44.18 |
| 8 | 445 | 436 | 428 | 266 | 305 | 297.70 | 71.90 | 41.87 |
| 10 | 448 | 442 | 430 | 266 | 305 | 284.20 | 53.42 | 41.87 |
| 12 | 433 | 436 | 428 | 267 | 305 | 304.45 | 71.90 | 44.18 |
| 14 | 447 | 440 | 431 | 267 | 305 | 304.45 | 62.66 | 41.87 |
| 16 | 432 | 436 | 428 | 267 | 305 | 297.70 | 62.66 | 44.18 |
| 18 | 442 | 438 | 432 | 267 | 305 | 304.45 | 71.90 | 44.18 |
| 20 | 450 | 444 | 433 | 266 | 305 | 290.95 | 53.42 | 41.87 |
| 22 | 435 | 436 | 433 | 266 | 305 | 311.20 | 71.90 | 44.18 |
| 24 | 447 | 441 | 433 | 266 | 304 | 297.70 | 71.90 | 41.87 |
| 26 | 431 | 436 | 432 | 267 | 305 | 297.70 | 62.66 | 41.87 |
| 28 | 440 | 439 | 433 | 267 | 305 | 311.20 | 76.52 | 44.18 |
| 30 | 451 | 444 | 433 | 267 | 305 | 290.95 | 58.04 | 39.56 |
| 32 | 439 | 437 | 433 | 266 | 305 | 304.45 | 71.90 | 44.18 |
| 34 | 449 | 443 | 433 | 267 | 304 | 304.45 | 71.90 | 41.87 |
| 36 | 432 | 436 | 431 | 267 | 305 | 304.45 | 62.66 | 44.18 |
| 38 | 441 | 441 | 433 | 267 | 305 | 297.70 | 76.52 | 41.87 |
| 40 | 451 | 445 | 433 | 267 | 305 | 284.20 | 58.04 | 39.56 |
| 42 | 435 | 437 | 433 | 266 | 305 | 304.45 | 71.90 | 44.18 |
| 44 | 449 | 443 | 433 | 267 | 305 | 297.70 | 71.90 | 41.87 |
| 46 | 432 | 435 | 431 | 267 | 305 | 297.70 | 71.90 | 41.87 |

ตารางผนวกที่ 4 (ต่อ)

| เวลา (min) | ความสูง (cm) | | | | | อัตราการไหล (l/min) | | |
|---------------|--------------|-----|-----|-----|-----|---------------------|-------|-------|
| | 10 | 25 | 50 | 100 | 150 | 1 | 2 | 3 |
| 48 | 441 | 441 | 433 | 267 | 305 | 304.45 | 71.90 | 44.18 |
| 50 | 452 | 445 | 433 | 267 | 305 | 297.70 | 58.04 | 39.56 |
| 52 | 435 | 436 | 433 | 267 | 305 | 304.45 | 71.90 | 44.18 |
| 54 | 449 | 444 | 433 | 266 | 305 | 297.70 | 71.90 | 41.87 |
| 56 | 432 | 436 | 432 | 266 | 305 | 297.70 | 71.90 | 41.87 |
| 58 | 439 | 441 | 433 | 267 | 304 | 311.20 | 76.52 | 44.18 |
| 60 | 452 | 444 | 433 | 267 | 305 | 290.95 | 58.04 | 41.87 |
| 62 | 435 | 436 | 433 | 267 | 305 | 304.45 | 76.52 | 44.18 |
| 64 | 449 | 442 | 433 | 267 | 305 | 304.45 | 62.66 | 41.87 |
| 66 | 431 | 436 | 431 | 266 | 305 | 304.45 | 67.28 | 41.87 |
| 68 | 441 | 441 | 433 | 266 | 304 | 297.70 | 78.83 | 44.18 |
| 70 | 451 | 444 | 433 | 267 | 304 | 284.20 | 58.04 | 41.87 |
| 72 | 435 | 438 | 432 | 267 | 305 | 304.45 | 71.90 | 44.18 |
| 74 | 449 | 444 | 433 | 267 | 305 | 297.70 | 67.28 | 41.87 |
| 76 | 432 | 436 | 430 | 266 | 305 | 297.70 | 62.66 | 41.87 |
| 78 | 445 | 440 | 432 | 266 | 305 | 297.70 | 76.52 | 44.18 |
| 80 | 451 | 444 | 431 | 266 | 305 | 290.95 | 58.04 | 41.87 |
| 82 | 435 | 437 | 432 | 267 | 305 | 311.20 | 71.90 | 44.18 |
| 84 | 449 | 443 | 433 | 267 | 305 | 297.70 | 71.90 | 41.87 |
| 86 | 428 | 435 | 431 | 267 | 304 | 297.70 | 62.66 | 44.18 |
| 88 | 439 | 440 | 433 | 267 | 305 | 311.20 | 76.52 | 44.18 |
| 90 | 451 | 445 | 433 | 266 | 305 | 290.95 | 58.04 | 39.56 |
| 92 | 435 | 437 | 432 | 266 | 305 | 311.20 | 76.52 | 44.18 |

ตารางผนวกที่ 4 (ต่อ)

| เวลา (min) | ความสูง (cm) | | | | | อัตราการไหล (l/min) | | |
|---------------|--------------|-----|-----|-----|-----|---------------------|-------|-------|
| | 10 | 25 | 50 | 100 | 150 | 1 | 2 | 3 |
| 94 | 448 | 443 | 433 | 266 | 305 | 297.70 | 69.59 | 41.87 |
| 96 | 431 | 436 | 431 | 267 | 305 | 304.45 | 71.90 | 41.87 |
| 98 | 439 | 440 | 433 | 267 | 305 | 297.70 | 71.90 | 46.49 |
| 100 | 451 | 444 | 433 | 267 | 305 | 290.95 | 58.04 | 39.56 |
| 102 | 435 | 438 | 431 | 266 | 305 | 311.20 | 76.52 | 46.49 |
| 104 | 447 | 443 | 433 | 267 | 304 | 290.95 | 67.28 | 41.87 |
| 106 | 431 | 435 | 430 | 267 | 305 | 304.45 | 71.90 | 41.87 |
| 108 | 439 | 440 | 433 | 267 | 305 | 297.70 | 69.59 | 44.18 |
| 110 | 451 | 445 | 433 | 267 | 305 | 290.95 | 58.04 | 41.87 |
| 112 | 435 | 437 | 433 | 266 | 305 | 304.45 | 74.21 | 46.49 |
| 114 | 447 | 442 | 433 | 267 | 304 | 304.45 | 71.90 | 41.87 |
| 116 | 429 | 435 | 432 | 267 | 305 | 304.45 | 71.90 | 41.87 |
| 118 | 439 | 441 | 433 | 267 | 305 | 297.70 | 69.59 | 44.18 |
| 120 | 452 | 444 | 433 | 267 | 304 | 290.95 | 58.04 | 41.87 |
| 122 | 435 | 437 | 432 | 266 | 305 | 311.20 | 76.52 | 46.49 |
| 124 | 447 | 443 | 433 | 267 | 305 | 297.70 | 67.28 | 41.87 |
| 126 | 432 | 435 | 431 | 267 | 305 | 297.70 | 69.59 | 41.87 |
| 128 | 440 | 441 | 433 | 267 | 305 | 304.45 | 71.90 | 44.18 |
| 130 | 451 | 445 | 433 | 267 | 305 | 290.95 | 58.04 | 39.56 |
| 132 | 435 | 437 | 432 | 267 | 305 | 311.20 | 76.52 | 44.18 |
| 134 | 447 | 443 | 433 | 266 | 305 | 297.70 | 67.28 | 41.87 |
| 136 | 432 | 436 | 429 | 266 | 305 | 304.45 | 71.90 | 44.18 |
| 138 | 442 | 442 | 432 | 267 | 305 | 297.70 | 69.59 | 44.18 |

ตารางผนวกที่ 4 (ต่อ)

| เวลา (min) | ความสูง (cm) | | | | | อัตราการไหล (l/min) | | |
|---------------|--------------|-----|-----|-----|-----|---------------------|-------|-------|
| | 10 | 25 | 50 | 100 | 150 | 1 | 2 | 3 |
| 140 | 451 | 445 | 433 | 267 | 305 | 284.20 | 58.04 | 41.87 |
| 142 | 434 | 438 | 432 | 267 | 305 | 311.20 | 74.21 | 46.49 |
| 144 | 447 | 444 | 432 | 267 | 305 | 297.70 | 67.28 | 41.87 |
| 146 | 430 | 435 | 429 | 266 | 305 | 311.20 | 67.28 | 44.18 |
| 148 | 440 | 441 | 433 | 266 | 304 | 311.20 | 76.52 | 44.18 |
| 150 | 450 | 444 | 433 | 267 | 305 | 290.95 | 58.04 | 39.56 |
| 152 | 435 | 437 | 433 | 267 | 305 | 304.45 | 69.59 | 46.49 |
| 154 | 447 | 443 | 433 | 267 | 305 | 290.95 | 62.66 | 41.87 |
| 156 | 432 | 435 | 430 | 266 | 305 | 304.45 | 69.59 | 44.18 |
| 158 | 440 | 440 | 433 | 266 | 304 | 297.70 | 67.28 | 41.87 |
| 160 | 451 | 445 | 433 | 266 | 304 | 290.95 | 58.04 | 41.87 |
| 162 | 432 | 437 | 432 | 267 | 305 | 311.20 | 76.52 | 44.18 |
| 164 | 447 | 444 | 433 | 267 | 305 | 290.95 | 67.28 | 41.87 |
| 166 | 432 | 435 | 431 | 267 | 305 | 297.70 | 62.66 | 44.18 |
| 168 | 441 | 440 | 432 | 267 | 305 | 311.20 | 76.52 | 41.87 |
| 170 | 451 | 445 | 433 | 266 | 305 | 290.95 | 58.04 | 41.87 |
| 172 | 435 | 437 | 432 | 266 | 305 | 304.45 | 71.90 | 44.18 |
| 174 | 448 | 444 | 433 | 266 | 305 | 304.45 | 69.59 | 41.87 |
| 176 | 430 | 435 | 430 | 267 | 304 | 297.70 | 69.59 | 44.18 |
| 178 | 440 | 440 | 433 | 267 | 305 | 297.70 | 67.28 | 44.18 |
| 180 | 451 | 445 | 433 | 267 | 305 | 290.95 | 58.04 | 39.56 |
| 182 | 435 | 437 | 432 | 266 | 305 | 311.20 | 74.21 | 44.18 |
| 184 | 449 | 443 | 433 | 267 | 305 | 290.95 | 67.28 | 41.87 |

ตารางผนวกที่ 4 (ต่อ)

| เวลา (min) | ความสูง (cm) | | | | | อัตราการไหล (l/min) | | |
|---------------|--------------|-----|-----|-----|-----|---------------------|-------|-------|
| | 10 | 25 | 50 | 100 | 150 | 1 | 2 | 3 |
| 186 | 432 | 435 | 430 | 267 | 305 | 304.45 | 71.90 | 44.18 |
| 188 | 442 | 440 | 433 | 267 | 305 | 297.70 | 69.59 | 44.18 |
| 190 | 451 | 444 | 433 | 267 | 305 | 290.95 | 58.04 | 41.87 |
| 192 | 434 | 437 | 433 | 266 | 305 | 311.20 | 76.52 | 44.18 |
| 194 | 447 | 443 | 433 | 267 | 304 | 297.70 | 67.28 | 41.87 |
| 196 | 432 | 435 | 431 | 267 | 305 | 304.45 | 71.90 | 44.18 |
| 198 | 440 | 440 | 433 | 267 | 305 | 297.70 | 67.28 | 44.18 |
| 200 | 451 | 444 | 434 | 267 | 305 | 290.95 | 58.04 | 41.87 |

2. อุณหภูมิ และอัตราการไหลดเมื่อทำการป้อนพลาสติกแบบป้อนและหยุดเป็นจังหวะต่อเนื่อง 50 กรัมในสภาวะฟลูอิไดซ์เบด เมื่อป้อนในโตรเจน 9.40 กิโลกรัม/ชั่วโมง (1.3 เท่าของอัตราเร็วต่ำสุดพลาสติก)

ตารางผนวกที่ 5 อุณหภูมิ และอัตราการไหลดเมื่อทำการป้อนพลาสติกแบบป้อนและหยุดเป็นจังหวะต่อเนื่อง 50 กรัมในสภาวะฟลูอิไดซ์เบด เมื่อป้อนในโตรเจน 9.40 กิโลกรัม/ชั่วโมง (1.3 เท่าของอัตราเร็วต่ำสุดพลาสติก) ดังอุณหภูมิที่ 450 °C ตลอดความสูง

| เวลา (min) | ความสูง (cm) | | | | | อัตราการไหลด (l/min) | | |
|---------------|--------------|-----|-----|-----|-----|----------------------|-------|-------|
| | 10 | 25 | 50 | 100 | 150 | 1 | 2 | 3 |
| 0 | 450 | 449 | 452 | 451 | 455 | 344.94 | 44.18 | 37.25 |
| 2 | 433 | 445 | 451 | 449 | 451 | 351.69 | 46.49 | 39.56 |
| 4 | 427 | 442 | 448 | 449 | 450 | 358.44 | 48.80 | 39.56 |
| 6 | 446 | 449 | 452 | 451 | 452 | 351.69 | 48.80 | 39.56 |
| 8 | 445 | 445 | 452 | 452 | 451 | 358.44 | 58.04 | 41.87 |
| 10 | 435 | 442 | 447 | 450 | 450 | 365.19 | 62.66 | 41.87 |
| 12 | 448 | 447 | 452 | 452 | 453 | 351.69 | 55.73 | 44.18 |
| 14 | 442 | 444 | 450 | 451 | 450 | 365.19 | 58.04 | 44.18 |
| 16 | 435 | 442 | 447 | 450 | 448 | 365.19 | 67.28 | 44.18 |
| 18 | 450 | 448 | 452 | 454 | 452 | 351.69 | 51.11 | 46.49 |
| 20 | 447 | 444 | 450 | 451 | 451 | 358.44 | 58.04 | 46.49 |
| 22 | 437 | 443 | 449 | 451 | 450 | 358.44 | 69.59 | 46.49 |
| 24 | 451 | 449 | 452 | 453 | 452 | 351.69 | 53.42 | 46.49 |
| 26 | 446 | 445 | 450 | 452 | 451 | 358.44 | 64.97 | 46.49 |
| 28 | 436 | 443 | 447 | 450 | 450 | 365.19 | 67.28 | 46.49 |
| 30 | 451 | 448 | 452 | 453 | 453 | 351.69 | 53.42 | 46.49 |
| 32 | 445 | 445 | 450 | 452 | 450 | 365.19 | 60.35 | 44.18 |
| 34 | 436 | 441 | 447 | 449 | 451 | 371.94 | 67.28 | 44.18 |
| 36 | 451 | 447 | 451 | 453 | 452 | 351.69 | 51.11 | 46.49 |

ตารางผนวกที่ 5 (ต่อ)

| เวลา (min) | ความสูง (cm) | | | | | อัตราการไหล (l/min) | | |
|---------------|--------------|-----|-----|-----|-----|---------------------|-------|-------|
| | 10 | 25 | 50 | 100 | 150 | 1 | 2 | 3 |
| 38 | 445 | 445 | 450 | 451 | 450 | 365.19 | 58.04 | 44.18 |
| 40 | 437 | 442 | 446 | 450 | 450 | 365.19 | 69.59 | 46.49 |
| 42 | 451 | 449 | 451 | 454 | 452 | 351.69 | 53.42 | 46.49 |
| 44 | 445 | 445 | 450 | 451 | 452 | 358.44 | 60.35 | 44.18 |
| 46 | 436 | 441 | 450 | 451 | 449 | 365.19 | 67.28 | 46.49 |
| 48 | 451 | 447 | 452 | 453 | 452 | 351.69 | 51.11 | 46.49 |
| 50 | 442 | 445 | 451 | 451 | 451 | 358.44 | 60.35 | 46.49 |
| 52 | 436 | 441 | 447 | 450 | 449 | 371.94 | 69.59 | 46.49 |
| 54 | 449 | 449 | 452 | 454 | 452 | 358.44 | 55.73 | 46.49 |
| 56 | 443 | 444 | 450 | 451 | 451 | 365.19 | 62.66 | 44.18 |
| 58 | 437 | 441 | 447 | 449 | 449 | 365.19 | 69.59 | 46.49 |
| 60 | 449 | 447 | 451 | 453 | 452 | 351.69 | 48.80 | 46.49 |
| 62 | 445 | 447 | 451 | 451 | 451 | 365.19 | 62.66 | 46.49 |
| 64 | 438 | 442 | 447 | 451 | 450 | 358.44 | 64.97 | 46.49 |
| 66 | 451 | 449 | 452 | 454 | 452 | 351.69 | 48.80 | 46.49 |
| 68 | 445 | 445 | 450 | 452 | 451 | 358.44 | 60.35 | 46.49 |
| 70 | 436 | 442 | 447 | 450 | 449 | 365.19 | 67.28 | 46.49 |
| 72 | 450 | 450 | 451 | 453 | 452 | 351.69 | 46.49 | 44.18 |
| 74 | 445 | 445 | 450 | 451 | 450 | 365.19 | 62.66 | 44.18 |
| 76 | 437 | 442 | 450 | 449 | 449 | 365.19 | 69.59 | 46.49 |
| 78 | 451 | 448 | 451 | 453 | 452 | 351.69 | 51.11 | 46.49 |
| 80 | 445 | 445 | 451 | 452 | 451 | 365.19 | 60.35 | 46.49 |
| 82 | 436 | 442 | 447 | 451 | 451 | 371.94 | 64.97 | 46.49 |
| 84 | 450 | 449 | 452 | 454 | 453 | 358.44 | 51.11 | 46.49 |

ตารางผนวกที่ 5 (ต่อ)

| เวลา (min) | ความสูง (cm) | | | | | อัตราการไหล (l/min) | | |
|---------------|--------------|-----|-----|-----|-----|---------------------|-------|-------|
| | 10 | 25 | 50 | 100 | 150 | 1 | 2 | 3 |
| 86 | 445 | 445 | 451 | 452 | 452 | 365.19 | 60.35 | 46.49 |
| 88 | 437 | 441 | 446 | 450 | 450 | 365.19 | 64.97 | 46.49 |
| 90 | 449 | 448 | 452 | 453 | 451 | 351.69 | 51.11 | 46.49 |
| 92 | 445 | 445 | 451 | 451 | 451 | 358.44 | 60.35 | 46.49 |
| 94 | 438 | 442 | 447 | 449 | 450 | 365.19 | 64.97 | 46.49 |
| 96 | 450 | 450 | 452 | 453 | 452 | 358.44 | 53.42 | 46.49 |
| 98 | 447 | 445 | 450 | 452 | 451 | 358.44 | 60.35 | 46.49 |
| 100 | 438 | 442 | 447 | 451 | 450 | 371.94 | 64.97 | 46.49 |
| 102 | 451 | 450 | 451 | 454 | 452 | 358.44 | 51.11 | 46.49 |
| 104 | 447 | 447 | 451 | 451 | 451 | 358.44 | 60.35 | 46.49 |
| 106 | 438 | 442 | 447 | 450 | 451 | 365.19 | 62.66 | 46.49 |
| 108 | 449 | 448 | 452 | 453 | 452 | 351.69 | 48.80 | 46.49 |
| 110 | 446 | 444 | 451 | 451 | 451 | 365.19 | 60.35 | 46.49 |
| 112 | 436 | 442 | 447 | 449 | 450 | 365.19 | 64.97 | 46.49 |
| 114 | 451 | 449 | 452 | 453 | 452 | 351.69 | 51.11 | 46.49 |
| 116 | 445 | 445 | 451 | 452 | 451 | 365.19 | 62.66 | 46.49 |
| 118 | 437 | 442 | 446 | 449 | 450 | 365.19 | 64.97 | 46.49 |
| 120 | 451 | 450 | 452 | 453 | 452 | 351.69 | 53.42 | 46.49 |

ตารางผนวกที่ 6 อุณหภูมิ และอัตราการไหลดเมื่อทำการป้อนพลาสติกแบบป้อนและหยุดเป็นจังหวะ ต่อเนื่อง 50 กรัมในสภาพภาวะฟลูอิไดซ์เบด เมื่อป้อนในโตรเจน 9.40 กิโลกรัม/ชั่วโมง (1.3 เท่าของอัตราเร็วต่ำสุดพลาสติก) อุณหภูมิหนึ่งเดียวแต่ละระยะก้าว 10 50 100 150 ซม. เป็น 450, 450 150 และ 450°ฉ

| เวลา (min) | ความสูง (cm) | | | | | อัตราการไหลด (l/min) | | |
|---------------|--------------|-----|-----|-----|-----|----------------------|-------|-------|
| | 10 | 25 | 50 | 100 | 150 | 1 | 2 | 3 |
| 0 | 451 | 448 | 451 | 275 | 451 | 344.943 | 44.18 | 39.56 |
| 2 | 433 | 445 | 450 | 275 | 450 | 358.441 | 48.8 | 39.56 |
| 4 | 428 | 442 | 448 | 273 | 448 | 358.441 | 53.42 | 39.56 |
| 6 | 446 | 449 | 451 | 275 | 452 | 351.692 | 48.8 | 39.56 |
| 8 | 442 | 444 | 451 | 274 | 451 | 365.19 | 62.66 | 41.87 |
| 10 | 433 | 442 | 446 | 274 | 450 | 371.939 | 71.9 | 41.87 |
| 12 | 449 | 449 | 452 | 275 | 452 | 351.692 | 55.73 | 44.18 |
| 14 | 444 | 444 | 449 | 274 | 451 | 365.19 | 62.66 | 41.87 |
| 16 | 434 | 441 | 444 | 273 | 449 | 365.19 | 74.21 | 41.87 |
| 18 | 450 | 449 | 452 | 274 | 451 | 351.692 | 51.11 | 46.49 |
| 20 | 447 | 445 | 448 | 275 | 451 | 365.19 | 67.28 | 44.18 |
| 22 | 437 | 442 | 445 | 274 | 449 | 365.19 | 71.9 | 46.49 |
| 24 | 452 | 449 | 451 | 275 | 452 | 351.692 | 53.42 | 46.49 |
| 26 | 445 | 446 | 449 | 275 | 451 | 371.939 | 67.28 | 46.49 |
| 28 | 437 | 442 | 444 | 273 | 449 | 365.19 | 74.21 | 46.49 |
| 30 | 451 | 449 | 451 | 274 | 452 | 351.692 | 53.42 | 46.49 |
| 32 | 446 | 445 | 449 | 274 | 451 | 371.939 | 67.28 | 46.49 |
| 34 | 436 | 442 | 444 | 274 | 449 | 371.939 | 71.9 | 48.8 |
| 36 | 451 | 449 | 450 | 275 | 452 | 351.692 | 53.42 | 46.49 |
| 38 | 445 | 446 | 449 | 275 | 450 | 365.19 | 67.28 | 44.18 |
| 40 | 437 | 441 | 445 | 274 | 449 | 365.19 | 74.21 | 46.49 |
| 42 | 451 | 450 | 451 | 275 | 452 | 351.692 | 53.42 | 46.49 |
| 44 | 445 | 445 | 448 | 274 | 451 | 365.19 | 62.66 | 46.49 |

ตารางผนวกที่ 6 (ต่อ)

| เวลา (min) | ความสูง (cm) | | | | | อัตราการไหล (l/min) | | |
|---------------|--------------|-----|-----|-----|-----|---------------------|-------|-------|
| | 10 | 25 | 50 | 100 | 150 | 1 | 2 | 3 |
| 46 | 436 | 441 | 445 | 274 | 448 | 365.19 | 74.21 | 48.8 |
| 48 | 451 | 450 | 451 | 275 | 452 | 351.692 | 53.42 | 46.49 |
| 50 | 442 | 445 | 448 | 275 | 451 | 365.19 | 67.28 | 46.49 |
| 52 | 437 | 441 | 444 | 274 | 448 | 371.939 | 74.21 | 48.8 |
| 54 | 450 | 448 | 452 | 275 | 451 | 358.441 | 55.73 | 46.49 |
| 56 | 445 | 445 | 448 | 274 | 450 | 371.939 | 67.28 | 46.49 |
| 58 | 436 | 441 | 445 | 274 | 449 | 365.19 | 74.21 | 46.49 |
| 60 | 449 | 449 | 452 | 276 | 452 | 351.692 | 53.42 | 46.49 |
| 62 | 444 | 447 | 447 | 274 | 450 | 365.19 | 67.28 | 46.49 |
| 64 | 437 | 442 | 445 | 273 | 448 | 365.19 | 74.21 | 46.49 |
| 66 | 451 | 449 | 452 | 275 | 452 | 351.692 | 53.42 | 46.49 |
| 68 | 446 | 446 | 448 | 275 | 451 | 371.939 | 64.97 | 46.49 |
| 70 | 437 | 441 | 445 | 274 | 449 | 365.19 | 71.9 | 46.49 |
| 72 | 451 | 450 | 451 | 275 | 451 | 351.692 | 55.73 | 44.18 |
| 74 | 445 | 445 | 449 | 275 | 451 | 365.19 | 67.28 | 46.49 |
| 76 | 436 | 442 | 446 | 274 | 449 | 365.19 | 74.21 | 46.49 |
| 78 | 450 | 450 | 452 | 275 | 451 | 358.441 | 55.73 | 46.49 |
| 80 | 447 | 446 | 448 | 275 | 451 | 371.939 | 67.28 | 46.49 |
| 82 | 436 | 442 | 445 | 273 | 448 | 371.939 | 74.21 | 48.8 |
| 84 | 451 | 450 | 451 | 275 | 452 | 358.441 | 55.73 | 46.49 |
| 86 | 445 | 447 | 449 | 275 | 450 | 365.19 | 64.97 | 46.49 |
| 88 | 437 | 441 | 445 | 274 | 449 | 365.19 | 74.21 | 46.49 |
| 90 | 450 | 449 | 451 | 275 | 451 | 351.692 | 55.73 | 46.49 |

ตารางผนวกที่ 6 (ต่อ)

| เวลา (min) | ความสูง (cm) | | | | | อัตราการไหล (l/min) | | |
|---------------|--------------|-----|-----|-----|-----|---------------------|-------|-------|
| | 10 | 25 | 50 | 100 | 150 | 1 | 2 | 3 |
| 92 | 446 | 444 | 451 | 275 | 451 | 365.19 | 64.97 | 46.49 |
| 94 | 437 | 442 | 444 | 274 | 448 | 365.19 | 74.21 | 46.49 |
| 96 | 450 | 450 | 450 | 275 | 452 | 358.441 | 53.42 | 46.49 |
| 98 | 447 | 444 | 449 | 275 | 451 | 365.19 | 67.28 | 46.49 |
| 100 | 437 | 442 | 445 | 275 | 449 | 371.939 | 74.21 | 48.8 |
| 102 | 451 | 451 | 451 | 275 | 451 | 358.441 | 55.73 | 46.49 |
| 104 | 446 | 446 | 449 | 275 | 450 | 365.19 | 64.97 | 46.49 |
| 106 | 437 | 442 | 445 | 274 | 449 | 365.19 | 71.9 | 46.49 |
| 108 | 450 | 449 | 451 | 275 | 452 | 351.692 | 53.42 | 46.49 |
| 110 | 445 | 445 | 449 | 275 | 450 | 371.939 | 64.97 | 46.49 |
| 112 | 437 | 442 | 445 | 274 | 449 | 365.19 | 74.21 | 48.8 |
| 114 | 450 | 450 | 451 | 275 | 452 | 351.692 | 53.42 | 46.49 |
| 116 | 444 | 445 | 449 | 275 | 451 | 371.939 | 67.28 | 46.49 |
| 118 | 436 | 442 | 444 | 273 | 449 | 365.19 | 71.9 | 46.49 |
| 120 | 451 | 450 | 451 | 275 | 452 | 351.692 | 53.42 | 46.49 |

3. อุณหภูมิ และอัตราการไหลดเมื่อทำการป้อนพลาสติกแบบหยุดเป็นจังหวะต่อเนื่อง 50 กรัมในสภาวะฟลูอิไดซ์เบด เมื่อป้อนในโทรศัพท์ 10.85 กิโลกรัม/ชั่วโมง (1.5 เท่าของอัตราเร็วต่ำสุดพลาสติก)

ตารางผนวกที่ 7 อุณหภูมิ และอัตราการไหลดเมื่อทำการป้อนพลาสติกแบบหยุดเป็นจังหวะต่อเนื่อง 50 กรัมในสภาวะฟลูอิไดซ์เบด เมื่อป้อนในโทรศัพท์ 10.85 กิโลกรัม/ชั่วโมง (1.5 เท่าของอัตราเร็วต่ำสุดพลาสติก) ตั้งอุณหภูมิที่ 450 °C ตลอดความสูง

| เวลา (min) | ความสูง (cm) | | | | | อัตราการไหลด (l/min) | | |
|---------------|--------------|-----|-----|-----|-----|----------------------|-------|-------|
| | 10 | 25 | 50 | 100 | 150 | 1 | 2 | 3 |
| 0 | 454 | 454 | 450 | 450 | 445 | 412.43 | 44.18 | 39.56 |
| 2 | 453 | 455 | 452 | 452 | 446 | 419.18 | 46.49 | 39.56 |
| 4 | 450 | 453 | 452 | 453 | 446 | 419.18 | 48.80 | 41.87 |
| 6 | 452 | 453 | 452 | 452 | 447 | 419.18 | 51.11 | 44.18 |
| 8 | 449 | 454 | 453 | 452 | 446 | 425.93 | 51.11 | 48.80 |
| 10 | 449 | 453 | 452 | 453 | 446 | 419.18 | 53.42 | 48.80 |
| 12 | 451 | 453 | 454 | 453 | 447 | 419.18 | 53.42 | 51.11 |
| 14 | 451 | 453 | 453 | 453 | 447 | 425.93 | 53.42 | 51.11 |
| 16 | 449 | 452 | 452 | 452 | 446 | 425.93 | 55.73 | 48.80 |
| 18 | 451 | 454 | 453 | 452 | 447 | 419.18 | 55.73 | 48.80 |
| 20 | 452 | 453 | 454 | 453 | 446 | 425.93 | 55.73 | 48.80 |
| 22 | 450 | 454 | 454 | 453 | 446 | 425.93 | 55.73 | 48.80 |
| 24 | 450 | 452 | 455 | 453 | 447 | 425.93 | 53.42 | 51.11 |
| 26 | 449 | 451 | 452 | 453 | 447 | 425.93 | 55.73 | 51.11 |
| 28 | 451 | 453 | 453 | 453 | 447 | 432.68 | 48.80 | 48.80 |
| 30 | 450 | 454 | 455 | 454 | 447 | 425.93 | 55.73 | 48.80 |
| 32 | 449 | 453 | 454 | 455 | 447 | 425.93 | 55.73 | 51.11 |
| 34 | 451 | 454 | 453 | 454 | 446 | 432.68 | 55.73 | 51.11 |
| 36 | 451 | 452 | 454 | 453 | 447 | 425.93 | 55.73 | 51.11 |

ตารางผนวกที่ 7 (ต่อ)

| เวลา (min) | ความสูง (cm) | | | | | อัตราการไหล (l/min) | | |
|---------------|--------------|-----|-----|-----|-----|---------------------|-------|-------|
| | 10 | 25 | 50 | 100 | 150 | 1 | 2 | 3 |
| 38 | 451 | 453 | 453 | 453 | 447 | 432.68 | 55.73 | 51.11 |
| 40 | 450 | 452 | 453 | 452 | 446 | 439.43 | 53.42 | 51.11 |
| 42 | 451 | 452 | 454 | 453 | 447 | 439.43 | 51.11 | 51.11 |
| 44 | 450 | 453 | 454 | 453 | 447 | 439.43 | 48.80 | 51.11 |
| 46 | 451 | 453 | 454 | 454 | 447 | 439.43 | 55.73 | 51.11 |
| 48 | 452 | 452 | 454 | 454 | 447 | 432.68 | 55.73 | 48.8 |
| 50 | 448 | 453 | 454 | 455 | 447 | 432.68 | 55.73 | 48.8 |
| 52 | 450 | 452 | 453 | 454 | 446 | 425.931 | 55.73 | 48.8 |
| 54 | 452 | 452 | 454 | 453 | 447 | 432.68 | 53.42 | 48.8 |
| 56 | 450 | 451 | 452 | 453 | 447 | 432.68 | 53.42 | 48.8 |
| 58 | 449 | 453 | 453 | 453 | 447 | 432.68 | 53.42 | 48.8 |
| 60 | 451 | 452 | 453 | 453 | 447 | 425.931 | 53.42 | 51.11 |
| 62 | 451 | 454 | 453 | 454 | 447 | 432.68 | 51.11 | 53.42 |
| 64 | 451 | 454 | 454 | 454 | 447 | 432.68 | 51.11 | 51.11 |
| 66 | 451 | 453 | 453 | 453 | 447 | 432.68 | 51.11 | 51.11 |
| 68 | 449 | 453 | 453 | 455 | 447 | 432.68 | 51.11 | 51.11 |
| 70 | 449 | 453 | 454 | 453 | 446 | 425.931 | 51.11 | 51.11 |
| 72 | 450 | 452 | 452 | 454 | 447 | 432.68 | 51.11 | 48.8 |
| 74 | 451 | 452 | 454 | 453 | 447 | 432.68 | 55.73 | 48.8 |
| 76 | 450 | 452 | 454 | 454 | 447 | 432.68 | 55.73 | 48.8 |
| 78 | 452 | 452 | 453 | 454 | 447 | 432.68 | 55.73 | 51.11 |
| 80 | 450 | 453 | 454 | 455 | 447 | 432.68 | 55.73 | 51.11 |

ตารางผนวกที่ 8 อุณหภูมิ และอัตราการไหลดเมื่อทำการป้อนพลาสติกแบบหยุดเป็นจังหวะต่อเนื่อง 50 กรัมในสภาวะฟลูอิไดซ์เบด เมื่อป้อนในโตรเจน 10.85 กิโลกรัม/ชั่วโมง (1.5 เท่าของอัตราเร็วต่อสุดพลาสติก) อุณหภูมิเหนือแผ่นกระจายก้าว 10 50 100 150 ช.m. เป็น 450, 450 150 และ 450°C

| เวลา (min) | ความสูง (cm) | | | | | อัตราการไหลด (l/min) | | |
|---------------|--------------|-----|-----|-----|-----|----------------------|-------|-------|
| | 10 | 25 | 50 | 100 | 150 | 1 | 2 | 3 |
| 0 | 453 | 452 | 450 | 281 | 446 | 412.433 | 44.18 | 41.87 |
| 2 | 453 | 447 | 453 | 281 | 447 | 419.182 | 46.49 | 41.87 |
| 4 | 450 | 449 | 451 | 282 | 447 | 419.182 | 53.42 | 41.87 |
| 6 | 452 | 452 | 451 | 281 | 447 | 419.182 | 55.73 | 44.18 |
| 8 | 450 | 454 | 453 | 281 | 448 | 425.931 | 55.73 | 46.49 |
| 10 | 450 | 452 | 453 | 282 | 448 | 425.931 | 55.73 | 48.8 |
| 12 | 451 | 453 | 454 | 283 | 448 | 419.182 | 55.73 | 51.11 |
| 14 | 451 | 452 | 452 | 282 | 447 | 425.931 | 55.73 | 51.11 |
| 16 | 449 | 452 | 452 | 281 | 447 | 425.931 | 53.42 | 48.8 |
| 18 | 451 | 452 | 452 | 281 | 448 | 419.182 | 53.42 | 48.8 |
| 20 | 452 | 452 | 453 | 282 | 448 | 425.931 | 53.42 | 51.11 |
| 22 | 450 | 452 | 454 | 282 | 447 | 425.931 | 53.42 | 48.8 |
| 24 | 450 | 452 | 454 | 281 | 448 | 425.931 | 53.42 | 51.11 |
| 26 | 449 | 451 | 452 | 282 | 447 | 425.931 | 53.42 | 51.11 |
| 28 | 451 | 452 | 453 | 282 | 448 | 432.68 | 53.42 | 48.8 |
| 30 | 450 | 452 | 454 | 282 | 448 | 425.931 | 53.42 | 51.11 |
| 32 | 450 | 452 | 453 | 281 | 448 | 425.931 | 55.73 | 51.11 |
| 34 | 451 | 453 | 453 | 281 | 448 | 432.68 | 55.73 | 51.11 |
| 36 | 451 | 452 | 453 | 282 | 448 | 425.931 | 55.73 | 51.11 |
| 38 | 450 | 453 | 453 | 282 | 448 | 432.68 | 55.73 | 51.11 |
| 40 | 450 | 451 | 452 | 283 | 448 | 425.931 | 55.73 | 51.11 |
| 42 | 451 | 452 | 454 | 282 | 448 | 425.931 | 55.73 | 51.11 |
| 44 | 450 | 453 | 454 | 282 | 448 | 425.931 | 53.42 | 51.11 |

ตารางผนวกที่ 8 (ต่อ)

| เวลา (min) | ความสูง (cm) | | | | | อัตราการไหล (l/min) | | |
|---------------|--------------|-----|-----|-----|-----|---------------------|-------|-------|
| | 10 | 25 | 50 | 100 | 150 | 1 | 2 | 3 |
| 46 | 449 | 452 | 453 | 282 | 448 | 425.931 | 53.42 | 48.8 |
| 48 | 451 | 452 | 454 | 282 | 448 | 425.931 | 53.42 | 48.8 |
| 50 | 449 | 453 | 453 | 282 | 448 | 425.931 | 53.42 | 51.11 |
| 52 | 450 | 452 | 453 | 283 | 448 | 425.931 | 53.42 | 51.11 |
| 54 | 452 | 452 | 453 | 282 | 448 | 425.931 | 53.42 | 51.11 |
| 56 | 450 | 451 | 452 | 283 | 448 | 425.931 | 53.42 | 51.11 |
| 58 | 450 | 452 | 453 | 282 | 448 | 425.931 | 53.42 | 51.11 |
| 60 | 451 | 452 | 454 | 282 | 448 | 425.931 | 53.42 | 51.11 |
| 62 | 452 | 453 | 453 | 282 | 448 | 425.931 | 55.73 | 51.11 |
| 64 | 451 | 452 | 454 | 282 | 448 | 425.931 | 55.73 | 51.11 |
| 66 | 451 | 452 | 453 | 282 | 448 | 432.68 | 53.42 | 51.11 |
| 68 | 449 | 452 | 452 | 282 | 448 | 432.68 | 55.73 | 51.11 |
| 70 | 450 | 452 | 453 | 282 | 448 | 425.931 | 55.73 | 51.11 |
| 72 | 450 | 452 | 452 | 283 | 448 | 432.68 | 53.42 | 51.11 |
| 74 | 451 | 452 | 454 | 283 | 448 | 432.68 | 53.42 | 51.11 |
| 76 | 450 | 452 | 454 | 282 | 448 | 432.68 | 53.42 | 51.11 |
| 78 | 452 | 452 | 453 | 283 | 448 | 432.68 | 55.73 | 51.11 |
| 80 | 450 | 453 | 454 | 282 | 448 | 432.68 | 55.73 | 51.11 |

4. เครื่องวัดอัตราการไหลแบบออริฟิส

ตารางผนวกที่ 9 Orifice flow meter calibration data before gas flow in condenser 1

| Scale reading | Flow rate (l/min) |
|---------------|-------------------|
| 10 | 74.98 |
| 20 | 142.47 |
| 30 | 209.96 |
| 40 | 277.45 |
| 50 | 344.94 |
| 60 | 412.43 |
| 70 | 479.92 |
| 80 | 547.41 |
| 90 | 614.90 |
| 100 | 682.39 |

ตารางผนวกที่ 10 Orifice flow meter calibration data before and after gas flow in condenser 2 and 3

| Scale reading | Flow rate (l/min) | Scale reading | Flow rate (l/min) |
|---------------|-------------------|---------------|-------------------|
| 10 | 20.7 | 10 | 21.1 |
| 20 | 25.3 | 20 | 25.7 |
| 30 | 30.1 | 30 | 30.3 |
| 40 | 33.8 | 40 | 34.9 |
| 50 | 40.2 | 50 | 39.6 |
| 60 | 43.7 | 60 | 44.2 |
| 70 | 48.5 | 70 | 48.8 |
| 80 | 54.1 | 80 | 53.4 |
| 90 | 58.0 | 90 | 58.0 |

5. សក្សីលើនផលាសតិក

ตารางពនវកទំនួរ 11 Screw feeder calibration data

| Scale reading (Hz) | Flow rate (g/s) |
|--------------------|-----------------|
| 2 | 1.30 |
| 4 | 2.44 |
| 6 | 3.58 |
| 8 | 4.72 |
| 10 | 5.86 |
| 12 | 7.00 |
| 14 | 8.14 |
| 16 | 9.28 |
| 18 | 10.42 |
| 20 | 11.56 |

6. วิธีคำนวณค่าผลิตภัณฑ์ ก๊าซ ของเหลวที่ออกมายกจุดควบแน่นที่ 1 และ 2

กรณีใช้อัตราการไหลในโถรเงน 7.24 กิโลกรัม/ชั่วโมง (1 เท่าอัตราเริ่วต่ำสุดพลาสติก) ทำการป้อนพลาสติก 50 กรัม/รอบ โดยมีการป้อนพลาสติกครบ 40 รอบและทำการควบคุมอุณหภูมิ 450°C ตลอดความสูงปั๊กรถ

6.1 การหาปริมาณพลาสติกป้อน

ในการป้อน 1 รอบทำการป้อนพลาสติก 50 กรัม ใช้เวลา 30 วินาที ดังนั้นอัตราการป้อนพลาสติกเป็น $\frac{50}{0.5} = 100\text{ g/min}$

6.2 การหาปริมาณก๊าซพลาสติกออก

ทำการป้อนพลาสติก 50 กรัม/รอบ โดยมีการป้อนพลาสติกครบ 40 ครั้ง ดังนั้น มีพลาสติกทั้งหมดในการเกิดปฏิกิริยา $50 \times 40 = 2000\text{ g}$

ในแต่ละรอบใช้เวลา 5 นาที ดังนั้นเวลาทั้งหมดที่พลาสติก 2000 g กรัมทำปฏิกิริยา คือ $5 \times 40 = 200\text{ min}$

$$\text{มีก๊าซพลาสติกออกจากการปฏิกิริย} = \frac{2000}{200} = 10\text{ g/min}$$

6.3 การหาปริมาณก๊าซและของเหลวเข้าเครื่องควบแน่นที่ 1 และ 2 โดยการปรับให้ก๊าซพลาสติกเข้าหน่วยควบแน่นที่ 1 และ 2 อัตราส่วน 5.5: 1

เมื่อทำการปรับว่าล้วนให้ก๊าซพลาสติกเข้าหน่วยควบแน่นที่ 1 และ 2 ในอัตราส่วน 5.5: 1 จะมีก๊าซพลาสติกเข้าหน่วยควบแน่นที่ 1 และ 2 8.46 และ 1.54 g/min ตามลำดับ

ในหน่วยควบแน่นที่ 1 และ 2 มีปริมาณของเหลวทั้งหมด 298 และ 105.8 กรัม ตามลำดับ ดังนั้นปริมาณของเหลว $\frac{298}{200} = 1.49\text{ g/min}$ และ $\frac{105.8}{200} = 0.53\text{ g/min}$

ปริมาณก๊าซออกจากร่องน้ำยความแน่นที่ 1 และ 2 $8.46 - 1.49 = 6.97 \text{ g/min}$ และ $1.54 - 0.53 = 1.01 \text{ g/min}$

และเมื่อทำการเปลี่ยนจุดความคุณอุณหภูมิจะได้ปริมาณพลาสติกดังนี้

ตารางผนวกที่ 12 ผลิตภัณฑ์ที่ได้ในสภาวะเบคนิ่ง

| การทดลองที่ | ผลิตภัณฑ์ | จุดความแน่น 1 (กรัม/นาที) | | จุดความแน่น 2 (กรัม/นาที) | |
|-------------|-----------|---------------------------|---------|---------------------------|---------|
| | | ก๊าซ | ของเหลว | ก๊าซ | ของเหลว |
| 1 | | 6.97 | 1.49 | 1.01 | 0.53 |
| 2 | | 6.91 | 1.55 | 0.98 | 0.56 |
| 3 | | 5.90 | 2.56 | 0.93 | 0.60 |
| 4 | | 5.18 | 3.29 | 0.79 | 0.75 |

เปลี่ยนเป็นเปอร์เซ็นต์โดยนำน้ำหนักคำนวณจาก $\frac{\text{น้ำหนักผลิตภัณฑ์}}{\text{น้ำหนักผลิตภัณฑ์ทั้งหมด}} \times 100$
แสดงดังตาราง

ตารางผนวกที่ 13 เปอร์เซ็นต์โดยนำน้ำหนักผลิตภัณฑ์ที่ได้ในสภาวะเบคนิ่ง

| การทดลองที่ | ผลิตภัณฑ์ | จุดความแน่น 1 (% wt) | | จุดความแน่น 2 (% wt) | |
|-------------|-----------|----------------------|---------|----------------------|---------|
| | | ก๊าซ | ของเหลว | ก๊าซ | ของเหลว |
| 1 | | 69.72 | 14.90 | 10.09 | 5.29 |
| 2 | | 69.12 | 15.50 | 9.75 | 5.63 |
| 3 | | 59.04 | 25.58 | 9.34 | 6.05 |
| 4 | | 51.77 | 32.85 | 7.87 | 7.52 |

โดยที่ การทดลองที่ 1 ตั้งอุณหภูมิที่ 450°C ตลอดความสูง
 การทดลองที่ 2 ตั้งอุณหภูมิจุดเหนือแผ่นกระายก๊าซ 10 ซม. เป็น 450°C จุดที่
 เหนือขึ้น ไปตั้งที่ 430°C

การทดลองที่ 3 ตั้งอุณหภูมิจุดเหนือแผ่นกระจายก้าช 10 ซม. เป็น 450°C จุดที่เหนือ 50 ซม. ตั้งที่ 430°C จุดเหนือ 100 ซม. และ 150 ซม. ตั้งไว้ที่ 400°C

การทดลองที่ 4 ตั้งอุณหภูมิจุดเหนือแผ่นกระจายก้าช 10 ซม. เป็น 450°C จุดเหนือ 50 ซม. ตั้งไว้ที่ 430°C จุดเหนือ 100 ซม. ตั้งที่ 150°C จุดเหนือ 150 ซม. ตั้งไว้ที่ 300°C

เมื่อเปลี่ยนอัตราการไอลain โตรเจน เป็น 9.40 กิโลกรัม/ชั่วโมง ป้อนพลาสติก 100 กรัม/นาที มีก้าชพลาสติกออกจากปฏิกรณ์ 16.67 กรัม/นาที โดยมีปริมาณก้าชและของเหลวเข้าเครื่องควบแน่นที่ 1 และ 2 โดยการปรับให้ก้าชพลาสติกเข้าหน่วยควบแน่นที่ 1 และ 2 อัตราส่วน 6:1 มีปริมาณผลิตภัณฑ์ดังตาราง

ตารางผนวกที่ 14 ผลิตภัณฑ์ที่ได้ในช่วงฟลูอิడซ์เบด_ป้อนก้าชในโตรเจน 9.40 กิโลกรัม/ชั่วโมง (1.3 อัตราเร็วต่ำสุดของพลาสติก)

| การทดลองที่ | ผลิตภัณฑ์ | | จุดควบแน่น 1 (g/min) | | จุดควบแน่น 2 (g/min) | |
|-------------|-----------|---------|----------------------|---------|----------------------|---------|
| | ก้าช | ของเหลว | ก้าช | ของเหลว | ก้าช | ของเหลว |
| 1 | 10.35 | 3.93 | 1.58 | 0.81 | | |
| 2 | 7.85 | 6.43 | 1.42 | 0.96 | | |

เปลี่ยนเป็นเปอร์เซ็นต์โดยนำหนัก โดยมีปริมาณก้าชออกจากปฏิกรณ์ 16.67 กรัม/นาที

ตารางผนวกที่ 15 เปอร์เซ็นต์โดยนำหนักผลิตภัณฑ์ที่ได้ในช่วงฟลูอิడซ์เบด_ป้อนก้าชในโตรเจน 9.40 กิโลกรัม/ชั่วโมง (1.3 อัตราเร็วต่ำสุดของพลาสติก)

| การทดลองที่ | ผลิตภัณฑ์ | | จุดควบแน่น 1 (% wt) | | จุดควบแน่น 2 (% wt) | |
|-------------|-----------|---------|---------------------|---------|---------------------|---------|
| | ก้าช | ของเหลว | ก้าช | ของเหลว | ก้าช | ของเหลว |
| 1 | 62.11 | 23.60 | 9.45 | 4.84 | | |
| 2 | 47.11 | 38.60 | 8.50 | 5.79 | | |

โดยที่ การทดลองที่ 1 ตั้งอุณหภูมิที่ 450°C ตลอดความสูง
 การทดลองที่ 2 อุณหภูมิเหนือแผ่นกระจายก้าช 10 50 100 150 ซม. เป็น 450, 450
 150 และ 450°C

เมื่อเปลี่ยนอัตราการไหลดในไตรเจน เป็น 10.85 กิโลกรัม/ชั่วโมง ใช้อัตราการป้อนเม็ดพลาสติก 100 กรัม/นาที มีก้าชพลาสติกออกจากปฏิกรณ์ 25 กรัม/นาที โดยมีปริมาณก้าชและของเหลวเข้าเครื่องความแน่นที่ 1 และ 2 โดยการปรับให้ก้าชพลาสติกเข้าหน่วยความแน่นที่ 1 และ 2 อัตราส่วน 7:1 มีปริมาณผลิตภัณฑ์ดังตาราง

ตารางผนวกที่ 16 ผลิตภัณฑ์ที่ได้ในช่วงฟลูอิเดซ์เบด_ป้อนก้าชในไตรเจน 10.85 กิโลกรัม/ชั่วโมง
 (1.5 อัตราเร็วต่ำสุดของพลาสติก)

| การทดลองที่ | ผลิตภัณฑ์ | จุดความแน่น 1 (1 กรัม/นาที) | | จุดความแน่น 2 (1 กรัม/นาที) | |
|-------------|-----------|-----------------------------|---------|-----------------------------|---------|
| | | ก้าช | ของเหลว | ก้าช | ของเหลว |
| 1 | | 15.71 | 6.16 | 2.03 | 1.10 |
| 2 | | 11.18 | 10.70 | 1.83 | 1.30 |

เปลี่ยนเป็นปรอต์เซ็นต์โดยน้ำหนัก โดยมีปริมาณก้าชออกจากปฏิกรณ์ 25 กรัม/นาที

ตารางผนวกที่ 17 เปอร์เซ็นต์โดยน้ำหนักผลิตภัณฑ์ที่ได้ในช่วงฟลูอิเดซ์เบด ป้อนก้าชในไตรเจน 10.85 กิโลกรัม/ชั่วโมง (1.5 อัตราเร็วต่ำสุดของพลาสติก)

| การทดลองที่ | ผลิตภัณฑ์ | จุดความแน่น 1 (% wt) | | จุดความแน่น 2 (% wt) | |
|-------------|-----------|----------------------|---------|----------------------|---------|
| | | ก้าช | ของเหลว | ก้าช | ของเหลว |
| 1 | | 62.85 | 24.65 | 8.12 | 4.38 |
| 2 | | 44.70 | 42.80 | 7.32 | 5.19 |

7. องค์ประกอบผลิตภัณฑ์ของเหลวที่ออกมาจากหน่วยความแน่นที่ 1 และ 2

ตารางผนวกที่ 18 องค์ประกอบผลิตภัณฑ์ที่ได้ในสภาวะเบคนิ่ง เมื่อตั้งอุณหภูมิที่ 450°C ตลอดความสูง

| ผลิตภัณฑ์ | หน่วยความแน่นที่ 1 | | | | หน่วยความแน่นที่ 2 | | | | | | | |
|---------------------------------|--------------------|-------|-------------|-------|--------------------|-------|-------------|-------|-------------|-------|--|--|
| | น้ำหนัก (g) | % wt | 1 | | 2 | | 3 | | 4 | | | |
| | | | น้ำหนัก (g) | % wt | น้ำหนัก (g) | % wt | น้ำหนัก (g) | % wt | น้ำหนัก (g) | % wt | | |
| $\text{C}_5 - \text{C}_{12}$ | 59.63 | 20.01 | 6.32 | 36.05 | 10.60 | 36.25 | 10.70 | 35.65 | 10.68 | 36.81 | | |
| $\text{C}_{13} - \text{C}_{18}$ | 209.85 | 70.42 | 10.32 | 58.83 | 16.82 | 57.56 | 16.78 | 55.91 | 15.06 | 51.92 | | |
| C_{18} ขึ้นไป | 28.52 | 9.57 | 0.90 | 5.12 | 1.81 | 6.19 | 1.75 | 5.81 | 3.49 | 12.03 | | |

ตารางผนวกที่ 19 องค์ประกอบผลิตภัณฑ์ที่ได้ในสภาวะเบคนิ่ง ตั้งอุณหภูมิจุดเห็นอ่อนแพ่นกระจายก๊าซ $10\text{ cm. เป็น } 450^{\circ}\text{C}$ จุดที่เห็นอื้นไปตั้งที่ 430°C

| ผลิตภัณฑ์ | หน่วยความแน่นที่ 1 | | | | หน่วยความแน่นที่ 2 | | | | | | | |
|---------------------------------|--------------------|-------|-------------|-------|--------------------|-------|-------------|-------|-------------|-------|--|--|
| | น้ำหนัก (g) | % wt | 1 | | 2 | | 3 | | 4 | | | |
| | | | น้ำหนัก (g) | % wt | น้ำหนัก (g) | % wt | น้ำหนัก (g) | % wt | น้ำหนัก (g) | % wt | | |
| $\text{C}_5 - \text{C}_{12}$ | 69.25 | 22.34 | 6.45 | 38.56 | 12.71 | 38.95 | 12.61 | 38.83 | 11.99 | 38.96 | | |
| $\text{C}_{13} - \text{C}_{18}$ | 204.10 | 65.84 | 9.33 | 55.78 | 18.13 | 55.56 | 18.08 | 55.68 | 17.06 | 55.43 | | |
| C_{18} ขึ้นไป | 11.82 | 11.82 | 0.95 | 5.66 | 1.79 | 5.49 | 1.78 | 5.49 | 1.73 | 5.61 | | |

ตารางผนวกที่ 20 องค์ประกอบผลิตภัณฑ์ที่ได้ในสภาวะเบคนิ่ง ตั้งอุณหภูมิจุดเหนื้อแพ่นกระจาย ก้าช 10 ซม. เป็น 450°C จุดเหนื้อ 50 ซม. ตั้งที่ 430°C จุดเหนื้อ 100 ซม. และ 150 ซม. ตั้งไว้ที่ 400°C

| ผลิตภัณฑ์ | หน่วยความแน่นที่ 1 | | | | หน่วยความแน่นที่ 2 | | | | | | | |
|---------------------------------|--------------------|-------|-------------|-------|--------------------|-------|-------------|-------|-------------|-------|-------------|------|
| | น้ำหนัก (g) | % wt | 1 | | 2 | | 3 | | 4 | | | |
| | | | น้ำหนัก (g) | % wt | น้ำหนัก (g) | % wt | น้ำหนัก (g) | % wt | น้ำหนัก (g) | % wt | น้ำหนัก (g) | % wt |
| $\text{C}_5 - \text{C}_{12}$ | 110.54 | 21.61 | 9.40 | 37.57 | 12.38 | 37.94 | 12.30 | 37.88 | 11.64 | 37.82 | | |
| $\text{C}_{13} - \text{C}_{18}$ | 329.00 | 64.32 | 14.03 | 56.08 | 18.32 | 56.14 | 18.25 | 56.21 | 17.24 | 56.01 | | |
| C_{18} ขี้นไป | 71.97 | 14.07 | 1.59 | 6.35 | 1.93 | 5.91 | 1.92 | 5.91 | 1.90 | 6.17 | | |

ตารางผนวกที่ 21 องค์ประกอบผลิตภัณฑ์ที่ได้ในสภาวะเบคนิ่ง ตั้งอุณหภูมิจุดเหนื้อแพ่นกระจาย ก้าช 10 ซม. เป็น 450°C จุดเหนื้อ 50 ซม. ตั้งไว้ที่ 430°C จุดเหนื้อ 100 ซม. ตั้งที่ 150°C จุดเหนื้อ 150 ซม. ตั้งไว้ที่ 300°C

| ผลิตภัณฑ์ | หน่วยความแน่นที่ 1 | | | | หน่วยความแน่นที่ 2 | | | | | | | |
|---------------------------------|--------------------|-------|-------------|-------|--------------------|-------|-------------|-------|-------------|-------|-------------|------|
| | น้ำหนัก (g) | % wt | 1 | | 2 | | 3 | | 4 | | | |
| | | | น้ำหนัก (g) | % wt | น้ำหนัก (g) | % wt | น้ำหนัก (g) | % wt | น้ำหนัก (g) | % wt | น้ำหนัก (g) | % wt |
| $\text{C}_5 - \text{C}_{12}$ | 141.98 | 21.61 | 13.02 | 36.84 | 14.42 | 37.02 | 14.21 | 38.85 | 13.76 | 36.74 | | |
| $\text{C}_{13} - \text{C}_{18}$ | 422.58 | 64.32 | 19.94 | 56.42 | 22.18 | 56.94 | 21.97 | 56.98 | 21.35 | 57.01 | | |
| C_{18} ขี้นไป | 92.44 | 14.07 | 2.38 | 6.73 | 2.35 | 6.03 | 2.38 | 6.17 | 2.34 | 6.25 | | |

ตารางผนวกที่ 22 องค์ประกอบผลิตภัณฑ์ที่ได้ในช่วงฟลูอิไดซ์เบด (9.40 กิโลกรัม/ชั่วโมง) ตั้ง
อุณหภูมิที่ 450°C ตลอดปฏิกรณ์

| ผลิตภัณฑ์ | หน่วยความแน่นที่ 1 | | | | หน่วยความแน่นที่ 2 | | | | หน่วยความแน่นที่ 3 | | | | หน่วยความแน่นที่ 4 | | | |
|-----------------------------------|--------------------|-------|-------------|-------|--------------------|-------|-------------|-------|--------------------|-------|-------------|------|--------------------|------|-------------|------|
| | น้ำหนัก (g) | % wt | 1 | | 2 | | 3 | | 4 | | | | | | | |
| | | | น้ำหนัก (g) | % wt | น้ำหนัก (g) | % wt | น้ำหนัก (g) | % wt | น้ำหนัก (g) | % wt | น้ำหนัก (g) | % wt | น้ำหนัก (g) | % wt | น้ำหนัก (g) | % wt |
| C ₅ – C ₁₂ | 112.67 | 23.87 | 9.60 | 40.08 | 9.87 | 40.15 | 9.70 | 39.88 | 9.95 | 40.20 | | | | | | |
| C ₁₃ – C ₁₈ | 297.83 | 63.10 | 13.22 | 55.20 | 13.53 | 55.04 | 13.41 | 55.14 | 13.63 | 55.07 | | | | | | |
| C ₁₈ ขั้นไป | 61.50 | 13.03 | 1.61 | 6.72 | 1.48 | 6.02 | 1.50 | 6.17 | 1.54 | 6.22 | | | | | | |

ตารางผนวกที่ 23 องค์ประกอบผลิตภัณฑ์ที่ได้ในช่วงฟลูอิไดซ์เบด (9.40 กิโลกรัม/ชั่วโมง)
อุณหภูมิเหนือแผ่นกระจาดก้าว 10 50 100 150 ช.m. เป็น 450, 450 150 และ
 450°C

| ผลิตภัณฑ์ | หน่วยความแน่นที่ 1 | | | | หน่วยความแน่นที่ 2 | | | | หน่วยความแน่นที่ 3 | | | | หน่วยความแน่นที่ 4 | | | |
|-----------------------------------|--------------------|-------|-------------|-------|--------------------|-------|-------------|-------|--------------------|-------|-------------|------|--------------------|------|-------------|------|
| | น้ำหนัก (g) | % wt | 1 | | 2 | | 3 | | 4 | | | | | | | |
| | | | น้ำหนัก (g) | % wt | น้ำหนัก (g) | % wt | น้ำหนัก (g) | % wt | น้ำหนัก (g) | % wt | น้ำหนัก (g) | % wt | น้ำหนัก (g) | % wt | น้ำหนัก (g) | % wt |
| C ₅ – C ₁₂ | 177.71 | 23.02 | 10.61 | 38.72 | 11.32 | 38.63 | 11.32 | 38.50 | 11.38 | 38.45 | | | | | | |
| C ₁₃ – C ₁₈ | 500.64 | 64.85 | 15.41 | 56.24 | 16.71 | 57.03 | 16.68 | 56.73 | 16.83 | 56.86 | | | | | | |
| C ₁₈ ขั้นไป | 93.64 | 12.13 | 1.38 | 5.04 | 1.27 | 4.33 | 1.39 | 4.73 | 1.39 | 4.70 | | | | | | |

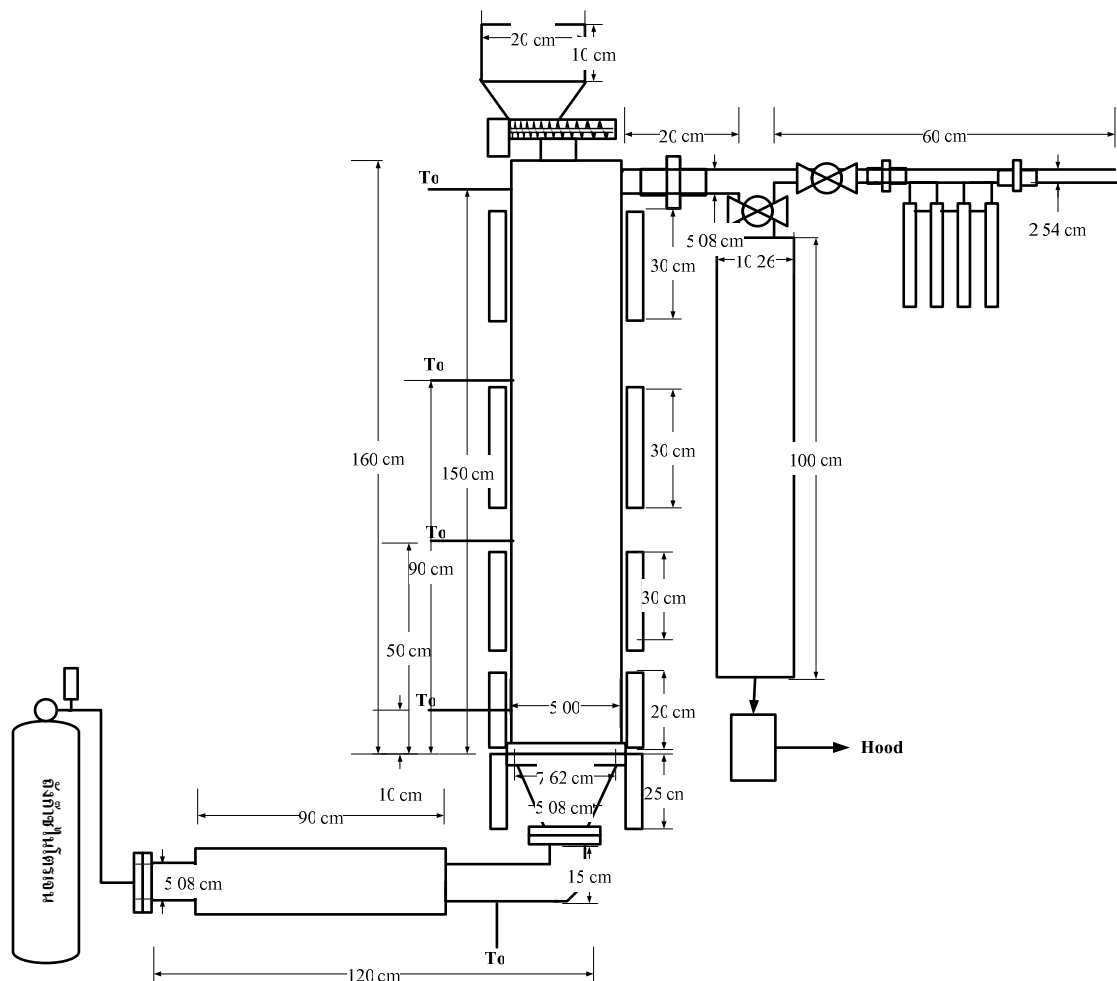
ตารางผนวกที่ 24 องค์ประกอบผลิตภัณฑ์ที่ได้ในช่วงฟลูอิไดซ์เบด (10.85 กิโลกรัม/ชั่วโมง) ตั้ง อุณหภูมิที่ 450°C ตลอดปฏิกรณ์

| ผลิตภัณฑ์ | หน่วยความแน่นที่ 1 | | | | หน่วยความแน่นที่ 2 | | | | หน่วยความแน่นที่ 3 | | | | หน่วยความแน่นที่ 4 | | | | |
|-----------------------------------|--------------------|-------|-------------|-------|--------------------|-------|-------------|-------|--------------------|-------|-------------|------|--------------------|------|-------------|------|--|
| | น้ำหนัก (g) | % wt | 1 | | 2 | | 3 | | 4 | | | | | | | | |
| | | | น้ำหนัก (g) | % wt | น้ำหนัก (g) | % wt | น้ำหนัก (g) | % wt | น้ำหนัก (g) | % wt | น้ำหนัก (g) | % wt | น้ำหนัก (g) | % wt | น้ำหนัก (g) | % wt | |
| C ₅ – C ₁₂ | 110.14 | 22.34 | 8.27 | 41.54 | 9.37 | 41.92 | 9.54 | 41.88 | 9.42 | 41.76 | | | | | | | |
| C ₁₃ – C ₁₈ | 324.59 | 65.84 | 10.74 | 53.94 | 12.08 | 54.05 | 12.32 | 54.08 | 12.18 | 53.99 | | | | | | | |
| C ₁₈ ขั้นไป | 58.27 | 11.82 | 0.89 | 4.47 | 0.90 | 4.03 | 0.91 | 3.99 | 0.96 | 4.26 | | | | | | | |

ตารางผนวกที่ 25 องค์ประกอบผลิตภัณฑ์ที่ได้ในช่วงฟลูอิไดซ์เบด (10.85 กิโลกรัม/ชั่วโมง)
อุณหภูมิเหนือแผ่นกระจาดก้าว 10 50 100 150 ช.m. เป็น $450, 450, 150$ และ 450°C

| ผลิตภัณฑ์ | หน่วยความแน่นที่ 1 | | | | หน่วยความแน่นที่ 2 | | | | หน่วยความแน่นที่ 3 | | | | หน่วยความแน่นที่ 4 | | | | |
|-----------------------------------|--------------------|-------|-------------|-------|--------------------|-------|-------------|-------|--------------------|-------|-------------|------|--------------------|------|-------------|------|--|
| | น้ำหนัก (g) | % wt | 1 | | 2 | | 3 | | 4 | | | | | | | | |
| | | | น้ำหนัก (g) | % wt | น้ำหนัก (g) | % wt | น้ำหนัก (g) | % wt | น้ำหนัก (g) | % wt | น้ำหนัก (g) | % wt | น้ำหนัก (g) | % wt | น้ำหนัก (g) | % wt | |
| C ₅ – C ₁₂ | 178.48 | 20.85 | 9.29 | 38.56 | 10.08 | 37.98 | 10.00 | 38.43 | 10.34 | 38.45 | | | | | | | |
| C ₁₃ – C ₁₈ | 562.73 | 65.74 | 13.70 | 56.87 | 15.14 | 57.05 | 14.83 | 56.99 | 15.26 | 56.75 | | | | | | | |
| C ₁₈ ขั้นไป | 114.79 | 1.41 | 1.10 | 4.57 | 1.32 | 4.97 | 1.20 | 4.61 | 1.29 | 4.80 | | | | | | | |

8. เครื่องมือที่ใช้ในการแตกโนมเลกุลของพอลิพรอพิลีน



ภาพผนวกที่ 1 แผนภาพเครื่องมือที่ใช้แตกโนมเลกุลพอลิพรอพิลีน



ภาพพนวกที่ 2 รูปเครื่องมือที่ใช้แตกโไมเดกุลโพลิพรอพิลีน



ภาพพนวกที่ 3 เม็ดทราราขนาด 150 – 300 ไมครอน



ภาพพนวกที่ 4 เม็ดพลาสติกที่ใช้ในการแตกโไมเลกุลให้กล้ายเป็นน้ำมันปิโตรเลียม



ภาพพนวกที่ 5 ผลิตภัณฑ์น้ำมันที่ได้จากการแตกโไมเลกุลของพอลิพรอพิลีน

ประวัติการศึกษา และการทำงาน

| | |
|----------------------|---|
| ชื่อ – นามสกุล | ภัทรวรรณ กล่อ้มคุ่ม |
| วัน เดือน ปี ที่เกิด | 10 มีนาคม 2525 |
| สถานที่เกิด | จังหวัดสุโขทัย |
| ประวัติการศึกษา | วศ.บ. (วิศวกรรมศาสตรบัณฑิต) ภาควิชาวิศวกรรมเคมี |
| ทุนการศึกษาที่ได้รับ | คณะวิศวกรรมศาสตร์ มหาวิทยาลัยครินทร์วิโรฒ ทุนอุดหนุน โครงการวิจัยของบัณฑิตวิทยาลัย มหาวิทยาลัยเกษตรศาสตร์ |